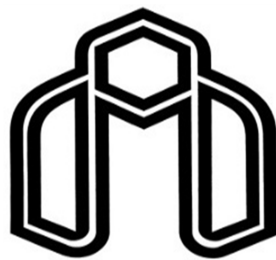


بِنَامِ خدا



دانشگاه صنعتی شهرود

دانشکده فیزیک

گروه حالت جامد

عنوان:

رشد و مشخصه یابی لایه های نازک و نانوساختار های WO_3 و

ترکیبات آلایش یافته‌ی آن

دانشجو:

زهرا اصغری

استاد راهنما:

دکتر حسین عشقی

پایان نامه جهت اخذ درجه کارشناسی ارشد

بهمن ماه ۱۳۹۲

پیوست شماره ۲

دانشگاه صنعتی شهرورد

دانشکده: فیزیک

گروه: فیزیک

پایان نامه کارشناسی ارشد خانم زهرا اصغری

تحت عنوان: رشد و مشخصه یابی لایه های نازک و نانوساختارهای WO₃ و ترکیبات آلایش یافته‌ی آن.

در تاریخ ۱۳۹۴/۱۱/۲۹ توسط کمیته تخصصی زیر جهت اخذ مدرک کارشناسی ارشد مورد ارزیابی و با درجه
مورد پذیرش قرار گرفت.

| امضاء | اساتید مشاور | امضاء | اساتید راهنما |
|-------|--------------|-------|------------------------------------|
| | | | نام و نام خانوادگی: دکتر حسین عشقی |
| | | | |

| امضاء | نماینده تحصیلات تکمیلی | امضاء | اساتید داور |
|-------|--------------------------------------------|-------|---------------------|
| | نام و نام خانوادگی: دکتر محمد ابراهیم قاضی | | |
| | نام و نام خانوادگی: دکتر مهدی اردبیان | | |
| | نام و نام خانوادگی: دکتر سمیه مهرابیان | | |
| | | | نام و نام خانوادگی: |
| | | | نام و نام خانوادگی: |

خدا یار و دی، هستم که نام‌های تو را زمزمه می‌کنم و می‌گذرم، از اینکه جریان پیوسته دارم سپاس گذارم.

خدای من چنانم آفریدی که بیچ سکنی نمی‌تواند راهم را به سوی تو سد کند سپاس گذارم.

خدای من سپاس گذارم.....

راه‌های پر پیچ و خم را پشت سر می‌گذارم، سپاس گذارم که از همه راه‌ها مر امیکندرانی.

خدا یا، خداوند اثیستگی زمزمه نام‌های نورانی ات را ز من دین مدار.

برای دستهای ز حسکش پدرم

و نگاه میربان مادرم

و بعد از مردم، پس از نیمودن راه های فراوان که با حضور شیرین استاد عزیزم جناب آقای دکتر حسین عشقی، بارا همایه و دخترخواه های فراوانشان و شیطنتسای زیبایی آن دوران و تجربه هی هیجان انگیز کار دکنار ایشان در آزمایشگاه تحقیقاتی نانوفزیک دانشگاه صنعتی شاهرود که خلخالی این راه را به امید و روشنی تبدیل کرده، امیدوارم بتوانم قدردان زحمات بی دینشان باشم.

پاسکذر کسی هستم که سپیدی را بر تخته سیاه زندگیم نخواست

و اکون باد ک زیبایی وجود ایشان

کی از الکوهای شخصیتی زندگی ام را یافته ام.

این مجموعه مشتمل بر کنزیده ای از مطالب پیرامون بررسی لایه های نازک و نانوساختار های اکنیده تکنیکی و ترکیبات آلاسیش مانعه ای آن می باشد. هدف اصلی این مجموعه، القای دک معنایم تازه ای پیرامون رشد و مشخصه یابی لایه های نازک و سلسلی نانوساختار های خواندنی می باشد. امیدوارم که استفاده کنندگان از این مجموعه با مطالعه ای این مطالب بیش و بصیرت لازم درباره هی این رشتہ هی هیجان آور، حیرت انگیز و دشوار را به دست آورند.

تعهد نامه

اینجانب زهرا اصغری دانشجوی دوره کارشناسی ارشد رشته فیزیک حالت جامد دانشکده فیزیک دانشگاه صنعتی شاهرود نویسنده پایان نامه "رشد و مشخصه یابی لایه های نازک و نانوساختارهای WO₃ و ترکیبات آلایش یافته‌ی آن" تحت راهنمایی دکتر حسین عشقی متعهد می‌شوم.

- تحقیقات در این پایان نامه توسط اینجانب انجام شده است و از صحت و اصالت برخوردار است.
- در استفاده از نتایج پژوهش‌های محققان دیگر به مرجع مورد استفاده استناد شده است.
- مطلوب مندرج در پایان نامه تاکنون توسط خود یا فرد دیگری برای دریافت هیچ نوع مدرک یا امتیازی در هیچ جا ارائه نشده است.
- کلیه حقوق معنوی این اثر متعلق به دانشگاه صنعتی شاهرود می‌باشد و مقالات مستخرج با نام «دانشگاه صنعتی شاهرود» و یا «Shahrood University of Technology» به چاپ خواهد رسید.
- حقوق معنوی تمام افرادی که در به دست آمدن نتایج اصلی پایان نامه تأثیرگذار بوده اند در مقالات مستخرج از پایان نامه رعایت می‌گردد.
- در کلیه مراحل انجام این پایان نامه، در مواردی که از موجود زنده (یا بافت‌های آنها) استفاده شده است ضوابط و اصول اخلاقی رعایت شده است.
- در کلیه مراحل انجام این پایان نامه، در مواردی که به حوزه اطلاعات شخصی افراد دسترسی یافته یا استفاده شده است اصل رازداری، ضوابط و اصول اخلاق انسانی رعایت شده است.

تاریخ

امضای دانشجو

مالکیت نتایج و حق نشر

- کلیه حقوق معنوی این اثر و محصولات آن (مقالات مستخرج، کتاب، برنامه‌های رایانه‌ای، نرم افزارها و تجهیزات ساخته شده است) متعلق به دانشگاه صنعتی شاهرود می‌باشد. این مطلب باید به نحو مقتضی در تولیدات علمی مربوطه ذکر شود.
- استفاده از اطلاعات و نتایج موجود در پایان نامه بدون ذکر مرجع مجاز نمی‌باشد.

در این تحقیق ما به مطالعه مورفولوژی، خواص ساختاری، اپتیکی، الکتریکی و ترمو-الکتریکی لایه های اکسید تنگستن (WO_3) خالص و آلایش یافته بر روی زیرلایه شیشه که به روش اسپری پایرولیزیز رشد داده شده اند، پرداخته ایم. برای مشخصه یابی نمونه ها از دستگاه های میکروسکوپ الکترونی روبشی گسیل میدانی (FESEM)، پراش پرتو ایکس (XRD)، طیف سنجی UV.Vis.NIR مشخصه جریان - ولتاژ (I-V) و آزمایش اثر سیبک استفاده کرده ایم.

در نمونه های رشد یافته از محلول آمونیوم تنگستات ($(\text{NH}_4)_2\text{WO}_4$)، تهیه شده از پودر اکسید تنگستن خالص (۹۹/۹ درصد) و محلول آمونیاک استفاده شده است. در این تحقیق پارامتر های متغیر عبارتند از: غلظت محلول، آهنگ اسپری و بازپخت نمونه ها در محیط هوا، و سرانجام اثر آلایش نمونه ها با اتم های مس ($\text{WO}_3:\text{Li}$) و لیتیوم (LiCl) و استات مس ($(\text{Cu}(\text{CH}_3\text{COO})_2 \cdot \text{H}_2\text{O}$) است.

کلید واژه ها: اکسید تنگستن، اسپری پایرولیزیز، لایه نازک، نانو ساختارها، مورفولوژی، خواص ساختاری، خواص اپتیکی، خواص الکتریکی، خواص ترمو-الکتریکی.

لیست مقالات مسخرج از پایان نامه

اصغری، زهرا؛ عشقی، حسین، (۱۳۹۲)، « تاثیر مولاریته محلول بر خواص ساختاری و اپتیکی لایه های نازک WO_3 خالص تهیه شده به روش اسپری پایرولیزیز»، کنفرانس سالانه فیزیک ایران، دانشگاه بیرجند، صفحات ۵۶۶-۵۶۹.

2. Zahra Asghari, Hosein Eshghi, (2013) “The influence of deposition rate variations on physical properties of WO_3 thin films using spray pyrolysis method”, 16th Iranian Physical Chemistry Conference, University Of Mazandaran-Babolsar, pages 493-495.
3. Zahra Asghari, Hosein Eshghi, (2014) “The effect of Li doping on the structural, electrical and optical properties of Nanostructures WO_3 thin films prepared by spray pyrolysis technique”, 5th International Conference Of Nanostructures (ICNS₅). Kish Island , (Accepted).

فهرست مطالب

صفحه

عنوان

فصل اول: مروری بر محالات، مقدمه ای بر ویژگی های فزیریکی اکسید تنگستن و لایه نازک این ماده

| | |
|----|------------------------------------------------------------------------------------------------|
| ۱ | ۱-۱ مقدمه |
| ۲ | ۱-۲ اکسید تنگستن |
| ۳ | ۱-۲-۱ ساختار بلوری اکسید تنگستن |
| ۶ | ۱-۲-۲-۱ لایه نازک اکسید تنگستن (WO_3) |
| ۷ | ۱-۲-۲ خواص الکتریکی لایه های نازک اکسید تنگستن |
| ۱۰ | ۱-۲-۳ کاربردهای لایه نازک اکسید تنگستن |
| ۱۱ | ۱-۳ مروری بر مقالات در زمینه خصوصیات فیزیکی لایه نازک WO_3 تهیه شده به روش اسپری پایرولیزیز. |
| ۱۱ | ۱-۳-۱ بررسی اثر غلظت محلول (مولاریته) |
| ۱۵ | ۱-۳-۲ بررسی اثر آهنگ اسپری |
| ۱۷ | ۱-۳-۳ بررسی اثر بازپخت بر ترکیبات WO_3 . |
| ۲۰ | ۱-۳-۴ بررسی اثر ناخالصی Li بر ترکیبات WO_3 |
| ۲۴ | ۱-۳-۵ بررسی اثر نانوذرات (CuO) بر خواص فیزیکی لایه های نازک WO_3 |

۲ فصل دوم مروری بر برخی روش های مشخصه یابی لایه های نازک اکسید تنگستن

| | |
|----|-------------------------------------------------------------|
| ۲۸ | ۱-۱ مقدمه |
| ۲۸ | ۲-۲ میکروسکوپ الکترونی روشی گسیل میدانی (FESEM) |
| ۳۰ | ۳-۲ پراش پرتو ایکس (XRD) |
| ۳۳ | ۴-۲ طیف نگاری عبوری (مشخصه یابی اپتیکی) |
| ۳۳ | ۴-۴-۲ طیف نگاری فرابنفش - مرئی - فروسرخ نزدیک (UV- Vis-NIR) |
| ۳۳ | ۴-۴-۲ تعیین ضریب جذب |
| ۳۴ | ۴-۴-۲ گاف نواری |
| ۳۷ | ۵-۲ ضخامت سنجی نمونه ها |
| ۳۸ | ۶-۲ مشخصه یابی الکتریکی |
| ۳۸ | ۶-۲ مقاومت الکتریکی |
| ۳۹ | ۶-۲ اثر سیبک |

۳ فصل سوم: جزیات مراحل آزمایشگاهی رشد و تهیه لایه های نازک و نانو ساختارهای اکسید تنگستن به روش اسپری

پارولنژ

| | |
|----|---------------------------------------------------|
| ۴۲ | ۱-۳ مقدمه |
| ۴۲ | ۲-۳ روش های سنتر و رشد لایه های نازک اکسید تنگستن |
| ۴۲ | ۲-۲-۳ روش های فیزیکی |
| ۴۴ | ۲-۲-۳ روش های شیمیایی |
| ۴۴ | ۳-۳ دستگاه اسپری پایرولیزیز |

| | |
|----|----------------------------------------------------|
| ۴۶ | ۱-۳-۳ آماده سازی زیرلایه..... |
| ۴۶ | ۲-۳-۳ تهیه محلول مورد نیاز برای تهیه نمونه ها..... |
| ۴۸ | ۳-۳-۳ پارامترهای لایه نشانی..... |

فصل چهارم: نتائج و بحث وابسته به سنتز سیماتیک لایه های نازک و نانوساختارهای اکسید تنگستن

| | |
|----|-------------------------------------------------------------------------------------|
| ۵۰ | ۱-۴ مقدمه |
| ۵۰ | ۲-۴ بررسی اثر غلظت (مولاریته) محلول بر خواص فیزیکی لایه های نازک اکسید تنگستن..... |
| ۵۸ | ۳-۴ بررسی اثر آهنگ لایه نشانی محلول بر خواص فیزیکی لایه های نازک اکسید تنگستن..... |
| ۵۹ | ۱-۳-۴ بررسی نمونه های تازه رشد یافته..... |
| ۶۶ | ۲-۳-۴ تاثیر بازپخت بر خواص فیزیکی نمونه ها..... |
| ۷۳ | ۴-۴ مطالعه ی اثر آلایش Li بر خواص فیزیکی لایه های نازک و نانوساختارهای WO_3 |
| ۸۴ | ۵-۴ مطالعه ی اثر آلایش Cu بر خواص فیزیکی لایه های نازک و نانوساختارهای WO_3 |
| ۹۴ | نتیجه گیری..... |
| ۹۷ | مراجع..... |

فهرست محتوا

صفحه

عنوان

- شکل ۱-۱ : به اشتراک گذاشتن گوشه های هشت وجهی در بلور اکسید تنگستن [۸].
۴
- شکل ۲-۱ : چگالی حالت های الکترونی بر حسب انرژی در یک نیمرسانای نوع p (راست)، نیمرسانای نوع n (چپ) [۲۷]
۹
- شکل ۳-۱ : طیف XRD نمونه ها پس از بازپخت در دمای $^{\circ}\text{C}$ ۳۵۰ [۹].
۱۲
- شکل ۴-۱ : تصاویر AFM نمونه های تهیه شده با غلظت های متفاوت (f) W_7 ، (e) W_6 ، (d) W_5 .
۱۳
- شکل ۵-۱ : طیف عبور نمونه های $\text{W}_5, \text{W}_6, \text{W}_7$ [۹]
۱۴
- شکل ۶-۱ : طیف XRD نمونه های تهیه شده در دمای $^{\circ}\text{C}$ ۳۰۰ با آهنگ اسپری (۱)، (۲)
۱۵ و (۳) ml/min . این نمونه ها در دمای $^{\circ}\text{C}$ ۵۰۰ بازپخت شده اند [۲۵].
۱۶
- شکل ۷-۱ : طیف عبور و بازتاب برای نمونه های تهیه شده با آهنگ اسپری متفاوت [۲۵].
۱۷
- شکل ۸-۱ : توپوگرافی سه بعدی نمونه ها قبل از بازپخت (S_0)، بازپخت شده در دمای $^{\circ}\text{C}$ ۴۵۰ (S₁) و
۱۸ (S₂) $^{\circ}\text{C}$ ۵۰۰.
۱۹
- شکل ۹-۱ : طیف XRD در لایه های نازک WO_3 در دمای زیر لایه $^{\circ}\text{C}$ ۴۰۰ (a) (بدون بازپخت)،
۲۰ بازپخت شده در $^{\circ}\text{C}$ ۴۵۰ (b) و $^{\circ}\text{C}$ ۵۰۰ (c) [۱۱].
۲۱
- شکل ۱۰-۱: تغییرات $(\alpha h\nu)^2$ بر حسب $h\nu$ قبل از بازپخت (a)، و بازپخت شده در دماهای $^{\circ}\text{C}$ ۴۵۰ (b)
۲۲ و $^{\circ}\text{C}$ ۵۰۰ (c) [۱۱].
۲۳
- شکل ۱۱-۱: طیف XRD لایه های WO_3 خالص و آلایش یافته با Li (۱- ۵ wt%) [۱۰].
۲۴
- شکل ۱۲-۱ : اندازه بلورک ها ای لایه های WO_3 خالص و آلایش یافته با Li (۱- ۵ wt%) [۱۰].
۲۵

شکل ۱۳-۱ : تصاویر SEM فیلم های WO_3 خالص (A) و آلایش یافته با Li (1 wt%) (B) [۱۰].

شکل ۱۴-۱ : تصاویر سه بعدی AFM فیلم های WO_3 خالص (A) و آلایش یافته با Li (1 wt%) [۱۰]

شکل ۱۵-۱ : طیف عبور لایه های WO_3 خالص و آلایش یافته با Li (5-۱ wt%). نمودار ضمیمه

میزان عبور نمونه ها را در طول موج ۵۵۰ nm نشان می دهد [۱۰].

شکل ۱۶-۱ : منحنی گاف نواری غیر مستقیم و مستقیم فیلم های نازک WO_3 خالص و آلایش یافته

با Li [۱۰].

شکل ۱۷-۱ : تصاویر SEM و TEM لایه های WO_3 خالص (تصاویر a و b) و آلایش یافته با CuO

(تصاویر c و d با مقیاس های متفاوت) [۲۱].

شکل ۱۸-۱ : طیف XRD نمونه های تحت بررسی [۲۱].

شکل ۱۹-۱ : طیف جذبی نمونه ی خالص WO_3 و آلایش یافته با ۰/۳۳ درصد وزنی اکسید مس

[۲۱].

شکل ۲-۱: (a) نمایی از میکروسکوپ الکترونی روبشی اثر میدانی (FESEM ; Hitachi S-4160) بکار

گرفته شده در دانشگاه تهران. (b) تصویر شماتیک از اجزای داخلی مسیر عبور باریکه تا سطح

نمونه [۴۲].

شکل ۲-۲: پراکندگی پرتو X از صفحات بلوری با فاصله ی d [۳۳].

شکل ۲-۳: (a) تصویری از دستگاه پراش پرتو X مدل Bruker – AXS در دانشگاه دامغان. (b) محل

قرار گرفتن نمونه.

شکل ۴-۲ : دستگاه اسپکتروفوتومتر مدل Shimadzo (UV-Vis , 1800) دانشگاه شاهروд (a). جایگاه

های قرار گیری نمونه های مرجع و شاهد برای تعیین ضریب عبوری (b).

شکل ۵-۲ : مقایسه ترازهای انرژی بین دو لبه نواری مواد در مقیاس های کپه ای و نانو ناشی از اثر

محدودیت کوانتمویی [۵۶].

| | |
|-----------------------------------------------------------------------------------------------------------------------------------------------------------------------------------------------------------------|----|
| شکل ۶-۲ : نمایش طرح دنباله نواری در جامدات آمورف [۵۸]. | ۳۷ |
| شکل ۷-۲ : دستگاه اندازه گیری ضخامت نمونه ها در دانشگاه شاهروд. | ۳۷ |
| شکل ۸-۲ : اتصال فلز - نیمرسانا برای اندازه گیری رسانندگی نمونه ها. | ۳۸ |
| شکل ۹-۲: تصویر دستگاه الکتروانباشت (مدل + BHP 2063) شرکت به پژوه) به کار گرفته شده در آزمایشگاه دانشگاه شاهرود | ۳۹ |
| شکل ۱۰-۲: مکانیسم رخ داده در اثر سیبک در نیمرساناهای نوع n و p [۴۶] | ۴۰ |
| شکل ۱۱-۲: طرح شماتیکی از اثر سیبک [۴۶] | ۴۰ |
| شکل ۱-۳: روش های رشد شیمیایی و فیزیکی [۲۹] | ۴۳ |
| شکل ۲-۳ : (الف) دستگاه اسپری پایرولیزیز (Spray Coating System.S.C.S.86) در دانشگاه شاهرود، (ب) طرح شماتیک از دستگاه اسپری پایرولیزیز. | ۴۵ |
| شکل ۳-۳ : (الف) مرحله‌ی حل شدن پودر WO_3 در حلال آمونیاک در حال جوش بر روی هیتر، (ب) محلول تنگستات آمونیوم بدست آمد. | ۴۷ |
| شکل ۱-۴: تصاویر FESEM نمونه های تهیه شده در غلظت های (۰/۱ M ، ۰/۰۷ ، ۰/۰۵ ، ۰/۰۱) | ۵۱ |
| شکل ۲-۴: طیف XRD نمونه های تهیه شده در غلظت های (۰/۱ M ، ۰/۰۷ ، ۰/۰۵ ، ۰/۰۱) | ۵۲ |
| شکل ۳-۴: طیف عبوری (الف) و طیف بازتاب(ب) نمونه های تهیه شده در غلظت های (۰/۰۵ ، ۰/۰۱) | ۵۴ |
| شکل ۴-۴: ضریب جذب اپتیکی بر حسب طول موج برای نمونه های تهیه شده در غلظت های (۰/۱ M ، ۰/۰۷ ، ۰/۰۵ ، ۰/۰۱) | ۵۴ |
| شکل ۵-۴ : (الف) تغییرات $(\text{hv}\alpha)^{1/2}$) بر حسب hv در نمونه های WO_3 تهیه شده در غلظت های (۰/۱ M ، ۰/۰۷ ، ۰/۰۵ ، ۰/۰۱). (ب) تغییرات گاف نواری نمونه ها بر حسب غلظت محلول اسپری.... | ۵۵ |
| شکل ۶-۴ : (الف) منحنی I-V در نمونه های تهیه شده در غلظت های (۰/۱ M ، ۰/۰۷ ، ۰/۰۵ ، ۰/۰۱) | ۵۷ |

- شکل ۷-۴ : تغییرات ولتاژ بر حسب گرادیان دما..... ۵۸
- شکل ۸-۴: تصاویر FESEM نمونه های تهیه شده در آهنگ های لایه نشانی متفاوت ۱, ۳ و ml/min ۷. ۵۹
- شکل ۹-۴ : طیف XRD نمونه های تهیه شده در آهنگ های لایه نشانی متفاوت ۱, ۳ و ml/min ۷. ۶۰
- شکل ۱۰-۴ : طیف عبوری (الف) و طیف بازتاب(ب) نمونه های تهیه شده در آهنگ های لایه نشانی متفاوت متفاوت ۱, ۳ و ml/min ۷ ۶۲
- شکل ۱۱-۴ : منحنی ضریب جذب اپتیکی بر حسب طول موج برای نمونه های تهیه شده در آهنگ های لایه نشانی متفاوت ۱, ۳ و ml/min ۷ ۶۳
- شکل ۱۲-۴ : (الف) تغییرات $(hv\alpha)^{1/2}$ بر حسب hv در نمونه های WO_3 تهیه شده در آهنگ های لایه نشانی متفاوت ۱, ۳ و ml/min ۷. (ب) تغییرات گاف نواری غیر مستقیم WO_3 بر حسب آهنگ لایه نشانی محلول. ۶۴
- شکل ۱۳-۴: منحنی I-V نمونه های تهیه شده در آهنگ های متفاوت ۱, ۳ و ml/min ۷. ۶۵
- شکل ۱۴-۴: مقاومت ویژه ای نمونه های لایه نشانی شده در آهنگ های متفاوت ۱, ۳ و ml/min ۷. ۶۵
- شکل ۱۵-۴ : تغییرات ولتاژ بر حسب تغییر دما. ۶۶
- شکل ۱۶-۴: طیف XRD نمونه های بازپخت شده در دمای ۵۰۰ درجه به مدت ۲ ساعت. ۶۷
- شکل ۱۷-۴: (الف) طیف عبور و (ب) طیف بازتاب نمونه های بازپخت شده در دمای ۵۰۰ °C به مدت ۲ ساعت. ۶۹
- شکل ۱۸-۴: طیف جذبی نمونه های بازپخت شده در دمای ۵۰۰ °C به مدت ۲ ساعت. ۷۰
- شکل ۱۹-۴: (الف) تغییرات $(hv\alpha)^{1/2}$ بر حسب hv , (ب) تغییرات گاف نواری با افزایش آهنگ لایه نشانی بازپخت شده در دمای ۵۰۰ °C به مدت ۲ ساعت ۷۱

| | |
|------------------------------------------------------------------------------------------------------------------------------------------------------------------------------------------------|-----------|
| شکل ۲۰-۴: منحنی جریان - ولتاژ نمونه های بازپخت شده در دمای 500°C به مدت ۲ ساعت..... | ۷۲ |
| شکل ۲۱-۴: مقاومت ویژه بر حسب نمونه های لایه نشانی شده در آهنگ های متفاوت ۱، ۳ و ۷ | ۷۲ |
| و بازپخت شده در دمای 500°C به مدت ۲ ساعت..... | ۷۲ ml/min |
| شکل ۲۲-۴: تغییرات ولتاژ ترموالکتریکی بر حسب تفاوت دما..... | ۷۳ |
| شکل ۲۳-۴ : تصاویر FESEM نمونه های WO_3 خالص و آلایش یافته با Li به نسبتهاي وزني صفر، ۱، ۵ و ۱۰ درصد..... | ۷۴ |
| شکل ۲۴-۴: تصاویر FESEM نمونه های WO_3 خالص و آلایش یافته با Li به نسبتهاي وزني صفر، ۵ و ۱۰ درصد در مقیاس های کوچکتر..... | ۷۵ |
| شکل ۲۵-۴: طیف XRD نمونه های خالص و آلایش یافته با Li در صدھای وزني مختلف ۱، ۵، ۱۰ و ۱۵ . | ۷۶ |
| | |
| شکل ۲۶-۴: تغییرات ابعاد بلورک ها با افزایش میزان آلایش لیتیم..... | ۷۶ |
| شکل ۲۷-۴ : (الف) طیف عبور و (ب) طیف بازتاب نمونه های WO_3 خالص و آلایش یافته با Li ، تصاویر ضمیمه تغییرات میزان عبور و بازتاب را در طول موج 550 nm نشان می دهد..... | ۷۸ |
| | |
| شکل ۲۸-۴ : منحنی ضریب جذب اپتیکی بر حسب طول موج برای نمونه های خالص و آلایش یافته با لیتیم..... | ۷۹ |
| | |
| شکل ۲۹-۴ : تغییرات $(\text{hv}\alpha)^{1/2}$ بر حسب hv برای نمونه های WO_3 خالص و آلایش یافته با Li به نسبتهاي وزني صفر، ۱، ۵ و ۱۰ درصد..... | ۸۰ |
| | |
| شکل ۳۰-۴ : تغییرات گاف نواری غیر مستقیم نمونه های WO_3 خالص و آلایش یافته با Li به نسبتهاي وزني صفر، ۱، ۵ و ۱۰ درصد..... | ۸۱ |
| | |
| شکل ۳۱-۴ : منحنی I-V نمونه های WO_3 خالص و آلایش یافته با Li به نسبتهاي وزني صفر، ۱، ۵ و ۱۰ درصد..... | ۸۱ |
| | |
| شکل ۳۲-۴ : مقاومت ویژه بر حسب میزان آلایش نمونه ها..... | ۸۳ |

| | |
|----------|-------------------------------------------------------------------------------------------------------------------------------------------------------------------------------------------------------------|
| ۸۳ | شکل ۳۳-۴ : وابستگی ولتاژ ترموالکتریک به تغییر دما. |
| ۸۵ | شکل ۳۴-۴ : تصاویر FESEM مربوط به نمونه های آلایش یافته با مس با درصد های وزنی صفر، ۰/۲ و ۰/۴، ۰/۶ و ۰/۸ |
| ۸۶ | شکل ۳۵-۴ : طیف XRD نمونه های آلایش یافته با مس با درصد های وزنی صفر، ۰/۲ و ۰/۴، ۰/۶ و ۰/۸ |
| ۸۷ | شکل ۳۶-۴ : (الف) طیف عبور و (ب) طیف بازتاب نمونه های WO_3 خالص و آلایش یافته با مس با درصد های وزنی صفر، ۰/۲ و ۰/۴، ۰/۶ و ۰/۸، تصاویر ضمیمه تغییرات میزان عبور و بازتاب را در طول موج ۵۵۰ nm نشان می دهد. |
| ۸۸ | شکل ۳۷-۴ : طیف جذبی نمونه های آلایش یافته با مس با درصد های وزنی صفر، ۰/۲ و ۰/۴، ۰/۶ و ۰/۸ |
| ۸۹ | شکل ۳۸-۴ : تغییرات گاف نواری غیر مستقیم نمونه های آلایش یافته با مس با درصد های وزنی صفر، ۰/۲ و ۰/۴، ۰/۶ و ۰/۸ |
| ۹۰ | شکل ۳۹-۴ : تغییرات بزرگی گاف نواری غیر مستقیم نمونه ها به ازای غلظت های متفاوت ناخالصی. |
| ۹۱ | شکل ۴۰-۴ : منحنی I-V نمونه های آلایش یافته با مس با درصد های وزنی صفر، ۰/۲ و ۰/۴، ۰/۶ و ۰/۸. |
| ۹۲ | شکل ۴۱-۴ : مقاومت ویژه بر حسب میزان آلایش نمونه ها |
| ۹۲ | شکل ۴۲-۴ : تغییرات ولتاژ بر حسب اختلاف دما. |

فهرست جدول‌ها

صفحه

عنوان

| | | |
|---------------------------------------------------------------------------------------------------------|----|------------------------------------------------------------|
| جدول ۱-۱: نمونه‌های WO_3 با غلظت‌های متغیر، اندازه بلورک‌ها با توجه به جهتگیری ترجیحی | ۱۲ | [۹].....[۲۰۲)، زبری و ضخامت لایه‌ها |
| جدول ۲-۱: گاف نواری نمونه‌های تهیه شده در غلظت‌های متفاوت [۹] | ۱۵ | [۹].....[۲۰۲) |
| جدول ۳-۱: زبری سطح نمونه‌ی WO_3 لایه نشانی شده در دمای $400^{\circ}C$ و بازپخت شده در | ۱۸ | [۱۱].....[۵۰۰ $^{\circ}C$ و $450^{\circ}C$ دماهای |
| جدول ۴-۱: تاثیر بازپخت بر گاف نواری نمونه‌های WO_3 [۱۱] | ۱۹ | [۱۱].....[۱۱] |
| جدول ۵-۱: ضخامت و اندازه گاف نواری مستقیم و غیر مستقیم [۱۰] | ۲۴ | [۱۰].....[۱۰] |
| جدول ۶-۱: نتایج وابسته به تحلیل داده‌های XRD نمونه‌های (M_3 و M_4) با در نظر گرفتن | ۵۳ | جهتگیری ترجیحی (۲۰۰) در نمونه M_3 و (۲۰۰) در نمونه M_4 |
| جدول ۷-۱: نتایج وابسته به تحلیل داده‌های XRD نمونه R_1 با در نظر گرفتن جهتگیری ترجیحی | ۶۱ | (۳۱۰) |
| جدول ۸-۱: جزئیات تحلیل طیف XRD نمونه‌ها وابسته به جهتگیری (۱۰۰) پس از بازپخت. | ۶۸ |[۱۰۰) |
| جدول ۹-۱: نتایج تحلیل داده‌های XRD نمونه‌های آلایش یافته برای جهتگیری ترجیحی (۲۰۰). | ۷۷ |[۲۰۰) |
| جدول ۱۰-۱: مقاومت سطحی (R_{sh}) و مقاومت ویژه (ρ) نمونه‌های WO_3 خالص و آلایش یافته با Li. | ۸۲ |[۸۲] |
| جدول ۱۱-۱: مقاومت سطحی (R_{sh}) و مقاومت ویژه (ρ) نمونه‌های WO_3 خالص و آلایش یافته با Cu | ۹۱ |[۹۱] |

اصل اول

مروری بر معالات، مقدمه ای بر ویرگی های فنریکی اکسید

تکستن ولایه نازک این ماده

۱-۱ مقدمه

یکی از شاخه های مهم فیزیک، فناوری لایه های نازک است. فناوری لایه های نازک قدمتی چند هزار ساله دارد. در سال های اخیر، علم لایه های نازک در میان سایر علوم رشد قابل ملاحظه ای داشته و حجم وسیعی از تحقیقات را به خود اختصاص داده است. بی شک رشد چشمگیر ارتباطات، پردازش اطلاعات، ذخیره سازی، صفحه های نمایش، صنایع تزئینی، ابزارآلات نوری، مواد سخت و عایق ها نتیجه تولید لایه های نازک براساس فناوری های نوین می باشد. لایه های نازک با ضخامت زیر میکرونی از دو ویژگی اصلی برخوردارند: ۱- نازک بودن لایه ۲- بزرگی فوق العاده سطح نسبت به حجم. همین عوامل باعث شده این ساختارها کاربردهای فراوانی در فناوری های نوین داشته باشند. در این فصل ابتدا مروری کوتاه بر تاریخچه اکسید تنگستن (WO_3) و خصوصیات ساختاری و اپتیکی لایه های نازک این ماده، ترکیبات آلایش یافته‌ی آن و کاربردهای آن خواهیم داشت و سپس به توصیف برخی تحقیقات انجام شده توسط محققین در این مورد به روش اسپری پایرولیزیز می پردازیم.

۲-۱ اکسید تنگستن

اکسید تنگستن (WO_3) یک ترکیب شیمیایی شامل اکسیژن و تنگستن می باشد. تنگستن یک تاریخچه‌ی غنی دارد که به قرن ۱۸ میلادی باز میگردد. در سال ۱۷۸۱ تنگستن با عدد اتمی ۷۴ به نام ولفرم^۱ شناسایی شد و نماد W برای آن انتخاب گردید. سنگ هایمعدنی تنگستن شامل شیلیت^۲ (کلسیم تنگستن CaWO_4) و ولفرامیت (تنگستن آهن - منگنز $\text{FeWO}_4/\text{MnWO}_4$) می باشد که توسط پیتر ولف^۳ برای اولین بار در طبیعت شناخته شد و شیمیدان سوئدی کارل ویلهلم شیل^۴ با مطالعه روی سنگ معدن شیلیت به کشف آن کمک کرد. تنگستن بالاترین نقطه‌ی ذوب و پایین ترین فشار بخار را نسبت به دیگر فلزات داراست و در درجه حرارت بالای 1650°C در هوا

¹ Wolfram

² Scheelite

³ Peter Woulfe

⁴ Wilhelm Scheele

اکسید می شود. از نام های تری اکسید تنگستن می توان به تنگستن آبی^۱، اکسید تنگستن^۲، تری اکسید ولfram^۳، اکسید تنگستن (IV)^۴، اکسید تنگستن (6)^۵ اشاره کرد. اکسید تنگستن در آب غیر قابل حل بوده و در آمونیاک داغ و اسید ها حل می شود [۱، ۲].

ولین شیوه برای تولید تری اکسید تنگستن و تنگستات سدیم در سال ۱۸۴۱ توسط رابت اکسلند ارایه شد، که به او لقب بنیانگذار سیستماتیک شیمی تنگستن ارایه شد [۳]. خواص فیزیکی و اپتو الکتریکی خانواده اکسید تنگستن در چند سال اخیر با رشد سریع مورد توجه قرار گرفته است. مطالعات اولیه در مورد خواص ساختاری، اپتیکی و الکتروکرومیکی این ترکیبات در دهه هفتاد انجام شد. اکسید تنگستن به دلیل دارا بودن خواص فوتوكرومیکی، الکتروکرومیکی و ترموکرومیکی به طور گسترده در دهه اخیر مورد مطالعه قرار است.

۱-۲-۱ ساختار بلوری اکسید تنگستن

تنگستن به دلیل داشتن اعداد اکسایش مختلف (۲,۳,۴,۵,۶) تعداد زیادی از ترکیبات آن شناخته شده است. در میان سیستم های مختلف موجود بین تنگستن و سایر مواد، سیستم تنگستن-اکسیژن از اهمیت بیشتری برخوردار است. این سیستم تقریباً پیچیده بوده و علاوه بر اکسید های دوتایی با تناسب عنصری (WO_2 , $\text{WO}_{2.72}$, $\text{WO}_{2.9}$, WO_3) محدوده‌ی وسیعی از ترکیبات غیرتناسب عنصری نیز وجود دارد. اکسید تنگستن از جمله اکسید های فلزات واسطه است و نیمرسانایی با گاف نواری پهن و غیر مستقیم محسوب می شود [۳,۴,۵,۶]. پهنهای نواری این ماده می تواند تحت شرایط مختلف رشد، در بازه‌ی $2/4$ تا $3/6 \text{ eV}$ تغییر کند [۷,۸]. بلور اکسید تنگستن (WO_3) آرایش اتمی مکعبی شبه پروسکیت^۶ (ABO_3) دارد، که بر اساس به اشتراک گذاشتن گوشه هشت وجهی های

¹ Tungsten Blue

² Tungsten Oxide

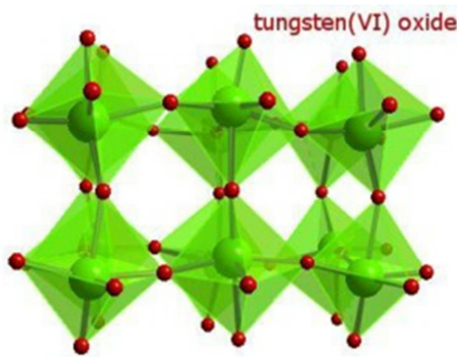
³ Wolfrom Trioxide

⁴ Tungsten (VI) Oxide

⁵ Tungsten (6) Oxide

⁶ Perovskite

منظمه (WO_6) با اتم های اکسیژن در گوشه ها و اتم های تنگستن در مرکز هشت وجهی شکل می گیرد. این حالت در شکل ۱-۱ دیده می شود. دایره های کوچک اتم تنگستن و دایره های بزرگ اکسیژن می باشند.



شکل ۱-۱ : به اشتراک گذاشتن گوشه های هشت وجهی در بلور اکسید تنگستن [۸].

میزان انحراف از ساختار مکعبی ایده ال شبه پرواکسایت به دما وابسته است. انواع مختلف ساختارهای شکل یافته با کاهش دما از نقطه‌ی ذوب به ترتیب عبارتند از: چهار گوشی (تتراگونال)^۱، راست گوش (اورترومبیک)^۲، تک میلی (مونوکلینیک)^۳، سه میلی (تریکلینیک)^۴. عملا در نمونه های تری اکسید تنگستن ذاتا کمبود اتم های اکسیژن وجود داشته و در نتیجه شرایط عدم تناسب عنصری وجود دارد به همین دلیل مناسب است که با فرمول $WO_{3-x}(X>0)$ نشان داده شود [۷].

با کاهش نسبت اکسیژن به تنگستن، تبدیل به اکسید های پایین تر شده و هشت وجهی بسیار پیچیده می شود و ترکیبی از گوشه، لبه و وجود را به اشتراک می گذارد. با از دست دادن هر اتم اکسیژن از شبکه اکسید دو الکترون به نوار رسانش اضافه شده که در نتیجه ترکیبات حاصل از احیا، نیمرسانا یا رسانا می شوند. در کنار هشت وجهی تنگستن - اکسید چهار وجهی WO_4 نیز می تواند

¹ Tetragonal

² Orthorhombic

³ Monoclinic

⁴ Triclinic

در ترکیبات کاملا اکسید شده تشکیل شود. امروزه چندین هزار اکسید سه تایی و چهار تایی شناخته شده است که در این بخش به تعدادی از آنها اشاره شده است.

اکسید های تنگستن به دو دسته اصلی تقسیم می شوند: (الف) تری اکسید تنگستن (ب) دی اکسید تنگستن.

تری اکسید تنگستن (WO_3)

اکسید تنگستن (WO_3) از جمله اکسید های فلزات واسطه است و در مجموعه نیمرساناهای با گاف نواری پهن و غیر مستقیم قرار دارد [۶].

این اکسید از کلسینه شدن اسید تنگستیک در حضور هوا با اکسیژن به دست می آید:



در اکسیداسیون پودر تنگستن، فشار جزیی اکسیژن می باشد. نقطه ذوب 1427°C ، شروع تصحیح آن در دمای بسیار پایینتر از نقطه ذوب و بالاتر از 750°C بوده و نقطه جوش آن 1837°C می باشد. بخش های فرار آن تنها ملکول های پلیمریک می باشند. WO_3 در اسیدها به جز HF غیر قابل حل بوده اما به راحتی در محلول های قلیایی آبی یا مذاب، هیدروکسیدهای قلیایی یا کربنات ها حل می شود. WO_3 یکی از مهمترین و خالص ترین ترکیبات بین فلزی ها در تولید سایر ترکیبات تنگستنی یا پودر تنگستن می باشد. هم چنین حجم زیادی از این اکسید در طی فرایندی به اکسید آبی رنگ تنگستن تبدیل می شود. WO_3 به علت داشتن رنگ زرد کم رنگ، به عنوان رنگ دانه در رنگ های آبی یا روغنی به کار برده می شود. اخیرا از آن در کاتالیست های مختلف به ویژه در کنترل آلودگی هوا و صنایع بهداشتی نیز استفاده می شود.

دی اکسید تنگستن (WO_2)

این اکسید محصول میانی احیا هیدروژنی اکسیدهای بالاتر تنگستن بوده که در دمای ${}^{\circ}\text{C}$ ۹۰۰ تحت اتمسفر هیدروژن و فشار جزیی بخار آب $5/\text{bar}$ به دست می‌آید. این ترکیب دارای جرم مولی $215/84 \text{ gr/mol}$ ، نقطه ذوب 1530°C و رنگ قهوه‌ای تا بنفش قهوه‌ای داشته و تک بلورهای آن به رنگ برنزی می‌باشند و به همین علت درخشندگی و جلای فلزی دارند. این اکسید در اسیدهایمعدنی غلیظ و گرم و محلول‌های قلیایی غلیظ و در حال جوش حل می‌شود. هم‌چنین در محلول آب اکسیژنه رقیق و غلیظ به سرعت حل شده و اسید نیتریک نیز منجر به اکسید شدن WO_2 به WO_3 می‌شود.

ترکیبات سه تایی تنگستن :

ترکیب‌های سه تایی تنگستن با اکسیژن عبارتند از :

- اسید‌های تنگستیک
- تنگستات کلسیم (CaWO_4)
- آمونیوم پاراتنگستات ($(\text{NH}_4)_{10}\text{H}_2\text{W}_{12}\text{O}_{42} \cdot 4\text{H}_2\text{O}$)
- تری اکسید تنگستن هیدراته (یک آبه) ($(\text{WO}_3 \cdot \text{H}_2\text{O})(\text{WO}_2(\text{OH}_2))$)

۲-۲-۱ لایه نازک اکسید تنگستن (WO_3)

ساز و کار تشكیل ساختارهای بلوری مختلف در لایه‌های نازک اکسید تنگستن بسیار پیچیده است. با توجه به نوع کاربرد لایه‌های نازک اکسید تنگستن می‌توان کیفیت ساخت آنها را تغییر داد. از عواملی که در کیفیت لایه نازک موثرند می‌توان به جزئیات روش لایه نشانی، سرعت لایه نشانی، دمای زیرلایه، نوع خلاء، ساختار زیرلایه و تطابق آن با لایه اشاره نمود. لایه‌های نازک این ماده پس

از رشد دارای رسانندگی نوع n بوده که این امر ناشی از عدم تناسب عنصری در ماده بر اثر تهی جاهای اکسیژن به عنوان مراکز شبه بخشندۀ می باشند [۱۳, ۱۴]. روش‌های سنتز لایه‌های نازک به دو دسته عمده روش‌های فیزیکی و روش‌های شیمیایی تقسیم بندی می‌شوند. این روش‌ها بسته به فرایند لایه نشانی نامگذاری می‌شود که از آن جمله می‌توان به روش‌های اسپری پایرولیزیز، سل ژل، کند و پاش، تبخیر حرارتی و الکتروانباشت اشاره کرد. با استفاده از روش‌های متفاوت رشد و شرایط مختلف لایه نشانی می‌توان به ساختارهای متفاوتی از اکسید تنگستن دست یافت [۱۲, ۱۵, ۱۶].

۳-۲-۱ خواص الکتریکی لایه‌های نازک اکسید تنگستن

در بررسی خواص لایه‌های نازک مشخص شده است که خواص ماده در آن شرایط نسبت به حالت کپه‌ای ماده رفتار متفاوتی از خود نشان می‌دهد. در بحث خواص الکتریکی لایه‌های نازک همانطور که می‌دانیم رسانایی الکتریکی لایه با کاهش ضخامت آن، کاهش می‌یابد و در مقابل میزان مقاومت الکتریکی در لایه‌های نازکتر، مقادیر بزرگتری خواهد داشت. با کاهش ضخامت لایه‌های نازک، میزان مغناطیش آنها نیز کم می‌شود و در مورد خواص نوری، با کاهش ضخامت لایه، عبور نور در آن افزایش خواهد داشت. همچنین به علت افزایش میزان سطح به حجم در لایه‌های نازک، تغییر دما و واکنش شیمیایی نسبت به توده ماده با سرعت بیشتری انجام خواهد گرفت.

اکسید تنگستن جز اکسید‌های فلزات واسطه است که در سال‌های گذشته تحقیقات گسترده‌ای در مورد خواص فیزیکی آن صورت گرفته است [۹]. در یک تصویر یونی محض، اتم‌های تنگستن دارای آرایش الکترونی d^5 با توانایی از دادن ۶ الکترون ($+6$) و اتم‌های اکسیژن دارای آرایش الکترونی p^3 و توانایی پذیرش ۲ الکترون می‌باشند بنابراین اکسید تنگستن با فرمول WO_3 دارای یک یون تنگستن با بار $+6$ و سه یون اکسیژن با مجموع بار -6 می‌باشد. از آنجایی که نوار d تنگستن کاملاً پر نیست، اکسید تنگستن باید یک رساناً باشد، این در حالی است که نمونه‌ی حجمی اکسید تنگستن (WO_3) دارای مقاومت بسیار بالایی بوده و مانند یک عایق رفتار می‌کند. دو

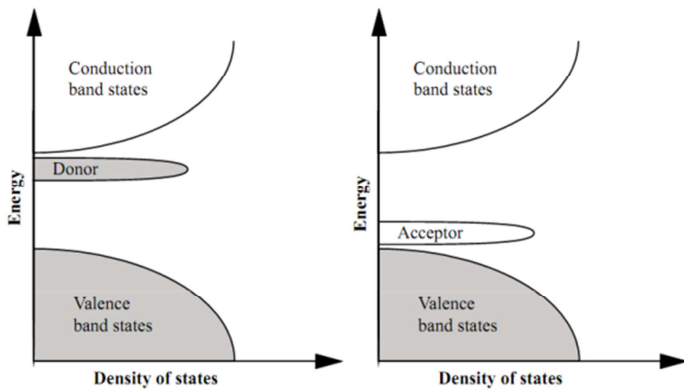
عامل بسیار مهم در تهیه لایه های نیمرسانای شفاف نوع n عبارتند از عدم تناسب عنصری و اثر ناچالصی.

الف) نقایص شیمیایی و عدم تناسب عنصری

نقایص شیمیایی معمولاً هم شامل تهی جاهای و هم شامل عناصر خارجی است. در اکسید تنگستن با تناسب عنصری کامل تهی جاهای اکسیژن وجود نداشته و از لحاظ الکتریکی عایق است. اما در لایه های نازک اکسید تنگستن قادر تناسب عنصری شکل، رسانندگی به دلیل الکترون های ایجاد شده از طریق تهی جاهای اکسیژن یا وجود تنگستن درون شبکه ای در ساختار اکسید تنگستن می تواند به طور قابل توجهی افزایش یابد [۷]، به طوری که مقاومت ویژه این لایه ها به میزان تراکم تهی جاهای آنیون (O) بستگی دارد. مقاومت لایه های اکسید تنگستن با کاهش یون های اکسیژن کاهش می یابد [۹].

ب) اثر آلایش

نیمرسانای قادر تناسب عنصری به دلیل تراکم حامل کم در صنعت کاربرد محدودی دارد. آلایش یعنی مقداری از اتم های شبکه با اتم های خارجی جایگزین شده، که نتیجه آن تغییر در ساختار نواری ماده است. شکل ۲-۱ نشان می دهد که آلایش می تواند حالت های انرژی جایگزینده ی جدیدی را در بین گاف نواری به وجود آورد. اتم های آلایشی به دو دسته ی پذیرنده و دهنده تقسیم می شوند.



شکل ۲-۱ : چگالی حالت های الکترونی بر حسب انرژی در یک نیمرسانا نوع p (راست)، نیمرسانای نوع n

. [۲۷] (چپ)

برای افزایش رسانش نوع n باید عمل جانشینی اتم های دهنده در شبکه نیمرسانای میزبان به خوبی انجام شود. بنابراین دقیق در انتخاب نوع ناخالصی دهنده ضروری است. اگر اندازه اتمی ناخالصی دهنده کمتر از اندازه اتمی شبکه میزبان (پایه) باشد، انتظار می رود در شرایط مناسب لایه نشانی، تعداد قابل ملاحظه ای از اتم های دهنده جایگزین اتم های شبکه میزبان شوند و عمل جانشینی به طور کامل انجام شود. در این شرایط با توجه به اختلاف ظرفیت بین اتم های ناخالصی دهنده و اتم های شبکه نیمرسانا پایه، یک یا چند الکترون به شبکه افزوده می شود. بر عکس اگر اندازه اتم های ناخالصی دهنده (مهمان) بزرگتر از اندازه اتمی شبکه میزبان باشد، جانشینی اتم ها با احتمال کمتری رخ میدهد و بیشتر باعث به هم ریختگی اتم ها و افزایش بی نظمی در شبکه نیمرسانا می شود. سطح تزریق ناخالصی مسئله مهم دیگری است که در این خصوص اهمیت فوق العاده دارد. افزایش بیش از حد ناخالصی می تواند باعث کاهش رسانندگی لایه ها شود. اندازه گیری های رسانندگی الکتریکی و ترموالکتریک نشان می دهد که اکسید تنگستن با تنگستن اضافی که منجر به کمبود فراوانی اتم های اکسیژن در شبکه می گردد و یا تهی جاهای اکسیژن [۹، ۲۶] سبب رسانندگی حامل الکترون (در نیمرسانای نوع n) می شود.

۴-۲-۱ کاربردهای لایه نازک اکسید تنگستن

استفاده از لایه های نازک در ساخت وسایل پیچیده و مدرن امروزی بسیار متداول شده است، به طوری که هر روز شاید بتوان با کاربردهای جدیدی از لایه های نازک آشنا شد. از مهمترین کاربردهای لایه های نازک، قطعات الکتریکی نیمرسانا، ابزارهای حافظه و پوشش های نوری می باشد. با توجه به عملکرد و خواص لایه های نازک، می توان از آنها جهت بهبود تکنولوژی هایی نظیر سلولهای خورشیدی، سنسورها، کاربردهای نوری، مهندسی الکترونیک و فروالکترونیک نیز استفاده نمود. امروزه کاربرد لایه نشانی در صنایع، موضوع توسعه یافته ای است به گونه ای که بخش بزرگی از پیشرفتهای امروزی را مدیون توسعه صنعت لایه نشانی می دانند [۴۳، ۴۴].

از جمله کاربردهای لایه های نازک اکسید تنگستن می توان به استفاده از این ماده در سرامیک ها و رنگ ها به عنوان رنگدانه و استفاده از آنها در ساخت الکترود های الکتروفعال برای ذخیره ای انرژی در سلول های خورشیدی، حافظه ای نوری، قطعات مورد استفاده برای نوشتن و خواندن و پاک کردن و نمایشگرها اشاره کرد [۲، ۱۳، ۱۵، ۱۶، ۱۷، ۱۸]. اکسید تنگستن به دلیل دارا بودن خواص فوتوكرومیکی، الکتروکرومیکی و ترموکرومیکی در دهه های اخیر به طور گسترده مورد مطالعه قرار گرفته اند. مطالعات اولیه در مورد خواص اپتیکی و الکتروکرومیکی این ترکیبات در دهه های هفتاد انجام شد و از آن در ساخت پنجره های الکتروکرومیک یا پنجره های هوشمند، استفاده می شود. این پنجره ها قابلیت تنظیم تیره و روشن شدن را تحت اعمال ولتاژ الکتریکی دارند و این امکان را برای استفاده کنندگان فراهم میکنند تا بتوانند میزان گرما و نور ورودی به ساختمان ها یا خودروها را کنترل کنند. در نتیجه استفاده از این پنجره ها هم باعث صرفه جویی در مصرف انرژی شده و هم از لحاظ اقتصادی به صرفه است [۲۸].

لایه های نازک بلوری این ماده انتخاب مناسبی برای کاربرد در حسگر های گازی نیز هستند. اولین حسگر گازی برای ردیابی H_2 می باشد [۲۲]. اگر لایه نازک WO_3 در معرض هیدروژن

قرار گیرد تغییر زیادی در رسانندگی لایه نازک ایجاد می کند. این لایه ها حتی در معرض غلظت کم گازهایی از قبیل NO_x , NH_3 , H_2S , O_2 , H_2 و CO نیز حساسیت بالایی دارند. حسگر گازی تهیه شده از اکسید تنگستن دارای کاربردهای متنوعی از قبیل کنترل محیط، کنترل کننده‌ی اگزوژن اتومبیل‌ها و اخیرا در عیوب شناسی پزشکی و ردیابی گازهای سمی برای بیمارانی که از ناراحتی قلبی و ریوی رنج می برند، می باشد [۲۰، ۱۵]. از خصوصیات این حسگرها می توان به وزن کم، استحکام بالا، طول عمر طولانی و پاسخگویی سریع و حساسیت بالا و همچنین ارزان قیمت بودن در مقایسه با دیگر قطعات اشاره کرد [۲۲، ۲۳، ۲۴].

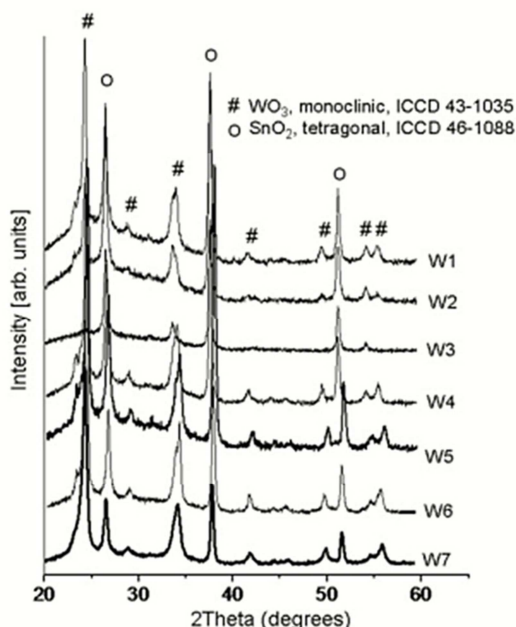
۳-۱ مرواری بر مقالات در زمینه خصوصیات فیزیکی لایه نازک WO_3 تهیه شده

به روش اسپری پایرولیزیز

۳-۱-۱ بررسی اثر غلظت محلول (مولاریته)

لایه های نازک اکسید تنگستن به روش اسپری پایرولیزیز توسط گروههای مختلف و با پارامترهای متفاوت مورد ساخت و بررسی قرار گرفته است. در این مقاله برتوس و همکاران [۹] نمونه های W_1 تا W_7 را مورد بررسی قرار داده اند که نمونه های $\text{W}_1, \text{W}_2, \text{W}_3$ و W_4 در دماهای متفاوت تهیه شده اند که با موضوع مورد بحث ما ارتباطی ندارند. نمونه های مورد نظر ما ($\text{W}_5, \text{W}_6, \text{W}_7$) از محلول آبی تنگستن کلراید (WCl_6) به ترتیب با غلظت های متغیر $0/14, 0/16, 0/12$ M و با زاویه ای اسپری ۴۵ درجه و فاصله‌ی نازل ۲۳ cm در دمای 250°C بر روی زیرلایه FTO لایه نشانی شدند و سپس به مدت ۶ ساعت در دمای 350°C برای پایداری ساختار بلوری بازپخت شده اند. نمونه های تهیه شده در دمای 250°C طبیعت آمورف داشتند که پس از باز پخت دارای ساختار بسبلوری و در فاز مونوکلینیک مبدلور شدند. نتایج حاصل از طیف XRD این نمونه ها در شکل ۳-۱ نشان می دهد که دو قله متفاوت و اصلی در جهات ترجیحی (۲۰۰) و (۲۰۲) یافت شده است و

زوایای 34° ، 60° و $23/20^{\circ}$ ساختار مونوکلینیک را نشان می دهد که با نتایج گزارش شده توسط ریگراگی و همکارانش [۲۵] که محلول WCl_6 را با ۵۰ درصد اتانول و ۵۰ درصد آب مقطر تهیه کرده و روی زیرلایه با دمای 300°C اسپری کرده اند، کاملا در توافق است. همچنین قله ارجح متناسب با ساختار زیرلایه فاز SnO_2 در فاز تتراتگونال یافت می شود. ابعاد بلورک ها که از رابطه ای شرر با توجه به خصوصیات قله های (۲۰۰) و (۲۰۲) محاسبه شده است در جدول ۱-۱ قابل مشاهده است. همان طور که پیداست ابعاد بلورک ها و ضخامت نمونه ها با افزایش غلظت محلول تغییر کرده است.

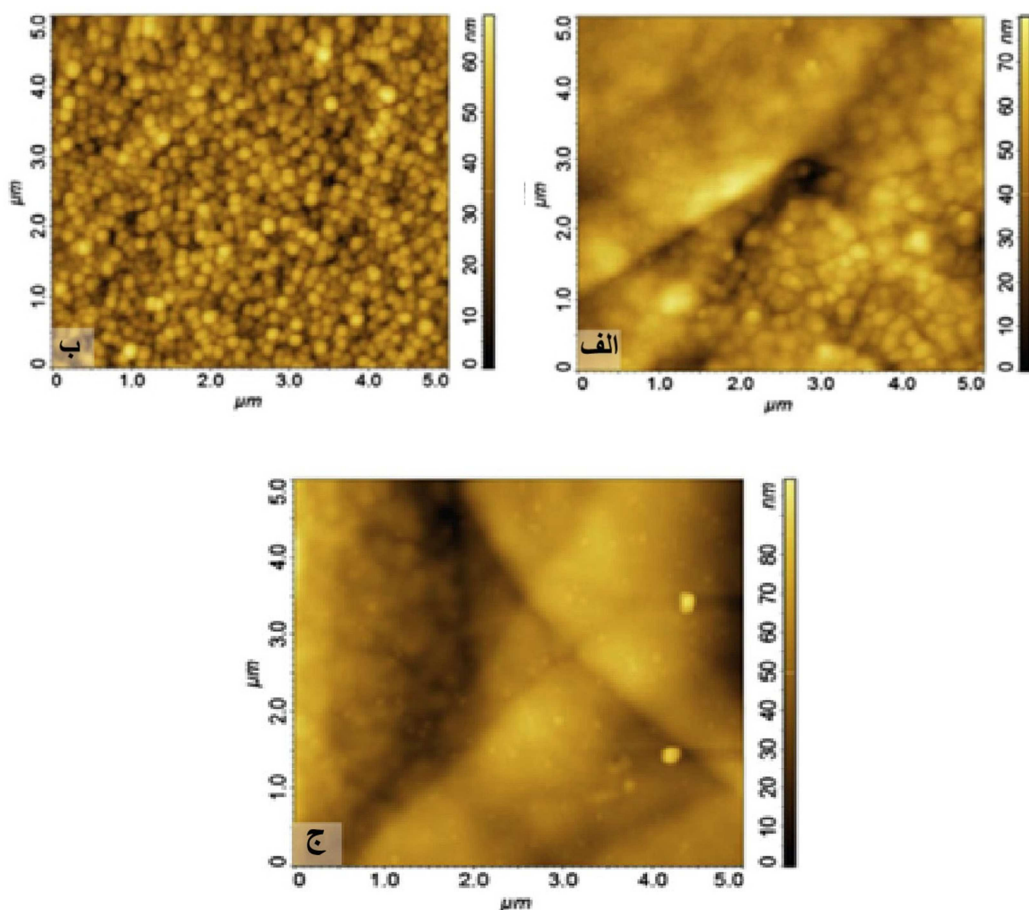


شکل ۳-۱: طیف های XRD نمونه ها پس از بازپخت در دمای 350°C . [۹]

جدول ۱-۱: نمونه های WO_3 با غلظت های متغیر، اندازه بلورک ها با توجه به جهتگیری ترجیحی (۲۰۲)،
زبری و ضخامت لایه ها [۹].

| Sample | Solution molarity | Crystalite size (nm) | Average roughness (nm) | Layer thickness (nm) |
|--------|-------------------|----------------------|------------------------|----------------------|
| W5 | 0.12 M | 13.85 | 7.9 | 169 |
| W6 | 0.14 M | 8.13 | 9.0 | 180 |
| W7 | 0.16 M | 23.05 | 8.5 | 188 |

میانگین زیری سطح نمونه ها در یک محدوده $5 \times 5 \mu\text{m}$ با استفاده از دستگاه AFM با خطای $\pm 10 \text{ nm}$ اندازه گیری شده است که نتایج آن را در جدول ۱-۱ مشاهده می کنید. مورفولوژی نمونه ها توسط تصاویر سه بعدی AFM در شکل ۱-۴ نشان داده شده است. این تصاویر نشان دهنده ای این است که در نمونه W_5 مورفولوژی سطح، جزیره های یکنواخت را نشان می دهد که کل سطح نمونه را پوشانده است. نمونه ای W_6 ذرات دانه مانند داشته که دانه ها شکل و اندازه ای تقریبا مساوی در محدوده 10 nm تا 60 nm دارند و به طور یکنواخت روی سطح توزیع شده اند و نمونه ای W_7 که محلول آن از بیشترین مولاریته برخوردار است سطح پوشیده چگالتی نسبت به سایر نمونه ها دارد و به صورت جزیره های روی هم انباسته قرار گرفته است.

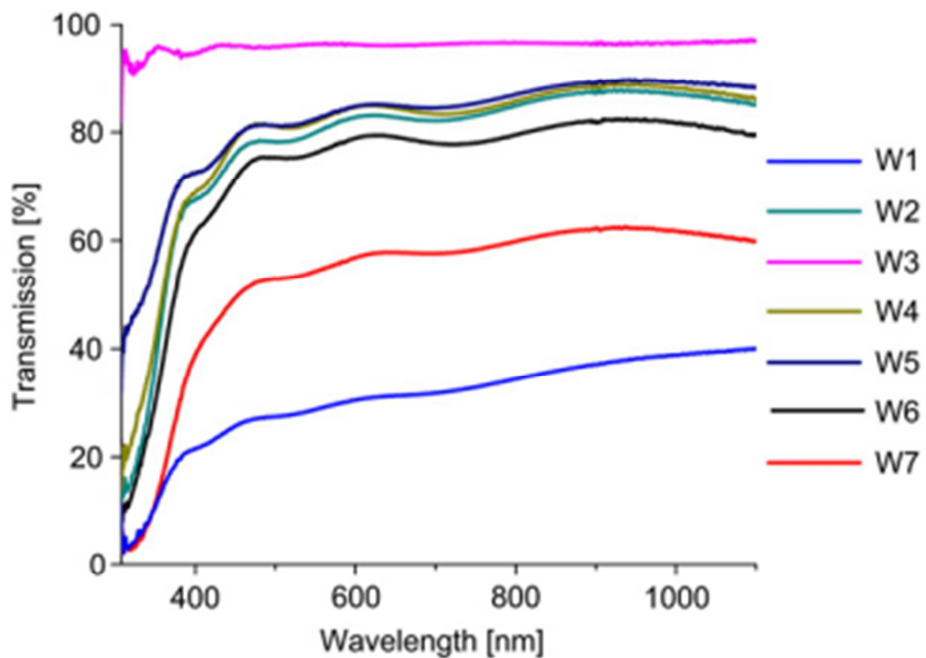


شکل ۱-۴ : تصاویر AFM نمونه های تهیه شده با غلظت های مختلف الف (W_5) ، ب (W_6) ، ج (W_7) [۶]

طیف عبور این نمونه ها در محدوده ای طول موجی $300-1100\text{ nm}$ در شکل ۱-۵ نشان داده شده است. میزان عبور در ناحیه ای طول موجی $400-1100\text{ nm}$ در حدوده ۷۰ درصد تعیین شده که حاکی از شفافیت بسیار خوب این لایه هاست که با کاهش غلظت محلول این شفافیت افزایش می یابد. این رفتار به کاهش ضخامت لایه ها (جدول ۱-۱) نسبت داده شده است، ضخامت لایه ها با استفاده از فرمول زیر محاسبه شده است [۹].

$$d = \frac{\lambda_1 \lambda_2}{2(\lambda_2 - \lambda_1)(n_1^2 - \sin^2 \alpha)} \quad (3-1)$$

λ_1 و λ_2 درجه های با شدت کمینه ای متواالی، n ضریب شکست لایه های WO_3 و α زاویه ای تابش نور می باشد.



شکل ۱-۵ : طیف های عبور نمونه های $\text{W}_5, \text{W}_6, \text{W}_7$ [۹]

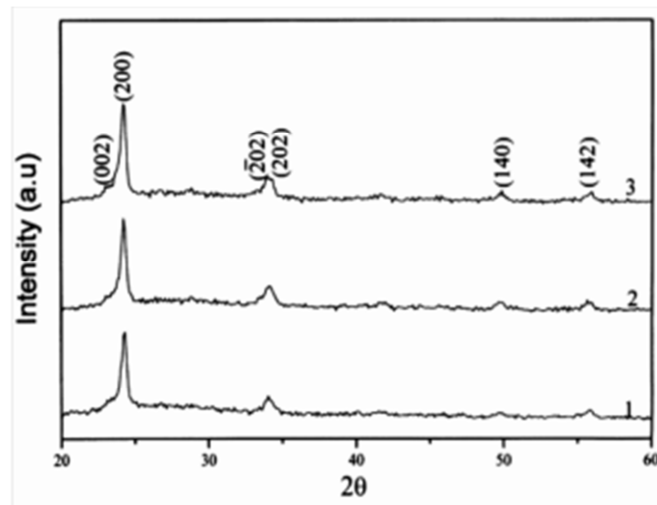
گاف نواری نمونه ها که با استفاده از طیف عبور آن ها محاسبه شده است، در جدول ۲-۱ قابل مشاهده است. کاهش گاف نواری نمونه ها به افزایش ابعاد بلورک ها نسبت داده شده است.

جدول ۲-۱ : گاف نواری نمونه های تهیه شده در غلظت های متفاوت [۹].

| Sample | Band gap (eV) |
|--------|------------------|
| W5 | 2.64 |
| W6 | 2.66 |
| W7 | 2.60 |

۲-۳-۱ بررسی اثر آهنگ اسپری

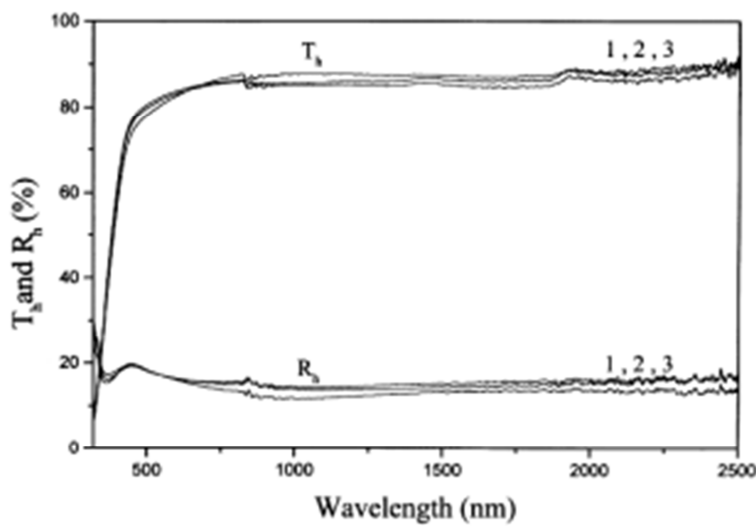
لایه های نازک اکسید تنگستن با حل کردن کلرید تنگستن (WCl_6) در ۵۰ درصد آب و ۵۰ درصد اتانول با غلظت 1 M در دمای 300°C با آهنگ اسپری $3,4,6\text{ ml/min}$ توسط ریگراگی و همکاران [۲۵] لایه نشانی شده است. نمونه های تهیه شده در دمای 300°C طبیعت آمورف داشتند که بعد از بازپخت در دمای 500°C با ساختار بس بلوری در فاز مونوکلینیک مبدلور شده اند (شکل ۶-۱). قله ای ترجیحی در همه آنها (2000) بوده و ثابت شبکه ای آنها $a=7/41\text{ \AA}$ ، $b=7/83\text{ \AA}$ و $c=7/78\text{ \AA}$ باشد



شکل ۶-۱ : طیف های XRD نمونه های تهیه شده در دمای 300°C با آهنگ اسپری (۱)، (۲)، (۳) $3,4,6\text{ ml/min}$. این نمونه ها در دمای 500°C بازپخت شده اند [۲۵].

طیف عبور و بازتاب مربوط به این لایه‌ها در شکل ۷-۱ نشان داده شده است. میزان عبور در ناحیه مریی در حدود ۸۵-۷۵ درصد متغیر بوده است. چنانچه مشاهده می‌شود طیف عبور و بازتاب با تغییر آهنگ لایه‌شانی تغییر محسوسی نداشته است. ضخامت این لایه‌ها که با استفاده از دستگاه اندازه‌گیری شده است تقریباً با هم یکسان و همه در حدود ۱۵۰ nm گزارش شده‌اند [۲۵، ۲۶].

آنها با استفاده از داده‌های طیف عبور و ضخامت لایه‌ها ضریب جذب نمونه‌ها را از رابطه‌ی (۷-۲) و سپس بزرگی گاف نواری غیر مستقیم نمونه‌ها را از رابطه‌ی (۸-۲) محاسبه کرده‌اند. بزرگی گاف نواری غیر مستقیم گزارش شده برای این نمونه‌ها برابر $3/5$ eV می‌باشد [۲۵، ۲۶].

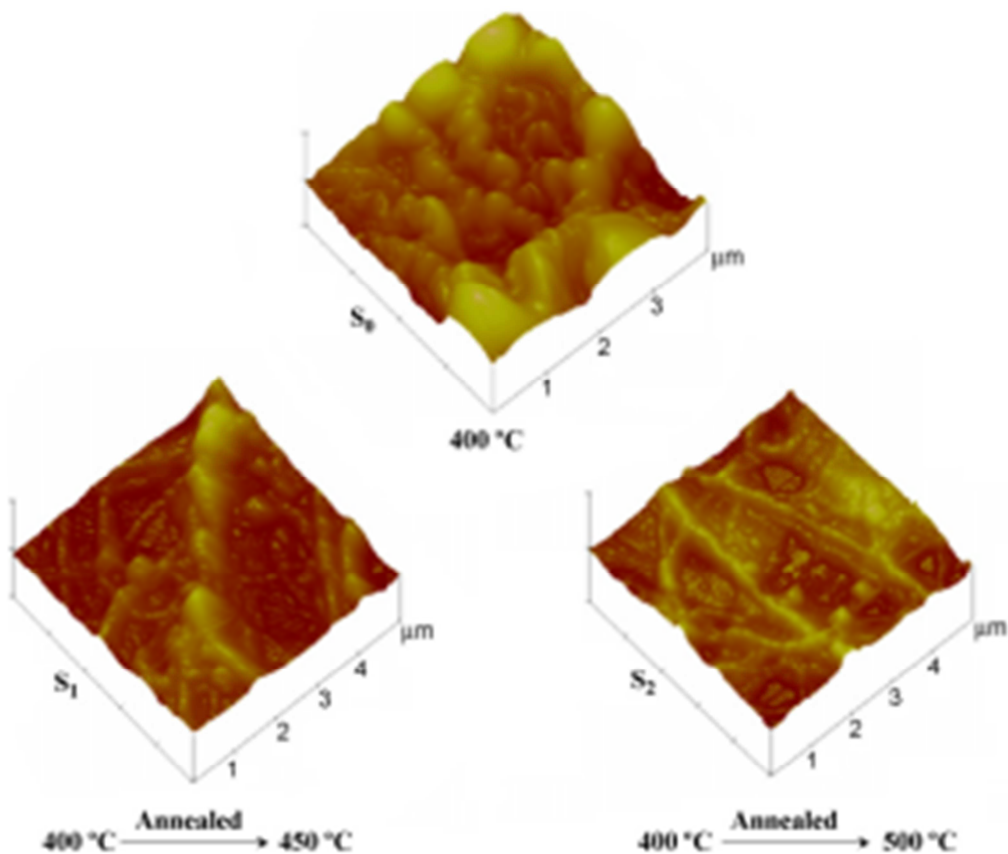


شکل ۷-۱: طیف عبور و بازتاب برای نمونه‌های تهییه شده با آهنگ اسپری متفاوت [۲۵].

نتایج بدست آمده برای نمونه‌های تولید شده با آهنگ اسپری متفاوت حاکی از آن است که تغییرات قابل توجهی در خواص ساختاری و اپتیکی به وجود نمی‌آید، لکن با افزایش آهنگ اسپری اندازه دانه‌ها کاهش می‌یابد، به طوری که برای نمونه‌های ۱، ۲ و ۳ به ترتیب اندازه دانه‌ها از فرمول شرر $810 \times 570 \times 530 A^\circ$ تخمین زده شده است.

۳-۳-۱ بررسی اثر بازپخت بر ترکیبات WO_3

بنا بر گزارش داباس و همکاران [۱۱] لایه نازک اکسید تنگستن لایه نشانی شده به روش اسپری پایرولیزیز با استفاده از محلول تنگستات آمونیوم با زیر لایه شیشه در دمای 400°C (نمونه S_0) تحت عملیات بازپخت در دماهای 450°C و 500°C به مدت ۲ ساعت قرار گرفت (نمونه های S_1 و S_2). تصاویر AFM سه بعدی از لایه های نازک اکسید تنگستن در شکل ۸-۱ نشان داده شده است.



شکل ۸-۱: توپوگرافی سه بعدی نمونه ها قبل از بازپخت (S_0)، بازپخت شده در دمای 450°C و 500°C [۱۱] (S_1 و S_2).

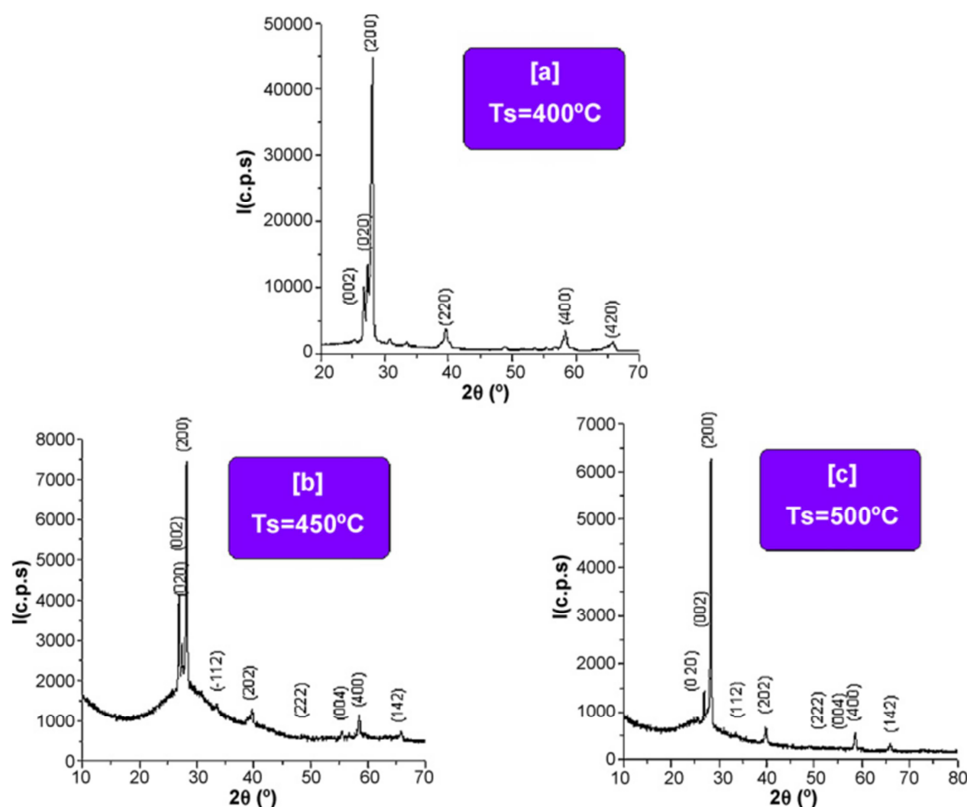
این تصاویر نشانگر رشته های شبکه مانندی بعد از بازپخت می باشد و همچنین از زبری سطح کاسته شده و سطح نمونه پس از بازپخت یکنواخت تر شده است. زبری سطح نمونه ها با استفاده از

نرم افزار (PGI-IMIX PTS) محاسبه شده است. جدول ۱-۳ نتایج به دست آمده را نشان می دهد.

جدول ۱-۳ : زبری سطح نمونه ی WO_3 لایه نشانی شده در دمای 400°C و بازپخت شده در دماهای 450°C و 500°C .

| T_a ($^\circ\text{C}$) | 400 | 450 | 500 |
|-----------------------------------|-----|--------|--------|
| Roughness ($\approx \text{nm}$) | 407 | 128.05 | 75.862 |

نتایج طیف های XRD (شکل ۹-۱) نمونه ها نشان دهنده ی تغییر تدریجی ساختار لایه ها می باشد، به طوری که قله ی ترجیحی هر سه نمونه در امتداد (200) بوده و نمونه بدون بازپخت دارای ساختار راست گوش و نمونه های بازپخت شده در دماهای 450°C و 500°C به ترتیب دارای ساختارهای تک میلی و سه گوشی می باشند.

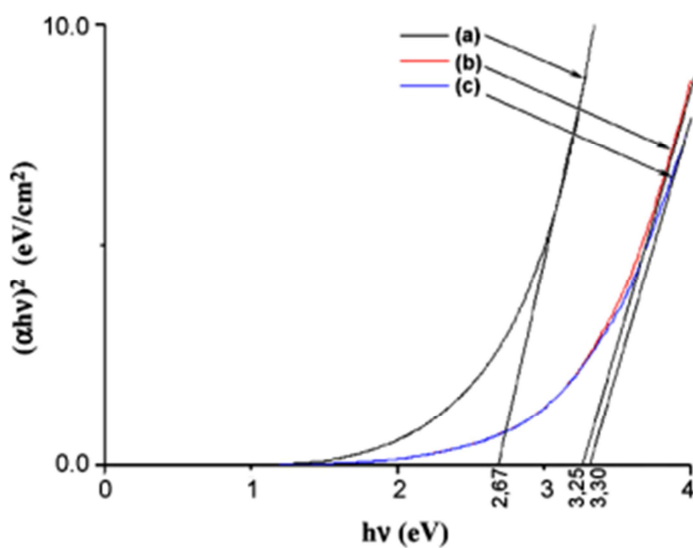


شکل ۹-۱ : طیف های XRD در لایه های نازک WO_3 در دمای زیر لایه 400°C (بدون بازپخت)، بازپخت شده در 450°C و 500°C .

طبق گزارش این محققین در خواص اپتیکی نمونه‌ها شامل طیف‌های عبور و بازتاب پس از بازپخت تغییر محسوسی در طیف مشاهده نشده است. فقط افزایش ناچیزی در طیف عبور نمونه‌ی c در گستره‌ی فرو سرخ (۷۱٪) گزارش شده است و همچنین طیف بازتاب همه نمونه‌ها در این گستره تقریباً (۲۵٪) می‌باشد. تحلیل داده‌ها در نمودار $(\alpha h\nu)^2$ بر حسب $h\nu$ و بروونیابی مقادیر بدست آمده در ناحیه انرژی بالا با محور افقی بزرگی گاف نواری مستقیم را تعیین می‌کند. با توجه به اندازه‌گیری eV‌های بدست آمده گاف نواری با افزایش دمای بازپخت از ۲/۶۷ eV در شرایط قبل از بازپخت به ۳/۲۵ و ۳/۳۰ eV به ترتیب در نمونه‌های بازپخت شده افزایش یافته است (جدول ۱-۴). نتایج این محاسبات در شکل ۱-۱۰ قابل مشاهده می‌باشد.

جدول ۱-۴: تاثیر بازپخت بر گاف نواری نمونه‌های WO_3 [۱۱].

| T_a (°C) | 400 | 450 | 500 |
|------------|------|------|------|
| E_g (eV) | 2.67 | 3.25 | 3.30 |



شکل ۱-۱۰: تغییرات $(\alpha h\nu)^2$ بر حسب $h\nu$ قبل از بازپخت (a)، و بازپخت شده در دماهای ۴۵۰ و ۵۰۰ °C (b) و (c) [۱۱].

همچنین از طریق اندازه‌گیری‌های الکتریکی رسانندگی این نمونه‌ها نوع n گزارش شده است.

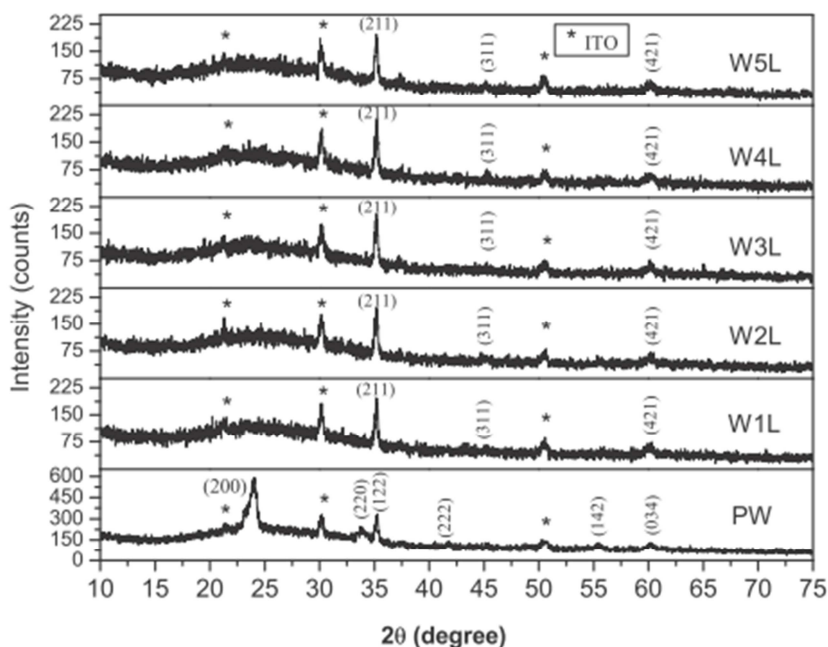
۴-۳-۱ بررسی اثر ناخالصی Li بر ترکیبات WO_3

کوندهان و همکاران [۱۰] لایه های نازک WO_3 ^۱ و آلایش یافته با لیتیم را بر روی زیر لایه ITO به روش پالس اسپری پایرولیزیز لایه نشانی کردند. آنها ویژگی های ساختاری و اپتیکی این ترکیبات آلایش یافته و تاثیر آلایش Li را با درصدهای وزنی (۱-۵ wt%) روی ویژگی های لایه های نازک WO_3 مورد بررسی قرار داده اند. این نمونه ها با استفاده از محلولی مرکب از پودر NH_3 و LiCl (۱-۵ wt%) که در مخلوطی از ۳۰۰ ml آب مقطر و ۱۰۰ ml محلول WCl_6 حدودا ۱۰ ml HCl تهیه شده است. دمای زیرلایه 400°C و نازل به صورت ثابت و در فاصله 35cm نگه داشته شده است.

طیف های XRD لایه های WO_3 خالص و آلایش یافته با (۱-۵ wt%) Li در شکل ۱۱-۱ نشان داده شده است. نمونه Li دارای فاز اورتورومبیک با جهتگیری ترجیحی (200) و ثابت های شبکه ای $a=7/41^{\circ}\text{A}$ ، $b=7/57^{\circ}\text{A}$ ، $c=7/76^{\circ}\text{A}$ می باشد.

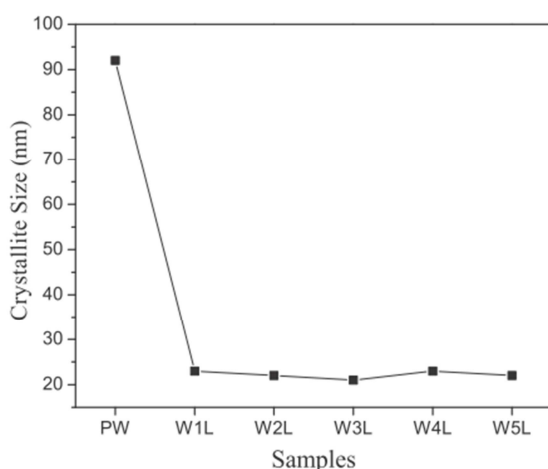
با توجه به نتایج طیف های XRD به وضوح مشاهده می شود که قله (200) ترجیحی در راستای صفحه (200) که در WO_3 خالص وجود دارد در نمونه های آلایش یافته با Li کاملا ناپدید شده و دو قله (311) و (421) در زوایای $45/06^{\circ}$ ، $60/22^{\circ}$ ظاهر شده اند. قله (211) دیگر در راستای صفحات (311) و (421) مشاهده شده است. ترجیحی برای نمونه های آلایش یافته در راستای صفحه (211) برآگ (211) مشاهده شده است.

^۱ Pure- WO_3



شکل ۱۱-۱: طیف های XRD لایه های WO_3 خالص و آلایش یافته با $(1-5 \text{ wt\%}) \text{ Li}$.

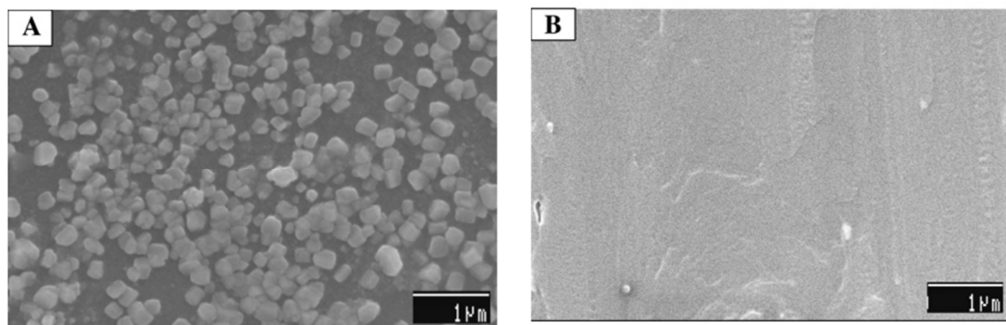
شکل ۱۲-۱ تغییرات بزرگی اندازه بلورک ها برای نمونه های خالص و آلایش یافته را که از فرمول شر محاسبه شده نسبت به جهت ترجیحی (۲۱۱) نشان می دهد. اندازه بلوک ها برای نمونه خالص حدود 92 nm است و با افزایش تراکم آلایش، کوچکتر شده و برای نمونه های آلایش یافته در حدود 21 تا 23 nm متغیر است [۱۰].



شکل ۱۲-۱: اندازه بلوک های لایه های WO_3 خالص و آلایش یافته با $(1-5 \text{ wt\%}) \text{ Li}$.

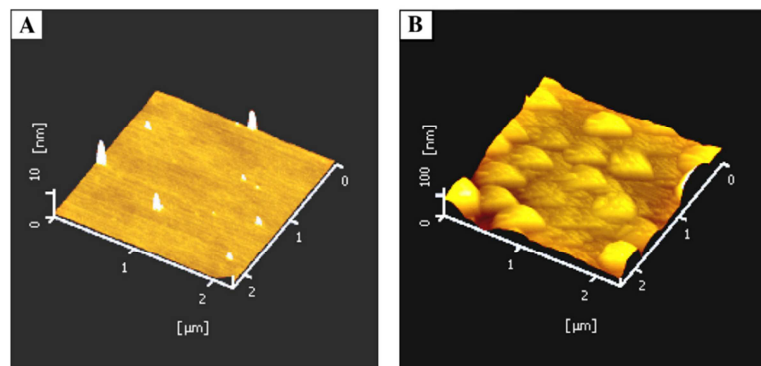
شکل ۱۳-۱ تصاویر SEM نمونه های WO_3 خالص و آلایش یافته با Li را نشان می دهد.

همانطور که مشاهده می شود سطح نمونه خالص WO_3 تعدادی ذرات مکعبی شکل را در سطح لایه نشان می دهد که با تصاویر قبلی که بر روی زیرلایه شیشه رشد یافته و به صورت رشته های شبکه ای و خوشه های دوار گزارش شده اند متفاوت است [۱۹، ۲۵، ۳۶]. تصویر نمونه ی آلایش یافته با Li به وضوح نشان دهنده ی آن است که سطح کاملاً یکنواخت، هموار و خالی از خلل و فرج است.



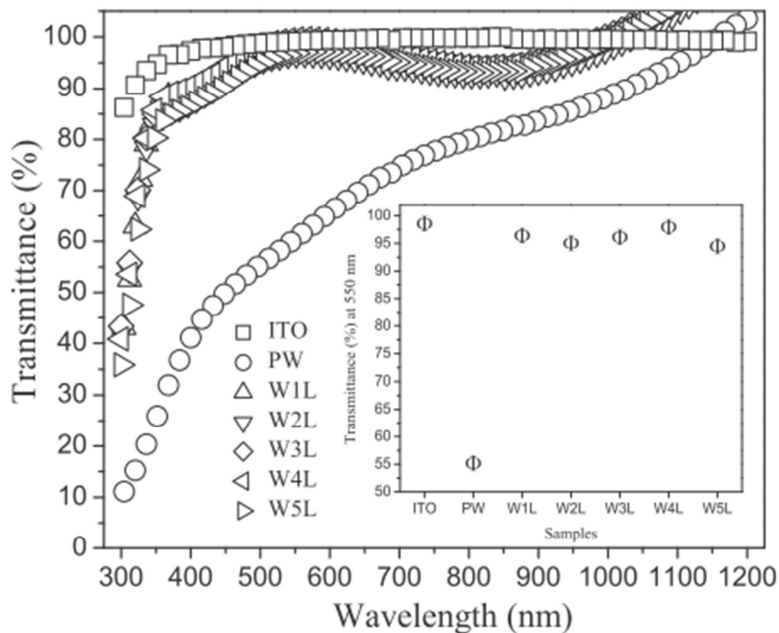
شکل ۱۳-۱ : تصاویر SEM فیلم های WO_3 خالص (الف) و آلایش یافته با Li (۱ wt%) (ب) [۱۰].

شکل ۱۴-۱ نشان دهنده ی تصاویر سه بعدی AFM از نمونه های WO_3 خالص (A) و آلایش یافته با Li (۱ wt%) (B) است. این تصاویر به خوبی پستی و بلندی های کوچکی را در ناحیه ی مورد مطالعه نشان می دهد.



شکل ۱۴-۱ : تصاویر سه بعدی AFM فیلم های WO_3 خالص (الف) و آلایش یافته با Li (۱ wt%) (ب) [۱۰].

طیف عبور فیلم های نازک WO_3 خالص و آلایش یافته با Li در شکل ۱۵-۱ نشان داده شده است [۱۰]. مشاهده می شود که طیف عبور فیلم WO_3 خالص از ۷۰٪ تا ۴۰٪ در ناحیه‌ی مریبی و ۸۰٪ در ناحیه‌ی فروسرخ متغیر است. ضریب عبور پایین در این نمونه به پراکندگی نور در بین سطح ذرات و حضور ذرات مکعبی شکل نشان داده شده در تصویر SEM (شکل ۱۳-۱A) نسبت داده شده است. شکل ضمیمه نشان دهنده تغییرات میزان عبور لایه‌ها در شرایط بدون آلایش و پس از آلایش را در طول موج ۵۵۰ nm نشان می‌دهد. نتایج بدست آمده بیانگر آن است که با اضافه شدن آلایش به ماده شفافیت لایه‌ها به مقدار قابل توجهی افزایش می‌یابد. این افزایش تا حد زیادی مستقل از میزان آلایش بوده و همگی با قدری افت و خیز در حدود ۹۵٪ می‌باشد. این یافته‌ها با نتایج دیگر محققین [۳۷، ۳۹] در توافق می‌باشد. افزایش عبور اپتیکی با وارد کردن آلایش ناشی از کاهش ضخامت لایه‌ها گزارش شده است [۴۰].

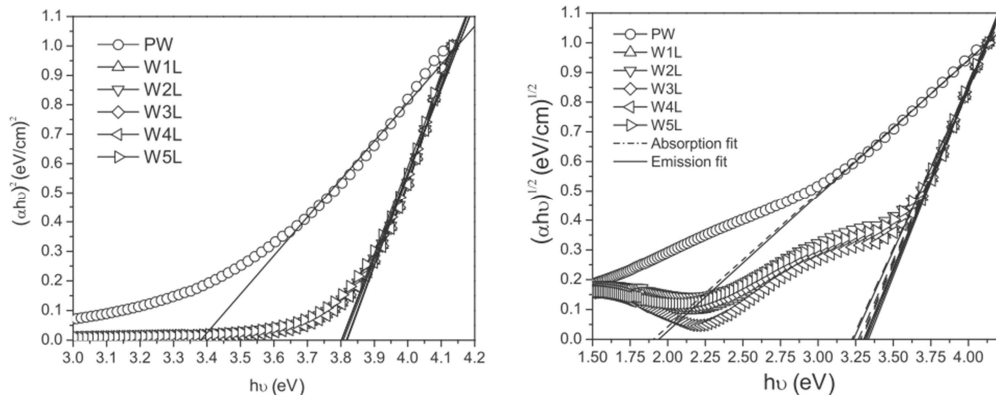


شکل ۱۵-۱ : طیف عبور لایه‌های WO_3 خالص و آلایش یافته با Li (۵-۱۰ wt%). نمودار ضمیمه میزان عبور نمونه‌ها را در طول موج ۵۵۰ nm نشان می‌دهد [۱۰].

جدول ۱-۵: ضخامت و اندازه‌ی گاف نواری مستقیم و غیر مستقیم [۱۰].

| Sample ID | Composition | Film thickness (t) (nm) | Direct Band gap, E_g (eV) | Indirect band gap, $E_{g\text{ind}}$ (eV) |
|-----------|-------------------------|-----------------------------|-----------------------------|-------------------------------------------|
| PW | Undoped WO_3 | 89 | 3.35 | 1.91 |
| W1L | WO_3 : Li (1%) | 89 | 3.81 | 3.27 |
| W2L | WO_3 : Li (2%) | 14 | 3.80 | 3.27 |
| W3L | WO_3 : Li (3%) | 55 | 3.80 | 3.27 |
| W4L | WO_3 : Li (4%) | 10 | 3.82 | 3.28 |
| W5L | WO_3 : Li (5%) | 15 | 3.80 | 3.21 |

اندازه‌ی گیری ضخامت لایه‌ها نشانگر آن است که مقدار آن که با استفاده از profiler from XP-1 surface Ambios Technology Inc اندازه‌ی گیری شده است از ۱۰ تا ۸۹ nm تغییر کرده است. همچنین گاف نواری (مستقیم و غیر مستقیم) این نمونه‌ها که با استفاده از طیف عبور آنها محاسبه شده است در جدول ۱-۵ و تحلیل به کار گرفته شده برای این منظور در شکل ۱۶-۱ نشان داده شده است. همان‌طور که مشاهده می‌شود گاف نواری با وارد کردن ناخالصی افزایش یافته است. این تغییرات ناشی به کاهش ابعاد بلورک‌ها و در نتیجه وقوع پدیده‌ی محدودیت کوانتومی نسبت داده شده است [۱۰].

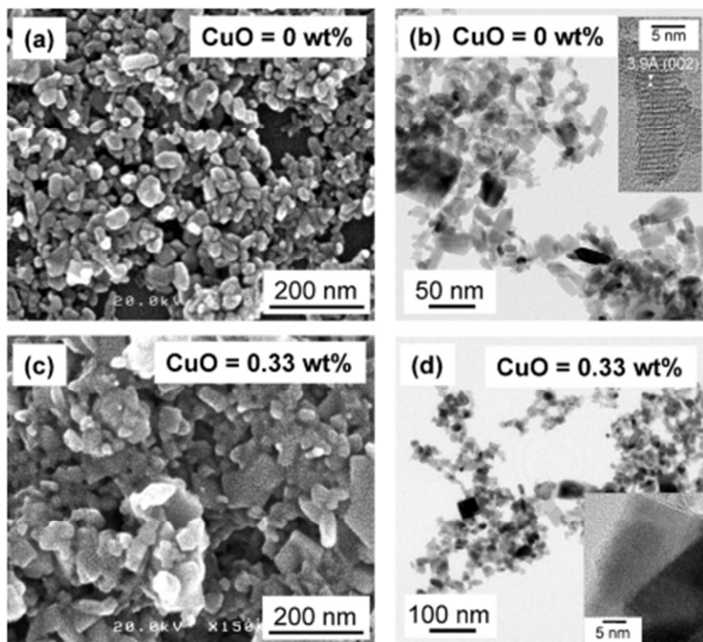


شکل ۱۶-۱: منحنی گاف نواری غیر مستقیم و مستقیم فیلم‌های نازک WO_3 خالص و آلایش یافته با Li.

بررسی اثر نانوذرات (CuO) بر خواص فیزیکی لایه‌های نازک WO_3 ویدیاندری و همکاران [۲۱] تحقیقات خود را به روش اسپری پایرولیزیز بر روی نانوساختار های WO_3 خالص و آلایش یافته با نانوذرات اکسید مس (CuO) انجام دادند. آنها ویژگی‌های

ساختاری و مورفولوژی سطح این ترکیبات آلایش یافته را تحت تاثیر آلایش نانو ذرات CuO با درصد های وزنی (۰/۵wt%) مورد بررسی قرار داده اند. محلول مورد استفاده برای تهیه این نمونه ها شامل آمونیوم تنگستات پنج آبه و نانو ذرات اکسید مس بوده است. محلول مورد نظر با حل کردن پودر آمونیوم تنگستات پنج آبه، $(\text{NH}_4)_2\text{WO}_3 \cdot 5\text{H}_2\text{O}$ در آب مقطر با غلظت 1 M تهیه شده و سپس نانو ذرات اکسید مس با رعایت درصد های وزنی ۰/۵ به محلول اضافه گردیده است.

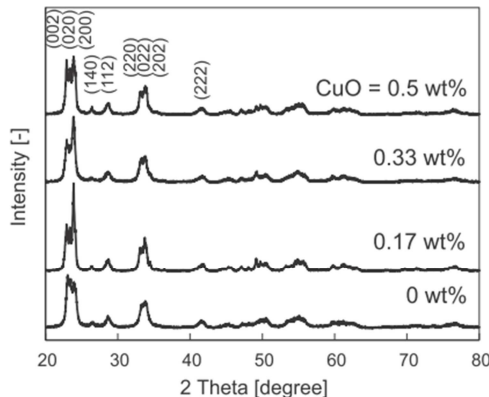
شکل ۱۷-۱ تصاویر FE-SEM نمونه ها را نشان می دهد. به گزارش این محققین مورفولوژی سطحی WO_3 خالص به صورت نانومیله هایی با قطر حدود ۵ تا 20 nm و طول حدود ۳۰ تا 50 nm می باشد. با آلایش نانو ذرات اکسید مس قطر میله ها بزرگتر شده و تا حدود میکرون افزایش یافته است، در حالی که نمونه های آلایش یافته اشکال مکعب دارند. تصاویر SEM مربوط به نمونه ی آلایش یافته با ۰/۳۳ درصد وزنی در شکل (d,c_17-1) نشان داده شده است.



شکل ۱۷-۱ : تصاویر TEM و SEM لایه های WO_3 خالص (تصاویر a و b) و آلایش یافته با CuO (تصاویر c و d) با مقیاس های متفاوت) [۲۱].

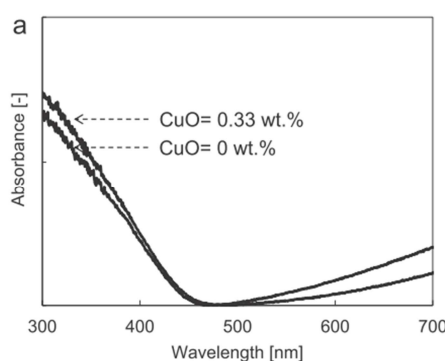
نتایج طیف XRD (شکل ۱۸-۱) نمونه ها حاکی از آن است قله ی ترجیحی در امتداد صفحه

ی (۲۰۰) بوده و در نمونه‌ی با آلایش $0/33$ درصد وزنی از شدت بیشتری برخوردار شده است. این طیف نشان می‌دهد که ماده در ساختار مونوکلینیک با ثابت‌های شبکه‌ای $a = 7/3$, $b = 7/5$, $c = 7/6$ و A° رشد یافته است. نکته‌ی جالب توجه آنکه در نمونه‌های آلایش یافته قله مربوط به اکسید مس ظاهر نشده است.



شکل ۱۸-۱ : طیف XRD نمونه‌های تحت بررسی [۲۱].

شکل ۱۹-۱ طیف جذبی مربوط به نمونه‌ی خالص WO_3 و آلایش یافته با $0/33$ درصد وزنی اکسید مس را نشان می‌دهد. این شکل نشان دهنده‌ی بهبود طیف جذبی نمونه با افزایش ناخالصی است.



شکل ۱۹-۱ : طیف جذبی نمونه‌ی خالص WO_3 و آلایش یافته با $0/33$ درصد وزنی اکسید مس [۲۱].

فصل دوم

مروری بر برخی روش‌های مشخصه یابی لایه‌های نازک اکسید

تگنستن

امکان بررسی ویژگی های مواد در پیشرفت روز افزون و هر چه بیشتر علوم و تجهیزات مدرن نقش بسزایی داشته است. امروزه این قابلیت با استفاده از تجهیزات و تکنیک های مشخصه یابی امکان پذیر شده است. بسیاری از پژوهشگران به دنبال یافتن ارتباط بین پارامترهای تجربی و خواص بدست آمده از لایه های نازک به منظور کاربردی تر شدن این ساختار ها می باشند.

در این فصل ما مروری بر برخی از روش های مشخصه یابی خواهیم داشت که از آن جمله به میکروسکوپ الکترونی روبشی اثر میدانی^۱، پراش پرتو ایکس^۲، طیف نگاری نوری^۳، مشخصه یابی الکتریکی(V-I)^۴ و اثر سیبک^۵ اشاره خواهیم کرد.

۲-۲ میکروسکوپ الکترونی روبشی گسیل میدانی (FESEM)

بر خلاف میکروسکوپ های الکترونی روبشی که منبع باریکه آن الکترون های گسیلی (تفنگ الکترونی) بر اثر گرمایونی در فیلامان یا رشته تنگستنی حاصل می شود در میکروسکوپ های الکترونی روبشی اثر میدانی از اعمال یک میدان الکتریکی قوی برای تولید پرتو الکترونی مبتنی بر پدیده ای تونل زنی استفاده می شود (شکل ۲-۱). اعمال یک میدان الکتریکی قوی بر سطح فلز سبب کاهش ارتفاع سد پتانسیل الکترون شده و احتمال تونل زنی از سطح فلز افزایش می یابد. بدین ترتیب شار بزرگی از الکترون ها فراهم می گردد. در این فرایند مقدار بار گسیل شده به بزرگی میدان الکتریکی اعمال شده بستگی دارد. معمولا برای بدست آوردن بهره هر چه بیشتر برای تولید جریان الکتریکی لازم است از فلزی با نوک تیز استفاده کرد و برای جلوگیری از اکسید شدن نوک فلز به خلا بسیار بالا نیاز است.

¹ Field Effect Scanning Electron Microscope (FESEM)

² X-ray Diffraction (XRD)

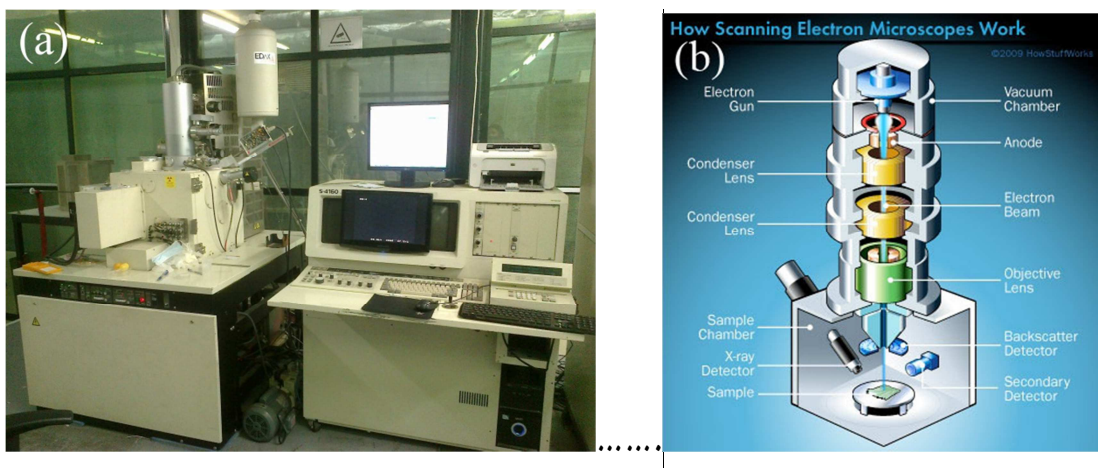
³ Optical spectrophotometry

⁴ Electrical Charactrization

⁵ Seebeck Effect

الکترون های ایجاد شده را می توان به کمک میدان های مغناطیسی (موسوم به لنز مغناطیسی) کانونی کرده و باریکه الکترونی مناسبی تولید کرد. بر اثر برخورد باریکه الکترونی با ماده الکترون های ثانویه تولید می شوند. علاوه بر الکترون های ثانویه الکترون های پس پراکنده شده (بازگشتی) نیز وجود دارند. پرتو الکترون های ثانویه که از نزدیکی سطح گسیل می شوند، حاوی اطلاعاتی از مشخصات سطحی یا توپوگرافی سطح نمونه هستند. در صورتی که پرتو الکtron های پس پراکنده شده حاوی اطلاعاتی در رابطه با ترکیب شیمیایی ماده می باشند [۳۲].

در آماده سازی مواد نارسانا معمولاً سطح نمونه را با لایه نازکی از کربن، طلا، یا آلیاژ طلا پوشش می دهند. علت این امر آن است که باید بین نمونه و پایه، اتصال الکتریکی برقرار شود. در مورد نمونه هایی پودری باید ابتدا آنها بر روی یک لایه نازک رسانا پخش شده و کاملاً خشک شوند. نمونه ها باید عاری از مایعاتی با فشار بخار بالا نظیر آب، محلول های پاک کننده آلی و لایه های روغنی باقی مانده باشند.



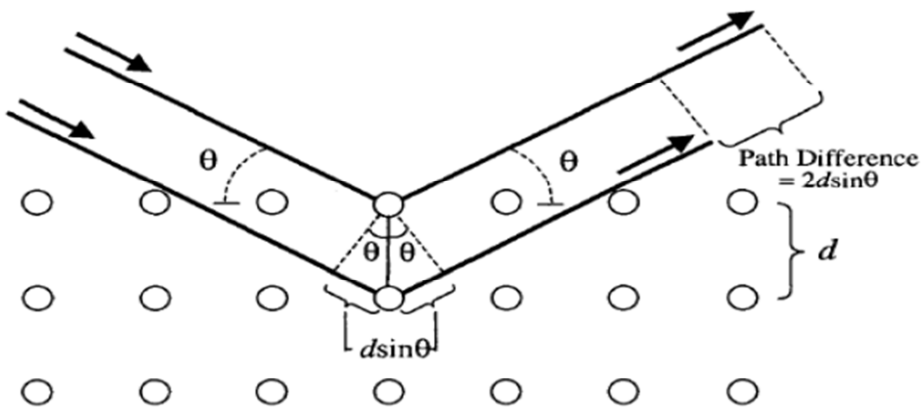
شکل ۱-۲: (a) نمایی از میکروسکوپ الکترونی روبشی اثر میدانی (FESEM ; Hitachi S-4160) بکار گرفته شده در دانشگاه تهران. (b) تصویر شماتیک از اجزای داخلی مسیر عبور باریکه تا سطح نمونه [۴۲].

۳-۲ پراش پرتو ایکس (XRD)

پراش پرتو X برای مطالعهٔ ساختار مواد بلوری استفاده می‌شود. پرتو X در طیف الکترومغناطیس در محدوده بین پرتو ۷ و فرابنفش قرار دارد. با استفاده از این ناحیهٔ طیفی می‌توان اطلاعاتی در خصوص ساختار، جنس ماده و نیز تعیین فازهای بلوری اپتیکی تشکیل شده به دست آورد. برای یک ماده خالص، الگوی پراش پرتو X، همانند اثر انگشت برای آن ماده است. تا کنون الگوی پراش بیش از ۷۵۰۰۰ ترکیب معدنی و آلی جمع‌آوری شده است. با استفاده از این پایگاه داده موسوم به^۱ JCPDS و با کمک روش جستجو و تطبیق می‌توان ترکیب هر ماده را مشخص نمود.

خواص الکتریکی و اپتیکی لایه‌ها تا حد زیادی تحت تاثیر طبیعت بلوری لایه‌ها قرار می‌گیرند. پراش پرتو X وسیله‌ی بسیار کارآمدی برای مطالعه آرایش اتمها در بلورهای است، که در سال ۱۹۱۲ توسط فون لاوه کشف و در سال ۱۹۱۳ توسط ویلیام هنری و ویلیام لورنتس برآگ برای بررسی بلورها به کار گرفته شد. بررسی کمی این آرایش مستلزم آن است که طول موج پرتوهای X معلوم باشد. یک قانون پایه که روش پراش آنالیز ساختاری را شامل می‌شود، قانون برآگ است. قانون برآگ تعیین کنندهٔ شرایطی است که در آن خروج باریکه‌های پراشیدهٔ پرتو X از بلور امکان دارد. این روش بر پایه خواص طول موجی اشعه X استوار است. شبکهٔ بلوری یک مجموعه ای از صفحات موازی را تشکیل می‌دهد. هنگامی که موج فرودی به خانواده ای از صفحات می‌تابد برای هریک از این صفحه‌ها بازتابش آینه وار به ازای هر مقداری از θ اتفاق می‌افتد. مغزهای یونی اتم‌ها در یک بلور در فاصله کمی (چند آنگستروم) از یکدیگر قرار گرفته‌اند که نقش همین صفحات متوالی را بازی می‌کنند. بازتابش پرتو ایکس از این صفحات متوالی منجر به تداخل سازنده یا ویرانگر امواج می‌شود. در حالت تداخل سازنده (شکل ۲-۲) با استفاده از فرمول برآگ، رابطه (۲-۱) می‌توان فاصله صفحات بلوری را بدست آورد [۳۳].

^۱ Joint Committee of Powder Diffraction Society.



شکل ۲-۲: پراکندگی پرتو X از صفحات بلوری با فاصله‌ی d [۳۳].

$$2d_{hkl} \sin(\theta) = n \lambda \quad (1-2)$$

که در آن d_{hkl} فاصله‌ی بین صفحات موازی و متواالی در راستای (hkl) ، λ طول موج پرتو های فرودی، n مرتبه‌ی پراش (عدد صحیح) و θ زاویه‌ی برآگ است. اکنون با معلوم شدن d و با استفاده از رابطه‌های زیر که برای ساختارهای شش گوشی (۲-۲) و مکعبی (۳-۲) تعریف می‌شود می‌توان ثابت شبکه را یافت [۳۱].

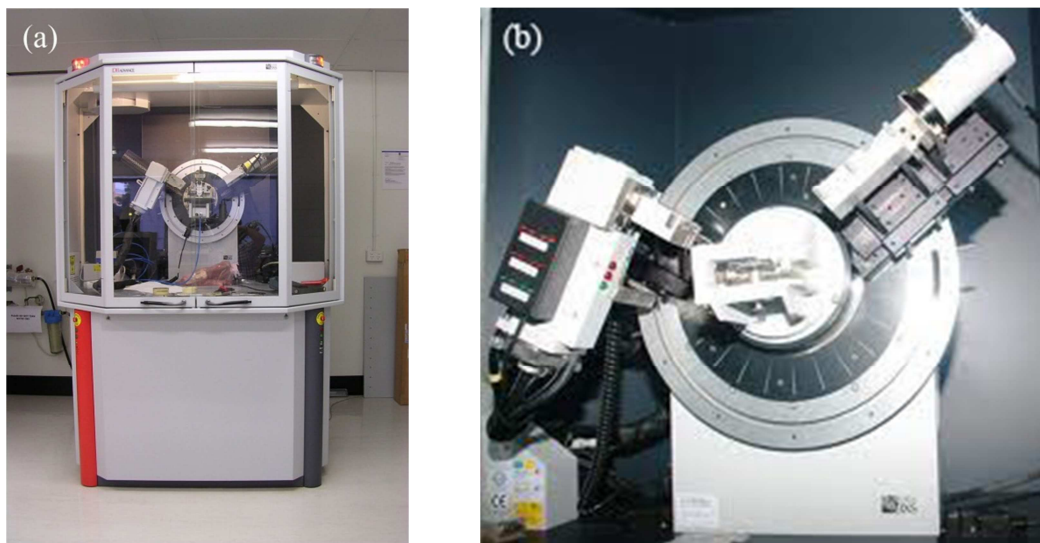
$$\frac{1}{d_{hkl}^2} = \frac{4}{3} \left[\frac{h^2 + kh + k^2}{a^2} \right] + \frac{l^2}{c^2} \quad (2-2)$$

$$\frac{1}{d_{hkl}^2} = \frac{h^2 + k^2 + l^2}{a^2} \quad (3-2)$$

شکل (۳-۲) تصویر دستگاه مورد استفاده را نشان می‌دهد. لایه‌های مورد بررسی در محل مورد نظر قرار گرفته و پرتویی با خط تابش $CuK\alpha$ برابر با طول موج $1/5406 \text{ \AA}^\circ$ به سطح نمونه فرود می‌آید. از آنجا که نگهدارنده لایه قابل چرخش است، پرتو فرودی می‌تواند در محدوده زاویه‌ای $70^\circ - 10^\circ$ از 2θ سطح لایه نازک را جاروب کند. متوسط ابعاد بلورک‌ها (D) می‌تواند با استفاده از فرمول شرر محاسبه شود (رابطه ۴-۲) [۱۱].

$$D = \frac{0.9\lambda}{\beta \cos \theta} \quad (4-2)$$

که در آن λ طول موج پرتو ایکس و β بزرگی تمام پهنا در نیمه بیشینه (FWHM)^۱ و θ زاویه پراش برآگ است.



شکل ۳-۲: (a) تصویری از دستگاه پراش پرتو X مدل Bruker – AXS در دانشگاه دامغان.(b) محل قرار گرفتن نمونه.

از نتایج مربوط به آنالیز ساختاری نمونه ها ، می توان کمیت های دیگری مانند کرنش (ϵ) و چگالی در رفتگی (δ) را محاسبه کرد . کمیت کرنش (ϵ) که از بزرگی تمام پهنا در نیمه بیشینه قله های متعلق به طیف XRD نمونه ها بدست می آید با رابطه $\epsilon = \frac{\beta \cos \theta}{4}$ [۴۱] بیان می شود [۴۱].

$$\epsilon = \frac{\beta \cos \theta}{4} \quad (5-2)$$

همچنین چگالی در رفتگی ها (δ) که به عنوان طول خطوط در رفتگی ها بر واحد حجم بلور تعریف می شود از رابطه $\delta = D / 2 \tan \theta$ بدست می آید که در آن D ، ابعاد بلورک نمونه است [۴۱].

^۱ Full Width at Half Maximum.

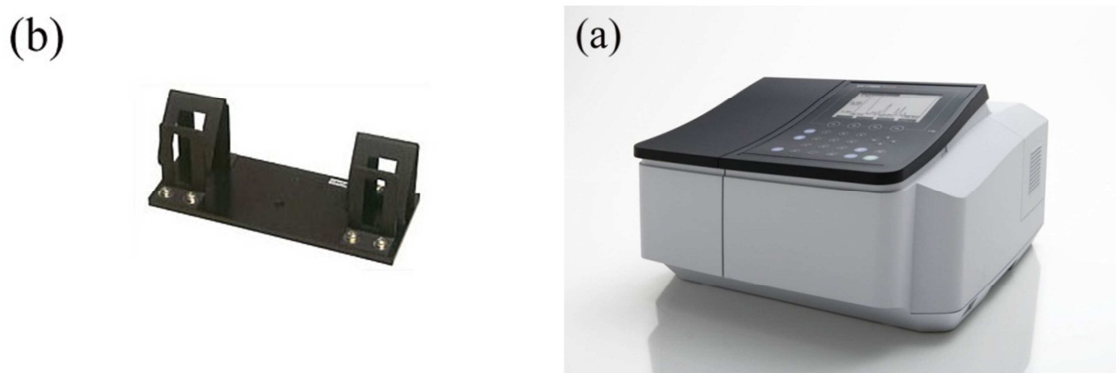
$$\delta = \frac{1}{D^2} \quad (6-2)$$

۴-۲ طیف نگاری عبوری (مشخصه یابی اپتیکی)

۱-۴-۲ طیف نگاری فرابنفش - مرئی - فروسرخ نزدیک (UV-Vis -NIR)^۱

طیف نگار نوری دستگاه نسبتا ساده ای جهت اندازه گیری طیف عبور و بازتاب یک نمونه است.

دستگاه مورد استفاده ما در شکل ۴-۲ نشان داده شده است. این دستگاه شامل دو جایگاه، یکی برای نمونه لایه نشانی شده (مرجع) و دیگری برای شاهد (زیرلایه به تنها یی) در گستره طول موجی nm ۳۰۰-۱۱۰۰ با گام های ۱ نانومتری می باشد. پس از پردازش داده ها، دستگاه، ضرایب عبوری و بازتابی نمونه مرجع را نسبت به نمونه شاهد بدست می دهد



شکل ۴-۲ : دستگاه اسپکتروفوتومتر مدل Shimadzo (UV-Vis , 1800 دانشگاه شاهروود (a). جایگاه

های قرار گیری نمونه های مرجع و شاهد برای تعیین ضریب عبوری (b).

با استفاده از داده های طیف عبور و بازتاب نمونه ها می توان برخی خصوصیات فیزیکی ماده از قبیل ضریب جذب و گاف نواری ماده را محاسبه کرد.

۲-۴-۲ تعیین ضریب جذب

هنگامی که پرتو الکترومغناطیسی به جسم برخورد می کند، بخشی از پرتو از جسم عبور می

¹ Ultraviolet-visible-Near Infra Red

کند، بخشی بازتاب شده و بقیه جذب ماده می شود. برای تعیین ضریب جذب (α) در یک لایه نازک می توان از رابطه لامبرت استفاده کرد [۱۱].

$$\alpha = \frac{1}{d} \ln \left(\frac{(1-R)^2}{T} \right) \quad (7-2)$$

که در آن d ضخامت لایه (cm)، T و R به ترتیب ضرایب عبور و بازتاب نمونه را نشان می دهد.

۳-۴-۲ گاف نواری

هرگاه انرژی فوتون فروودی ($h\nu$) از انرژی گاف نواری بیشتر یا برابر باشد، الکترون ها از نوار ظرفیت به حالت های خالی در نوار رسانش برانگیخته شده و این انرژی جذب می شود، اما اگر انرژی فوتونها کمتر از این حد باشند از ماده عبور می کنند. فرآیند جذب در نیمرسانانها به نوع گاف نواری (مستقیم یا غیرمستقیم) ماده بستگی دارد. برای ساختار نواری سهمی، رابطه ضریب جذب (α) با گاف نواری ماده طبق فرمول (۸-۲) بیان می شود [۱۱].

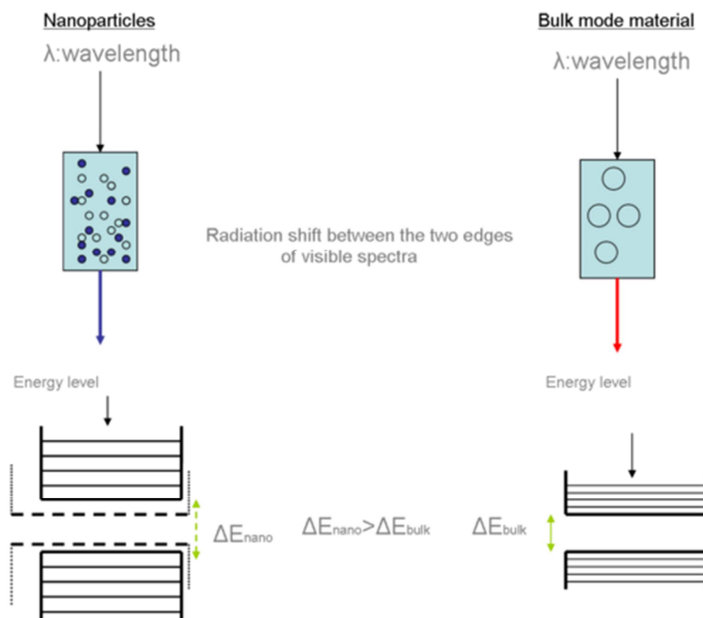
$$(\alpha h\nu) = A(h\nu - E_g)^m \quad (8-2)$$

که در آن A مقداری ثابت و در صورتی که گاف نواری لایه مورد نظر مستقیم باشد، $m=0.5$ و در صورت غیر مستقیم بودن، $m=2$ خواهد بود. به کمک این معادله می توان با رسم منحنی $(\alpha h\nu)^m$ بر حسب ($h\nu$) و تعیین موقعیت برونویابی شده داده ها در انرژی های بالا با محور افقی ($\alpha h\nu=0$)، مقدار گاف نواری را برای هر نمونه به دست آورد [۱۱].

عوامل گوناگونی می تواند بر گاف نواری ماده نیمرسانان تاثیر بگذارند از آن جمله می توان به پدیده های محدودیت کوانتمی و دنباله نواری ناشی از ناخالصیها و ناراستیهای بلوری اشاره کرد. در ادامه به اختصار به معرفی این پدیده ها پرداختیم.

الف- محدودیت کوانتمی

اثر محدودیت کوانتومی در مواد هنگامی قابل مشاهده است که ابعاد ذرات تشکیل دهنده لایه با اندازه طول موج دوبروی وابسته به الکترون‌ها قابل مقایسه باشد. هنگامی که مواد در این ابعاد کوچک هستند، خواص اپتیکی و الکتریکی آنها تفاوت اساسی نسبت به مواد کپه‌ای دارند [۵۶]. با کاهش ابعاد، نوعاً در مقیاس کوچکتر از ۵۰ نانومتر، طیف انرژی پیوسته تبدیل به ترازهای گسسته انرژی شده و در نتیجه گاف نواری که وابسته به ابعاد ذره در این حالت می‌باشد نسبت به گاف نواری ماده کپه‌ای افزایش می‌یابد (شکل ۵-۲). بدین ترتیب کاهش ابعاد ذرات منجر به تغییر طول موج جذبی (و یا گسیلی) به سوی طول موج‌های کوتاه‌تر (انتقال به سوی آبی) می‌گردد.



شکل ۵-۲ : مقایسه ترازهای انرژی بین دو لبه نواری مواد در مقیاس‌های کپه‌ای و نانو ناشی از اثر محدودیت کوانتومی [۵۶].

ب - ترازهای دهنده و گیرنده تشکیل دهنده لبه‌های نواری

در یک بلور واقعی ناکاملی‌هایی وجود دارد که ممکن است به صورت نواقص ذاتی (تهی جاهای، نواقص پاد- نقطه‌ای^۱ و...) بوده و یا ناکاملی‌های غیرذاتی (ناخالصی‌های شیمیایی^۱) در ساختار بلوری

^۱Anti-site Defects

وارد شوند. وجود ناخالصی ها و ناکاملی ها سبب ایجاد ترازهای انرژی در گاف نواری ماده می‌گردد.

این ترازها می‌توانند نقش ترازهای دهنده یا گیرنده الکترونی را به عهده داشته باشند.

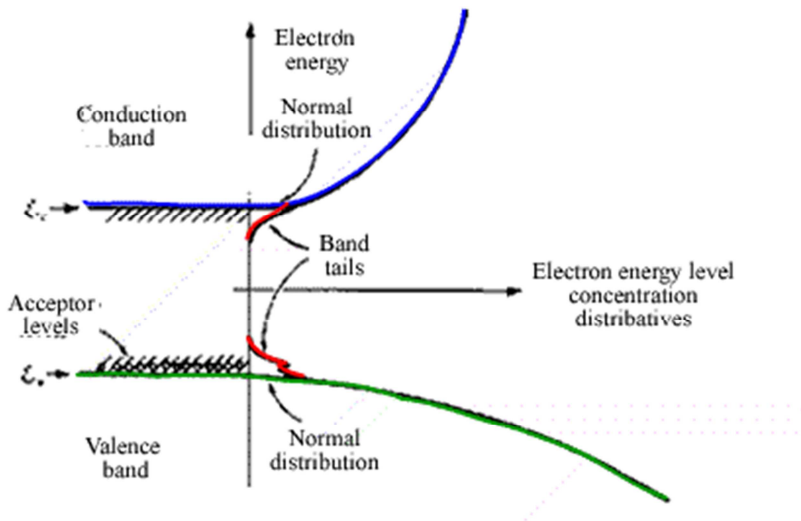
ترازهای انرژی E_a (انرژی یونش پذیرنده) از لبه نوار ظرفیت (E_V) و تراز انرژی E_d ، انرژی یونش بخشنده، از لبه نوار E_c اندازه گیری می‌شود [۵۷]. وجود چنین ترازهایی در حد تراکم های بالا می‌تواند منجر به شکل گیری دنباله نواری و در نتیجه کاهش گاف نواری در نیمرسانا شود.

ج- دنباله نواری^۲ در نیمرساناهای آمورف

برای یک شبکه کاملاً متناوب توابع موج الکترونی در سراسر ماده پیوسته اند و انرژی های مجاز آنها در نوارهای انرژی معینی که با گاف های انرژی ممنوع از یکدیگر جدا می‌شوند قرار دارند. اگر پتانسیل با تناوب کاتوره ای، مانند مواد آمورف، برقرار باشد تصویر نواری هنوز به قوت خود باقی می‌ماند، زیرا تاثیر عمده بر الکترون از نظم کوتاه برد حاصل می‌شود و این نظم در مواد آمورف همچنان وجود دارد. این تناوب موضعی باز هم نوارهای انرژی مجاز و ممنوع ایجاد می‌کند. ولی غیبت نظم بلند برد، این اثر را دارد که لبه های نوارها را پهنه می‌کند و به صورت دنباله در می‌آورد (شکل ۶-۲) [۵۸].

¹ Chemical impurities

² Band tail



شکل ۶-۲: نمایش طرح دنباله نواری در جامدات آمورف [۵۸].

۵-۲ ضخامت سنجی نمونه ها

برای اندازه گیری ضخامت نمونه ها از دستگاه زبری سنج سورترونیک استفاده شد. برای استفاده از این دستگاه لازم است سطح نمونه شامل قسمت لایه نشانی شده و زیرلایه با یک پله تیز در سطح باشد. با قرار دادن پروب دستگاه بر روی زیرلایه، نوک پروب به طور تماسی از سطح زیرلایه شروع به حرکت کرده و در پله تیز (سطح مشترک لایه و زیر لایه) اختلاف ارتفاع را اندازه گیری می کند. داده های حاصل از اندازه گیری، با استفاده از نرم افزار دستگاه آنالیز و با استفاده از پروفایل نمودار مربوطه، می توان ضخامت لایه را با دقیقیت 20 nm تعیین نمود. شکل ۷-۲ دستگاه مورد نظر را نشان می دهد.

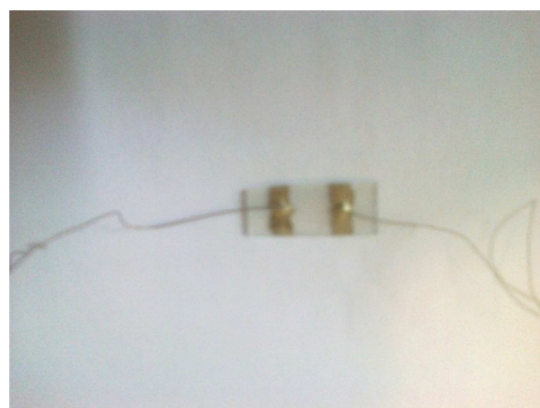


شکل ۷-۲: دستگاه اندازه گیری ضخامت نمونه ها در دانشگاه شاهروд.

۶-۲ مشخصه یابی الکتریکی

۱-۶-۲ مقاومت الکتریکی

با پوشاندن دو طرف نمونه با چسب نقره به طوری که سطحی از لایه به ابعاد $1 \times 1\text{cm}^2$ خالی بماند و سپس اتصال دو سیم نازک مسی مطابق شکل ۸-۲ می توان یک اتصال فلز - نیمرسانا ساخته و به وسیله‌ی آن با استفاده از دستگاه الکتروانباشت (شکل ۹-۲) رسانندگی نمونه را مورد بررسی قرار داد.



شکل ۸-۲ : اتصال فلز - نیمرسانا برای اندازه گیری رسانندگی نمونه ها

این دستگاه شامل مدهای مختلفی از جمله مد CV ، CPC ، CV و.....می باشد ما در کار خود از مد CV استفاده کرده ایم. تنظیمات دستگاه به این صورت است که ابتدا یک محدوده ای از پتانسیل E_1 تا E_2 را مشخص کرده و تعداد گام های این رویش و دفعات تکرار این چرخه را پتانسیل تعیین می کنیم. در ادامه با متصل کردن اتصالات الکتریکی دستگاه به پایانه های خروجی قطعه با اعمال ولتاژ در یک بازه‌ی مشخص، میزان جریان عبوری از نمونه‌ی خود را اندازه گیری می کنیم. می توان از تغییرات I بر حسب V یا رفتار الکتریکی (رفتار اهمی یا یکسو شوندگی) آن را دریافت و مقدار مقاومت ورقه‌ای (Ω/\square) از رابطه ۹-۲ و مقاومت ویژه ($\Omega\cdot\text{cm}$) از رابطه ۱۰-۲ را به ازای هر ولتاژ بدست آورد.

$$R_s = \frac{V}{I} \quad (9-2)$$

$$\rho = R_s t \quad (10-2)$$



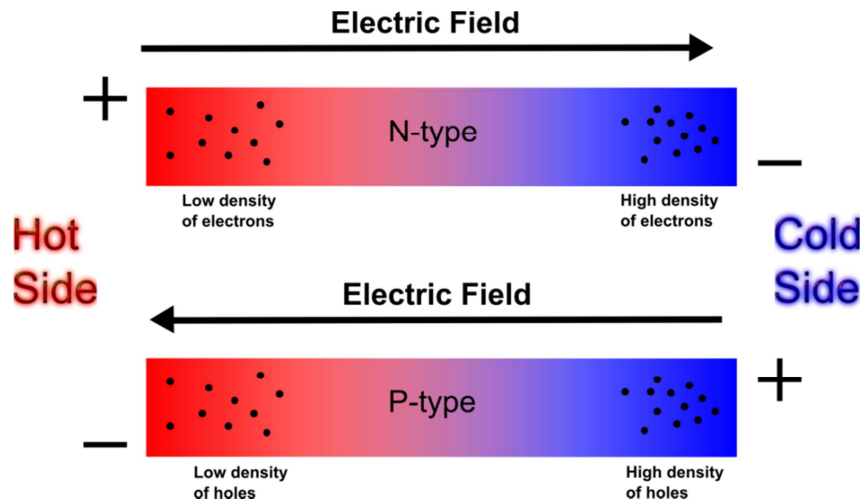
شکل ۹-۲: تصویر دستگاه الکترونیک (مدل + 2063 BHP شرکت به پژوه) به کار گرفته شده در

آزمایشگاه دانشگاه شاهroud

۲-۶-۲ اثر سیبک

اکسید تنگستن به دلیل داشتن مقاومت سطحی بسیار بالا تقریباً مانند یک عایق رفتار می‌کند به همین دلیل از لحاظ الکتریکی و ترموالکتریک کمتر مورد مطالعه قرار گرفته است. در این بخش به بررسی یکی از ویژگی‌های ترموالکتریک اکسید تنگستن یعنی اثر سیبک که در تحقیقات امروزی کمتر بدان پرداخته شده است می‌پردازیم.

اثر سیبک یا اثر ترموالکتریک (رابطه مستقیم تغییر ولتاژ نسبت به اختلاف دما) در سال ۱۸۲۱ توسط توماس جان سیبک کشف شد. وی دریافت که اگر یک گرadiان دمایی در دو انتهای یک فلز یا نیمرسانا که در یک مدار بسته قرار گرفته است ایجاد کنیم آنگاه یک میدان الکتریکی در دو سر قطعه ایجاد می‌شود. شکل ۱۰-۲ نحوه تشکیل این میدان و به دنبال آن اختلاف پتانسیل الکتریکی ایجاد شده را در دو نیمرسانای نوع n و نوع p نشان می‌دهد.

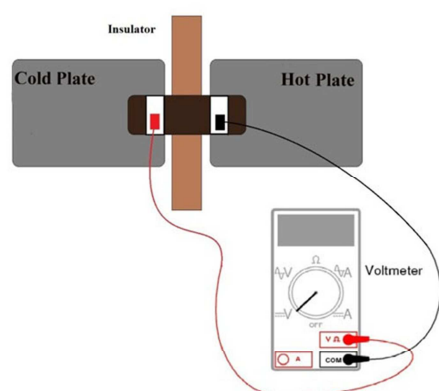


شکل ۱۰-۲: مکانیسم رخداده در اثر سیبیک در نیمرساناهای نوع n و p [۴۶].

بزرگی این میدان (E) و گرادیان دمایی حاضر در دو سر نمونه (∇T) توسط رابطه (۱۱-۲) [۴۵] :

$$E = S \nabla T \quad (11-2)$$

به هم مربوط می شوند که در آن S به ضریب سیبیک موسوم است. اساسا از اثر سیبیک می توان برای تعیین نوع حامل های اکثیریت در یک قطعه سود جست. شکل ۱۱-۲ طرح شماتیکی از نحوه اتصالات نمونه به یک ولت سنج در آزمایشگاه نشان می دهد [۴۷، ۴۶].



شکل ۱۱-۲: طرح شماتیکی از اثر سیبیک [۴۶].

٣ فصل سوم

جزئیات مراحل آزمایشگاهی رشد و تهیه می‌لایه‌های نازک و نانو

ساختارهای اکسید گنگستن به روش اسپری پایرو لیزری

۱-۳ مقدمه

رشد لایه های نازک و نانو ساختارها بخش عمدۀ ای از تحقیقات در زمینه فیزیک را به خود اختصاص می دهد. توجه بی نظیر دانشمندان به این بخش از علم فیزیک به دلیل کاربردهای فوق العاده و اثر انکار ناپذیر آن در پیشرفت زندگی بشر بوده است. روش های رشد لایه های نازک و نانوساختارها و کنترل آن از جمله عوامل کلیدی و موثر بر خواص و کیفیت این لایه ها بوده به طوری که مورفولوژی سطح، خواص ساختاری، خواص اپتیکی و الکترونیکی این لایه ها را تحت تاثیر قرار می دهد. حتی در روش های لایه نشانی یکسان می توان با ایجاد تغییر در پارامتر های لایه نشانی لایه هایی با خواص فیزیکی متفاوت تولید کرد. در این فصل روش های متفاوت لایه نشانی را به اختصار شرح داده و سپس به معرفی روش مورد استفاده در این پایان نامه یعنی روش اسپری پایرولیزیز و نیز جزئیات مراحل آماده سازی و رشد نمونه ها می پردازیم.

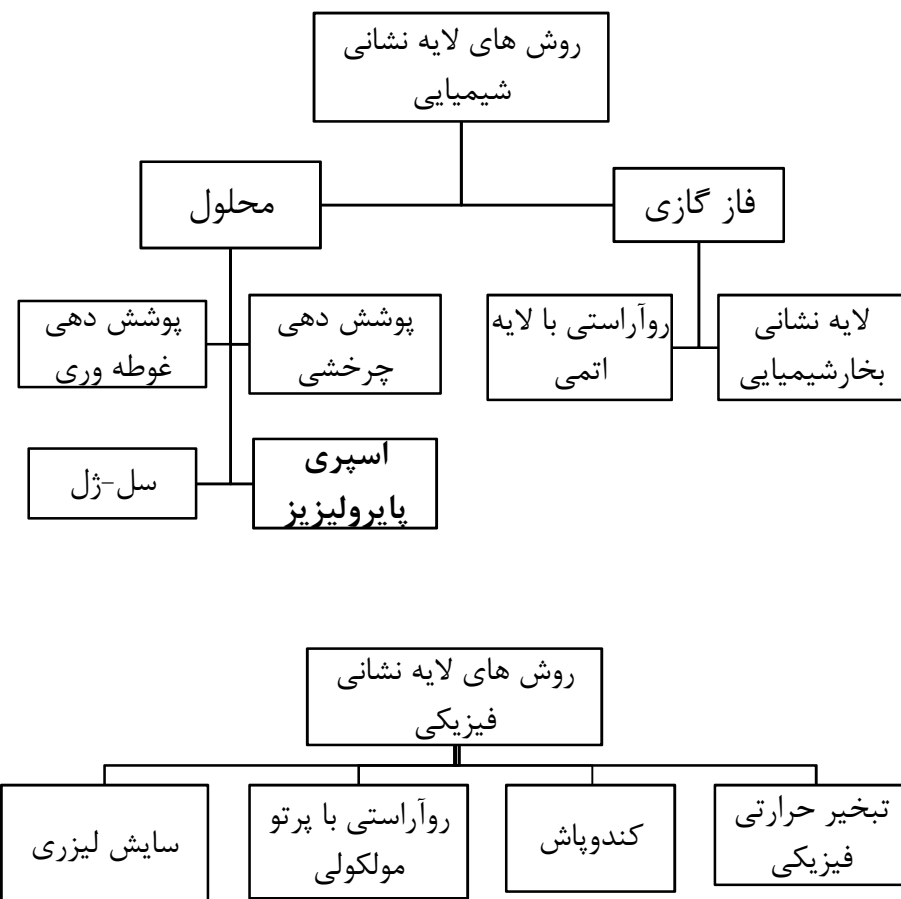
۲-۳ روش های سنتز و رشد لایه های نازک اکسید تنگستن

عمده روش های ساخت لایه های نازک بر دو مبنای فیزیکی و شیمیایی استوار است (شکل ۳-۱). در هر روش، کیفیت و شرایط لایه نازک متفاوت بوده و بسته به نوع کاربرد لایه نازک و شرایط مورد نظر، روش های مختلف مورد استفاده قرار می گیرد. در ادامه هر یک از این روشها به اختصار معرفی می شوند :

۱-۲-۳ روش های فیزیکی

قدیمی ترین روش پوشش دهی لایه های نازک، روش فیزیکی است که در سال ۱۸۵۷ توسط فارادی با تبخیر یک فیلامان فلزی انجام گرفت. این روش شامل دو روش می باشد که عبارتند از:

روش تبخیری^۱ و پراکنش یا کندوپاش^۲.



شکل ۳: روش های رشد شیمیایی و فیزیکی [۲۹].

- **روش تبخیری**: در این روش ماده مورد نظر در داخل یک بوته درون محفظه ای در شرایط خلا مشخص قرار می گیرد سپس با اعمال حرارت ماده تبخیر شده و بخار حاصل بر روی زیرلایه رسوب گذاری می شود. در این روش، نوع و شکل فیلامان گرم کننده روی سرعت پوشش دهی و خصوصیات لایه تشکیل شده تاثیر می گذارد. در انتخاب فیلامان بایستی دقیق داشت که فشار بخار فیلامان بایستی از فشار بخار هدف مورد نظر بیشتر باشد تا به هنگام تبخیر هدف، فیلامان همراه با آن تبخیر

¹ Evaporation

² Sputtering

نشود.

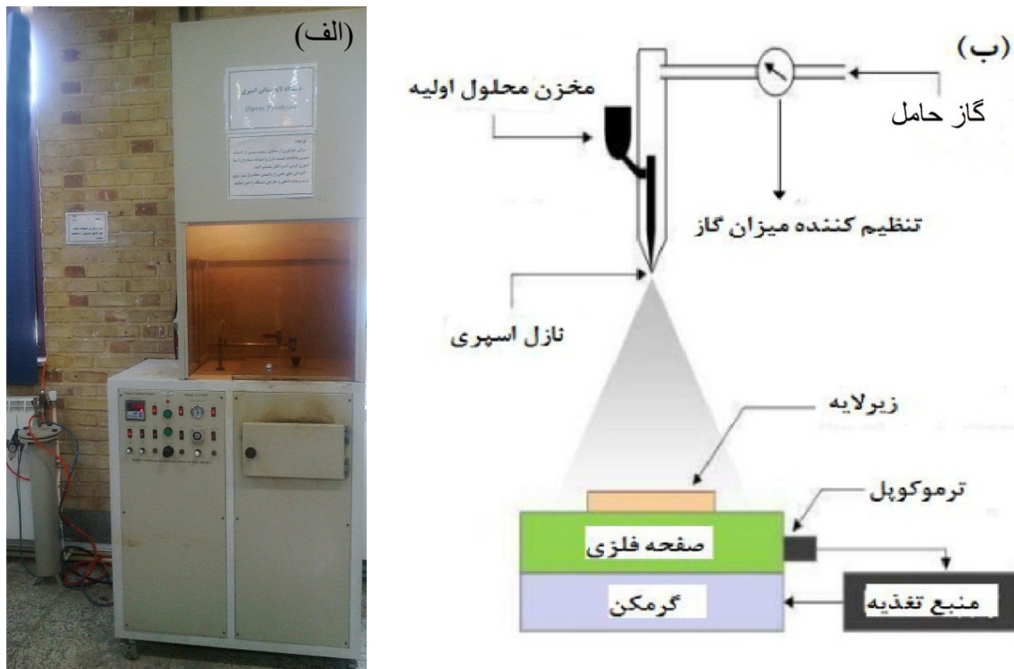
-روش کند و پاش : در این روش برخورد یون های سنگین و بی اثر مثل آرگون که در یک میدان الکتریکی شتاب پیدا کرده اند، باعث کندن اتمهای هدف از سطح و تبخیر آن درون محفظه خلا می شود. سپس این اتم های پراکنده شده بر روی سطح زیرلایه، رسوب گذاری می شوند. در این روش فشار محفظه، ولتاژ و جریان عبوری، نوع و شکل هندسی هدف، شرایط سطحی زیرلایه و فاصله میان هدف و زیرلایه از جمله عوامل مهم و تاثیرگذار لایه نشانی می باشد.

۲-۲-۳ روش های شیمیایی

روش لایه نشانی شیمیایی در دو فاز گازی و محلول انجام می شود. چند مورد از این روش ها عبارتند از : سل - ژل، تبخیر حرارتی، اسپری پایرولیزیز و ...، اگر چه این تکنیک ها ساده و کم هزینه اند، اما عدم امکان کنترل مناسب بر پارامترهای لایه نشانی را می توان از ایراد های وارد بر این روش ها دانست. در ادامه به معرفی روش اسپری پایرولیزیز و جزئیات این روش برای تهیه لایه های نازک می پردازیم.

۳-۳ دستگاه اسپری پایرولیزیز

این دستگاه به منظور اهدافی از جمله تهیه لایه های نازک و نانوساختار های گوناگون طراحی و ساخته شده است. در این سیستم برای تهیه لایه نازک از محلول شیمیایی استفاده می شود. این دستگاه با ایجاد حرارت بالا بر روی یک صفحه داغ که محل قرار گیری زیرلایه ها شرایط را برای تجزیه شیمیایی محلول اسپری شده فراهم می سازد (شکل ۳-۳). تکنولوژی ساده به کار گرفته شده در این دستگاه در مقایسه با دیگر روش های فیزیکی، روشی ارزان بوده که نیازی به خلا نداشته و امکان لایه نشانی در سطوح بزرگ را فراهم می سازد.



شکل ۲-۳ : (الف) دستگاه اسپری پایرولیزیز (Spray Coating System.S.C.S.86) در دانشگاه شهرورد،

(ب) طرح شماتیک از دستگاه اسپری پایرولیزیز.

این دستگاه از بخش های مختلفی تشکیل شده است که مهمترین آنها به شرح زیر است :

الف) مخزن محلول: مخزنی است که محلول اسپری را با حجم معین در خود جای می دهد.

ب) تنظیم کننده فشار گاز حامل: وسیله ای برای تنظیم فشار گاز حامل.

ج) نازل اسپری: نازل اسپری دقیقا در زیر مخزن استوانه ای محلول اولیه قرار گرفته و محلول تحت

فشار از این محل به صورت پودر بر روی سطح زیر لایه اسپری می شود.

د) صفحه فلزی داغ: دمای این صفحه که همان دمای زیرلایه است از طریق مقدار جریان الکتریکی

عبوری از المنت های تعییه شده در قسمت زیرین این صفحه تنظیم می گردد. علاوه بر این صفحه مورد نظر قابل چرخش با سرعت زاویه ای مورد نظر می باشد.

قبل از شروع اسپری باید صفحه‌ی داغ و دهانه نازل را توسط استون و اتانول کاملاً تمیز کرد تا ذرات مربوط به آزمایش‌های قبلی بر روی لایه تاثیر نگذارد.

۱-۳-۳ آماده سازی زیرلایه

از آنجا که زیرلایه به عنوان نگهدارنده مکانیکی لایه نازک عمل می‌کند، باید به گونه‌ای انتخاب شود که از استقامت مکانیکی کافی برخوردار باشد. نکته مهم آنکه سطح مشترک لایه و زیرلایه، بایستی عاری از آلودگی و ناخالصی باشد.

در این تحقیق ما از شیشه با ابعاد $75 \times 25 \times 1 \text{ mm}^3$ به عنوان زیرلایه استفاده کرده‌ایم. فرآیند تمیز کردن زیرلایه‌ها به شرح زیر انجام شده است: ابتدا زیرلایه‌ها را با آب مقطر و مایع ظرفشویی شسته و سپس در همین محلول به جوش آورده‌یم. سپس شیشه‌ها را در آب مقطر جوشان قرار داده و به دنبال آن زیرلایه‌ها را در محلول ۶۰ درصد اتانول و ۴۰ درصد استون قرار داده و سرانجام زیرلایه‌ها در دستگاه آلتراسونیک به مدت ۱۶ دقیقه قرار داده و با گاز بی اثر نیتروژن خشک کرده‌یم.

۲-۳-۳ تهییه محلول مورد نیاز برای تهییه نمونه‌ها

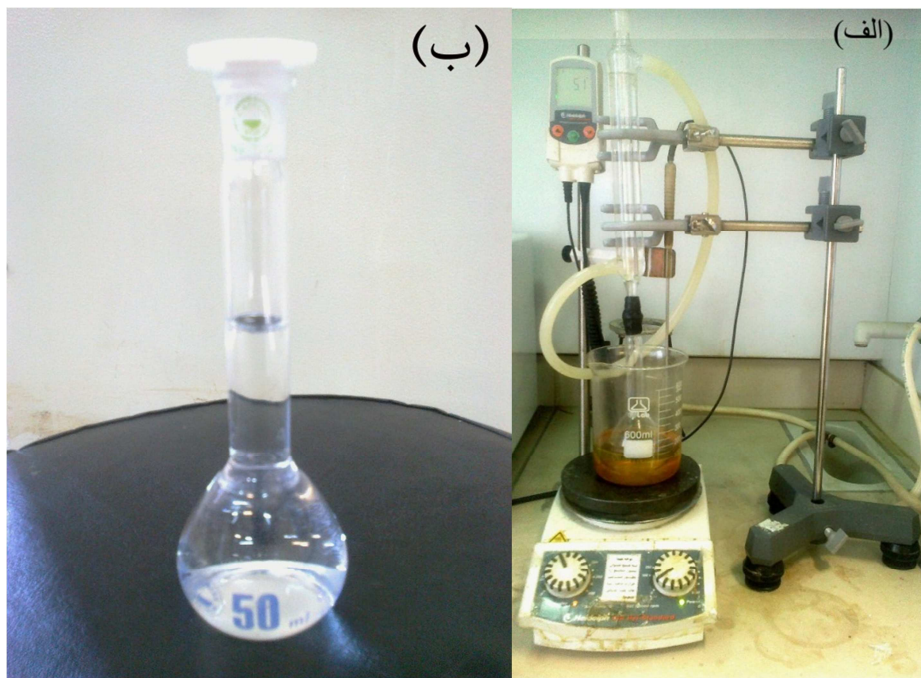
برای تهییه لایه‌های نازک اکسید تنگستن، از محلول تنگستات آمونیوم $(\text{NH}_4)_2\text{WO}_4$ استفاده شد. مواد اولیه لازم جهت رشد لایه‌های نازک و نانو ساختار‌های اکسید تنگستن در این روش، پودر اکسید تنگستن (WO_3) - شرکت مرک^۱ آلمان با خلوص ۹۹/۹ درصد) - و همچنین محلول آمونیاک ۹۹/۹۹٪ استفاده شد. برای تهییه این ماده اولیه، پودر اکسید تنگستن خالص (۹۹/۹۹٪ آمونیاک در حال جوش اضافه شد. سپس دما بمرور تا ۹۰ °C درصد) و ۱۰ میلی لیتر آب مقطر به آمونیاک افزایش یافت تا پودر مورد نظر حل شود. در تمام این مراحل به دلیل فرار بودن آمونیاک لازم است از دستگاه رفلکس استفاده شود. محلول حاصل با اضافه کردن آب مقطر به حجم ۵۰ میلی لیتر رسیده

¹ Merck

و تنگستات آمونیوم به دست می آید. نتیجه افساندن محلول تنگستات آمونیوم مطابق واکنش های زیر تولید اکسید تنگستن بر روی زیر لایه داغ است [۳۰].



مراحل تهیه محلول تنگستات آمونیوم در شکل (۳-۳) نشان داده شده است. همان گونه که ملاحظه می شود محلول نهایی بایستی کاملاً شفاف باشد.



شکل ۳-۳ : (الف) مرحله‌ی حل شدن پودر WO_3 در حلال آمونیاک در حال جوش بر روی هیتر، (ب) محلول تنگستات آمونیوم بدست آمده.

برای آماده سازی محلول با یک مولاریته معین ابتدا باید جرم ماده پودری اولیه مورد نیاز را بدست آورد. برای مثال برای تهیه 50 ml محلول اولیه $M = 0.115 \text{ g}$ پودر اکسید تنگستن نیاز داریم که به صورت زیر محاسبه می شود:

$$50 \text{ cc} \times (0.01 \text{ mol}/1000 \text{ cc}) \times (231/84 \text{ g/mol}) = 0.115 \text{ gr}$$

در این پایان نامه مولاریته های متفاوتی از محلول مورد نظر با محاسبه از طریق همین فرمول ساخته شده است.

۳-۳-۳ پارامترهای لایه نشانی

ما در این تحقیق به بررسی عوامل گوناگون بر خواص فیزیکی لایه ها پرداخته ایم. از جمله این پارامترها عبارتند از :

(الف) غلظت محلول (مولاریته) : ۰.۱ ، ۰.۰۵ ، ۰.۰۷ ، ۰.۰۸ M. (بررسی شده در بخش ۲-۴)

(ب) آهنگ لایه نشانی : ۱ ، ۳ ، ۷ ml/min و بازپخت در دمای ۵۰۰°C به مدت ۲ ساعت. (بررسی شده در بخش ۳-۴)

(ج) آلایش لیتیوم (Li) : نسبت وزنی [Li]/[W] : ۰.۱ ، ۰.۱۰ ، ۰.۱۵٪. (بررسی شده در بخش ۴-۴)

(د) آلایش مس (Cu) : نسبت وزنی [Cu]/[W] : ۰.۰۲ ، ۰.۰۴ ، ۰.۰۶٪. (بررسی شده در بخش ۴-۴)

(۵)

فصل حمارم

۴

نتایج و بحث وابسته به سترسیماتیک لایه‌های نازک و

نانوساختارهای اکسید گینکوستن

۱-۴ مقدمه

در این پژوهش اثر پارامترهای مختلف بر خواص فیزیکی لایه های نازک و نانوساختارهای اکسید تنگستن تهیه شده به روش اسپری پایرولیزیز مورد مطالعه قرار گرفته است. پارامترهای مورد بررسی در این پژوهه شامل مطالعه‌ی اثر غلظت محلول، آهنگ لایه نشانی، بازپخت لایه های نازک، بررسی اثر نوع زیر لایه و اثر افزایش ناخالصی های Li و Cu به WO_3 است. آنالیز های مورد استفاده در این تحقیق شامل بررسی مورفولوژی سطح نمونه‌ها (FESEM)، بررسی خواص ساختاری آنها از طریق طیف پراش پرتو ایکس (XRD)، بررسی خواص اپتیکی توسط طیف نگاری های عبوری و بازتابی و خواص الکتریکی و ترمومالکتریکی نمونه‌ها می‌باشد.

۲-۴ بررسی اثر غلظت (مولاریته) محلول بر خواص فیزیکی لایه های نازک

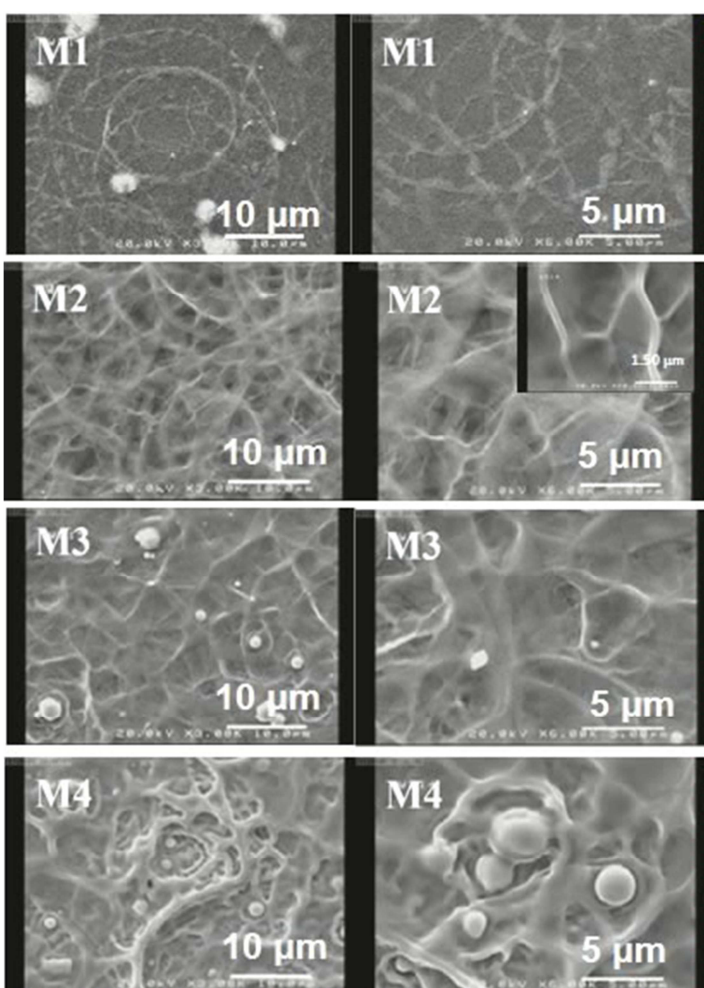
اکسید تنگستن

در سنتز لایه های نازک و نانوساختارهای WO_3 میزان شفافیت نمونه های تهیه شده و تشکیل نانو ساختارهای ایده‌آل مخصوصاً در موارد کاربردی از اهمیت چشمگیری برخوردار است. از این رو مولاریته یا غلظت محلول که سهم عمده‌ای را در کنترل رشد نانوساختارها بر عهده دارد یکی از مهمترین پارامترهای قابل بررسی این ماده است. لایه‌های نازک اکسید تنگستن از محلول اولیه آمونیوم تنگستات که جزئیات مربوط به شرایط آزمایشگاهی تهیه‌ی این محلول و تهیه نمونه‌ها به روش اسپری پایرولیزیز بر روی زیر لایه شیشه در دمای $400^{\circ}C$ در بخش ۲-۳ آمده است. عملیات افشاردن ۵۰ cc محلول آمونیوم تنگستات برای نمونه‌های M_1, M_2, M_3 و M_4 با غلظت‌های به ترتیب $0.1, 0.05, 0.07$ و $0.01 M$ با آهنگ $5 ml/min$ انجام شد.

مطالعه‌ی مورفولوژی سطح

به منظور مطالعه مورفولوژی سطح نمونه‌ها از تصاویر FESEM استفاده کردیم. شکل ۱-۴

تصاویر بدست آمده را در دو مقیاس ۵ و ۱۰ μm نشان می‌دهد. در تصویر مربوط به نمونه M₁ شکل گیری رشته‌های خمیده‌ی مشبک و حلقه‌های در هم تنیده تنگستن با خوش‌های دوار را مشاهده می‌کنیم که به مرور با افزایش غلظت محلول ضمن افزایش در هم تنیدگی، ضخامت رشته‌ها افزایش یافته و پیوستگی و تراکم خود را از دست می‌دهند، به طوری که پهنه‌ای آنها از ۳۰۰ nm تا حدود ۱ μm افزایش یافته‌اند. به منظور وضوح بیشتر در نمونه M₂ تصویر الصاقی با بزرگنمایی ۱/۵ میکرون نیز قرار داده شده است.

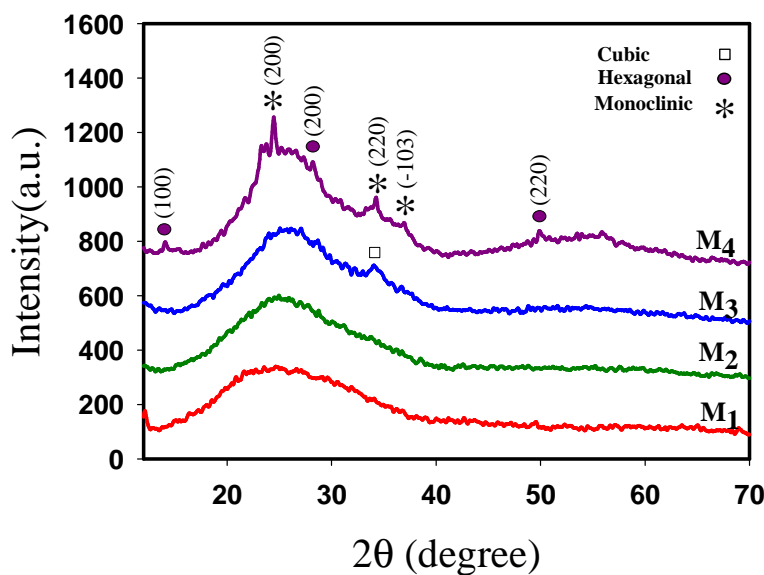


شکل ۱-۴: تصاویر FESEM نمونه‌های تهیه شده به ترتیب در غلظت‌های ۱/۱ M، ۰/۰۷ M، ۰/۰۵ M و ۰/۰۱ M.

مطالعه‌ی خواص ساختاری

برای بررسی ویژگی‌های ساختاری نمونه‌ها از الگوهای پراش پرتو X استفاده شده است.

شکل ۲-۴ طیف های XRD نمونه های رشد یافته را نشان می دهد. نتایج بدست آمده از این طیف حاکی از آن است که دو نمونه M_1 و M_2 تهیه شده در غلظت های پایین طبیعت آمورف داشتند و دو نمونه با غلظت های بالاتر $0.1 / 0.05 / 0.07$ متر مربع به صورت M_3 و M_4 (نمونه های M_3 و M_4) به ترتیب در نمونه اول به صورت بس بلوری در فاز مکعبی (که با مربع های تو خالی نمایش داده شده اند) با ثابت های شبکه ای A° و در نمونه دوم به صورت دو فازی مونوکلینیک (ستاره) با ثابت های شبکه ای $c = b = a = 7/52$ و $a = 7/29$, $b = 7/53$, $c = 7/67 A^\circ$ و ششگوشی (دایره های تو پر) با ثابت های شبکه ای $a = 7/29$, $b = 7/29$, $c = 3/89 A^\circ$ رشد پیدا کرده اند. چنانچه پیداست جهتگیری ترجیحی در نمونه M_3 به صورت بسیار ضعیف در امتداد صفحه (220) و در نمونه M_4 در امتداد صفحه های (200) می باشد. نکته قابل ذکر آنکه با افزایش غلظت محلول، شدت نسبی دیگر قله ها در نمونه های بس بلوری به مرور رو به افزایش گذارده اند دلیل این افزایش می تواند ناشی از افزایش ضخامت لایه ها باشد.



شکل ۲-۴: طیف های XRD نمونه های تهیه شده به ترتیب در غلظت های $0.1 / 0.05 / 0.07$ متر مربع

با استفاده از نظریه های وابسته به ساختار بلوری لایه ها می توان به اطلاعات مهمی از جمله

فاصله‌ی بین صفحات بلوری (رابطه‌ی ۱-۲)، ابعاد بلورک‌ها (رابطه‌ی ۴-۲)، میزان کرنش (رابطه‌ی ۵-۲) و نیز چگالی در رفتگی‌ها (رابطه‌ی ۶-۲)، پی‌برد (جدول ۱-۴). چنانچه پیدا‌ست مقدار فاصله‌ی بین صفحات با افزایش غلظت محلول افزایش یافته است که با توجه به تفاوت موقعیت زاویه‌ی ای قله‌های ترجیحی (۲۲۰) در نمونه M_3 و (۲۰۰) در نمونه M_4 ، و نیز نوع ساختار بلوری (به ترتیب مکعبی و مونوکلینیک) در این دو نمونه امری قابل انتظار است. همچنین با افزایش غلظت محلول ابعاد بلورک‌ها افزایش، میزان کرنش‌های بلوری و در رفتگی‌ها کاهش یافته است که می‌تواند به معنی بهبود کیفیت بلوری لایه باشد که با روند بلوری شدن نمونه‌ها و افزایش شدت قله‌ها در این نمونه‌ها هماهنگی دارد.

جدول ۱-۴: نتایج وابسته به تحلیل داده‌های XRD نمونه‌های (M_3 و M_4) با در نظر گرفتن جهتگیری

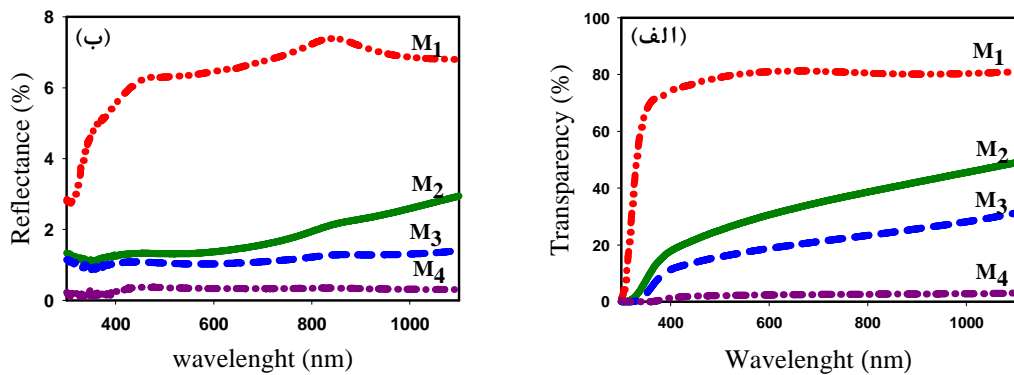
ترجیحی (۲۲۰) در نمونه M_3 و (۲۰۰) در نمونه M_4

| $\delta (\times 10^{-3}) \text{ (nm)}^{-1}$ | $\varepsilon (\times 10^{-3})$ | D (nm) | $d_{(hkl)} \text{ (nm)}$ | نمونه |
|---------------------------------------------|--------------------------------|--------|--------------------------|-------|
| ۱/۱۲ | ۱/۱۶ | ۲۹/۸۶ | ۰/۲۶۲ | M_3 |
| ۰/۹۷ | ۱/۰۹ | ۳۲/۰۲ | ۰/۳۶۵ | M_4 |

بررسی خواص اپتیکی

شکل (۳-۴) طیف‌های عبور اپتیکی و بازتاب برای این چهار نمونه را در بازه طول موجی ۳۰۰ nm تا ۱۱۰۰ nm نشان می‌دهد. میانگین عبور نور در ناحیه مریبی ($\lambda \approx ۵۵۰ \text{ nm}$) در نمونه M_1 در حدود ۸۰٪، در نمونه M_2 در حدود ۲۷٪، در نمونه M_3 در حدود ۱۸٪ و در نمونه M_4 در حدود ۳٪ است. این نتایج نشان‌گر آن است که با افزایش غلظت محلول اولیه نمونه رشد یافته کدرتر شده است و میزان نور عبوری از لایه‌ها بسرعت کاهش یافته است. این کاهش سریع در طیف عبور می‌تواند به علت افزایش ضخامت لایه‌ها (به ترتیب ۲۵۰، ۲۶۵، ۲۸۰ و ۳۰۰ nm) و همچنین خواص فلزگونی نمونه‌ها که در بخش خواص الکتریکی بدان اشاره شده است باشد [۹]. طیف بازتاب این نمونه‌ها در ناحیه

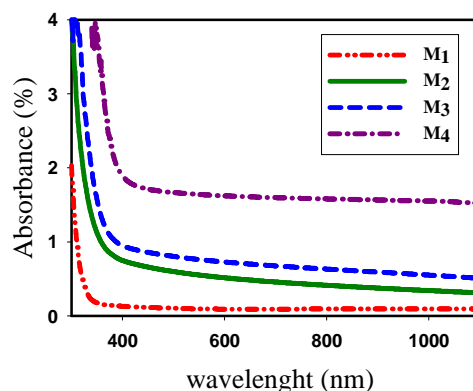
مرئی به ترتیب در حدود $6, 1/5, 1$ و $3/0$ درصد تخمین زده می شود.



شکل ۳-۴: طیف های عبوری (الف) و طیف های بازتاب (ب) نمونه های تهیی شده به ترتیب در غلظت های

(۰/۱ M ، ۰/۰۷ ، ۰/۰۵۰/۰۱)

اکنون به کمک داده های وابسته به طیف عبور و بازتاب لایه ها و ضخامت آنها می توان ضریب جذب نمونه ها را به کمک قانون پیر-لامبرت (رابطه ۲-۷) تعیین نمود. شکل ۴-۴ ضریب جذب نمونه ها را بر حسب تابعی از طول موج نشان می دهد. این نتایج حاکی از جذب بالا ($\approx 10^{\circ} \text{ cm}^{-1}$) نمونه ها در ناحیه طول موجی فرابنفش ($\lambda \leq 400 \text{ nm}$) می باشد.



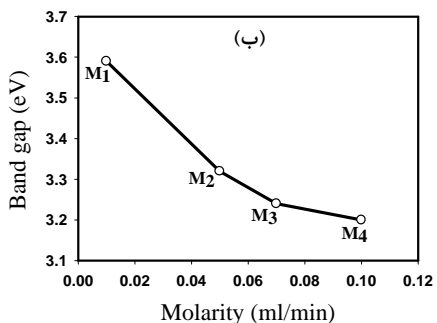
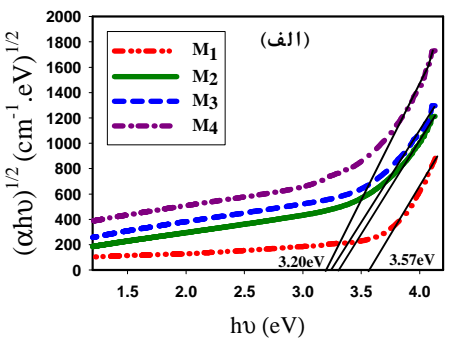
شکل ۴-۴: ضریب جذب اپتیکی بر حسب طول موج برای نمونه های تهیی شده به ترتیب در غلظت های

(۰/۱ M ، ۰/۰۷ ، ۰/۰۵۰/۰۱)

چنانچه پیداست نمونه M_1 در طول موج 340 nm دارای $\lambda \approx 340 \text{ nm}$ لبه جذب بسیار تیز بوده و از

جذب بالایی در ناحیه فرابخش برخوردار است. با افزایش غلظت محلول ضمن انتقال منحنی جذب به سوی بالا، لبه جذب به طرف طول موجه‌ای بلندتر جابجا شده است. این تغییرات می‌تواند نشان دهنده‌ی تشکیل دنباله‌ی نواری در داخل گاف نواری باشد که به نوبه‌ی خود بر مقدار گاف نواری ماده، که در ادامه به آن پرداخته ایم، تاثیر می‌گذارد.

با معلوم شدن طیف جذب لایه‌ها می‌توان بزرگی گاف نواری غیر مستقیم (بخش ۲-۴-۳) و با استفاده از رابطه‌ی (۲-۸) و با رسم شیب نمودار $(\alpha h\nu)^{1/2}$ (به ازای m مساوی $0/5$) بر حسب $h\nu$ و تعیین محل بروندیابی داده‌ها در ناحیه انرژی‌های بالا با محور افقی ($\alpha h\nu=0$) بدست آورد. این محاسبات در شکل ۵-۴-(a) و نتایج بدست آمده مربوط به تغییرات بزرگی گاف نواری غیر مستقیم نمونه‌ها به ازای غلظت‌های متفاوت محلول اولیه اسپری در شکل ۵-۴-(b) نشان داده شده است.



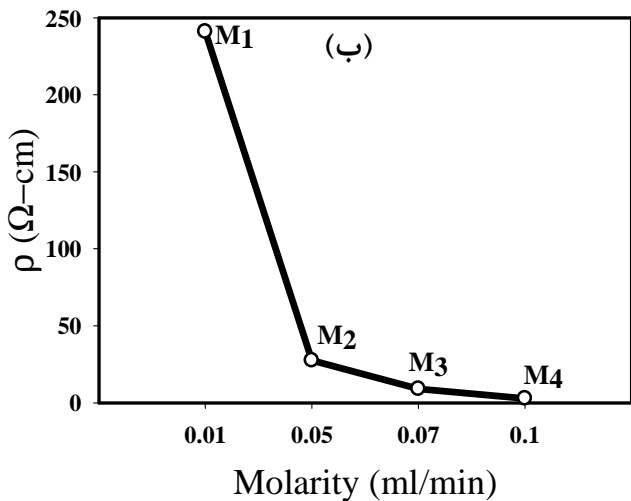
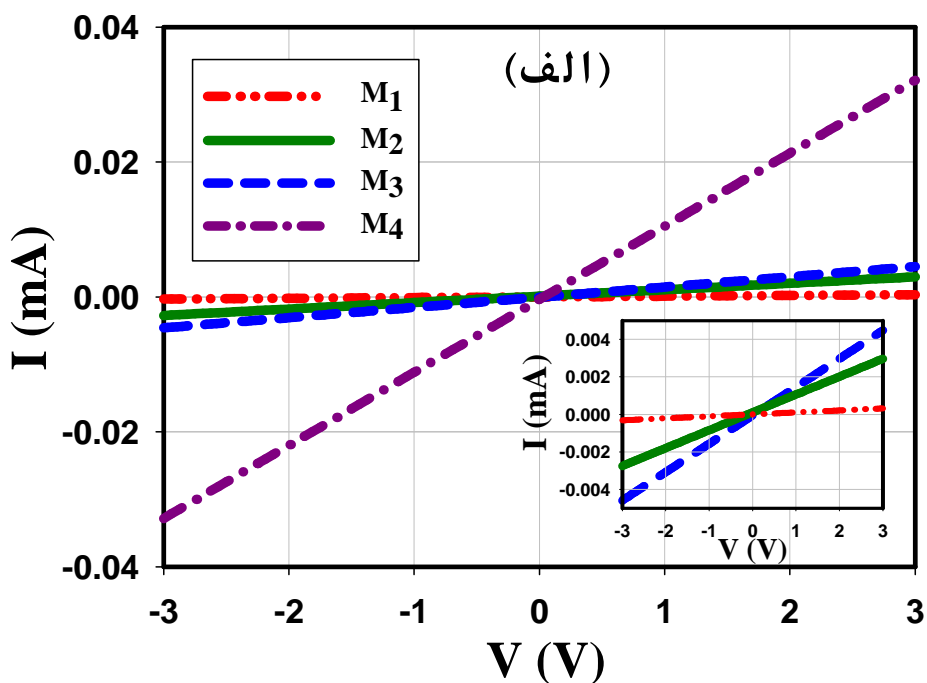
شکل ۵-۴ : (الف) تغییرات $(\alpha h\nu)^{1/2}$ بر حسب $h\nu$ در نمونه‌های WO_3 تهییه شده به ترتیب در غلظت‌های (ب) تغییرات گاف نواری نمونه‌ها بر حسب غلظت محلول اسپری.

با توجه به نتایج بدست آمده ملاحظه می شود که با افزایش غلظت محلول گاف نواری غیر مستقیم لایه ها از $3/57$ eV به $3/20$ eV کاهش یافته است. این روند کاهشی در بزرگی گاف نواری لایه ها می تواند متأثر از روند افزایشی در ابعاد دانه بندی ها در مورفولوژی سطح لایه ها و نیز افزایش ابعاد بلورک ها (جدول ۱-۴) مبتنی بر وقوع پدیده محدودیت کوانتومی در این نمونه ها باشد. انرژی های گاف نواری بدست آمده برای لایه نازک اکسید تنگستن مشابه گاف نواری گذاش شده توسط داباس و همکاران [۱۱]، پاتیل و همکاران [۱۲]، ریگراگی و همکاران [۲۵] و برتوس و همکاران [۹] می باشد.

مطالعه‌ی خواص الکتریکی و ترموالکتریکی

(شکل ۴-۶-(الف)) منحنی جریان- ولتاژ (I-V) نمونه ها را نشان می دهد. به منظور وضوح بیشتر در شکل ضمیمه سه نمونه M_1 , M_2 و M_3 در مقیاس کوچکتری رسم شده است

همان طور که پیداست تمامی نمونه ها رفتاری اهمی داشته و با افزایش غلظت محلول رسانندگی نمونه ها افزایش یافته است. با استفاده از این داده ها می توان مقاومت سطحی و مقاومت ویژه ای نمونه ها را با استفاده از روابط (۹-۲) و (۱۰-۲) محاسبه کرد. این محاسبات نشان می دهد که مقاومت سطحی نمونه ها با افزایش غلظت محلول از حدود $9/6 M\Omega$ به $0/1 M\Omega$ و مقاومت ویژه ای نمونه ها تقریبا از حدود $2/8 \Omega.cm$ به $241 \Omega.cm$ کاهش یافته اند، (شکل ۴-۶-(ب)). این تغییرات افزایشی در رسانندگی لایه ها می تواند ناشی از افزایش تراکم تهی جاهای اکسیژن در شبکه ای بلوری WO_3 باشد [۹، ۲۶].

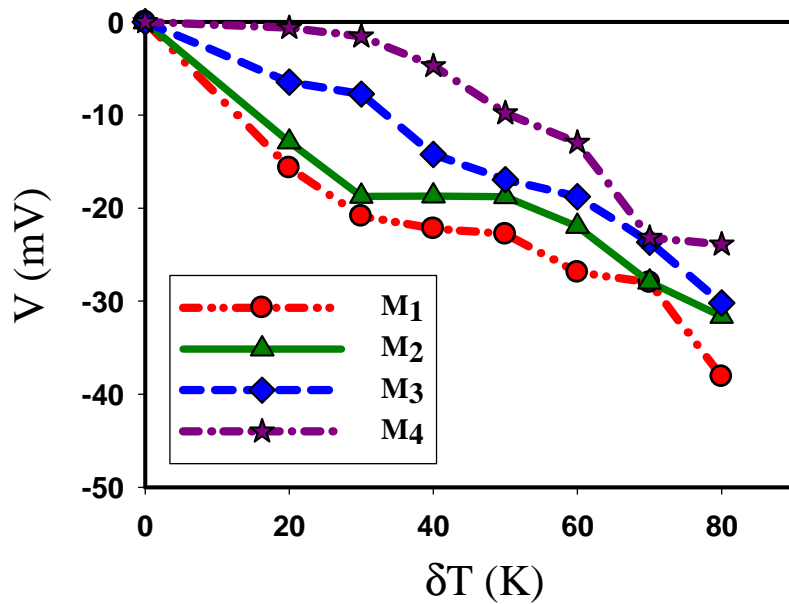


شکل ۶-۴ : (الف) منحنی $I-V$ در نمونه های تهیه شده به ترتیب در غلظت های ۰/۰۱، ۰/۰۵، ۰/۰۷ و ۰/۰۷ مولول.

(ب) مقاومت ویژه ای نمونه ها بر حسب افزایش غلظت محلول.

شکل ۷-۴ نتایج اثر سیبک را برای این نمونه ها نشان می دهد. شیب منفی نوع حامل های اکثربیت را مشخص می کند که برای WO_3 حامل های اکثربیت الکترون ها بوده و این نیمرسانا دارای رسانندگی نوع n می باشد [۵۱، ۴۹، ۲۶، ۵۰]. چنانچه ملاحظه می شود با افزایش مولاریته محلول،

حامل های اکثربت اکسید تنگستن یعنی الکترون ها افزایش یافته و در نتیجه با افزایش تعداد حامل ها و گرادیان دمایی جابجایی الکترون ها در انتهای گرم نمونه با حفره ها در قسمت سرد نمونه بیشتر شده و در نهایت میدان الکتریکی و اختلاف پتانسیل بزرگتری را ایجاد می کند. این روند افزایشی به خوبی در منحنی مربوط به اثر سیبک (شکل ۷-۴) دیده می شود.



شکل ۷-۴ : تغییرات ولتاژ بر حسب گرادیان دما.

۳-۴ بررسی اثر آهنگ لایه نشانی محلول بر خواص فیزیکی لایه های نازک

اکسید تنگستن

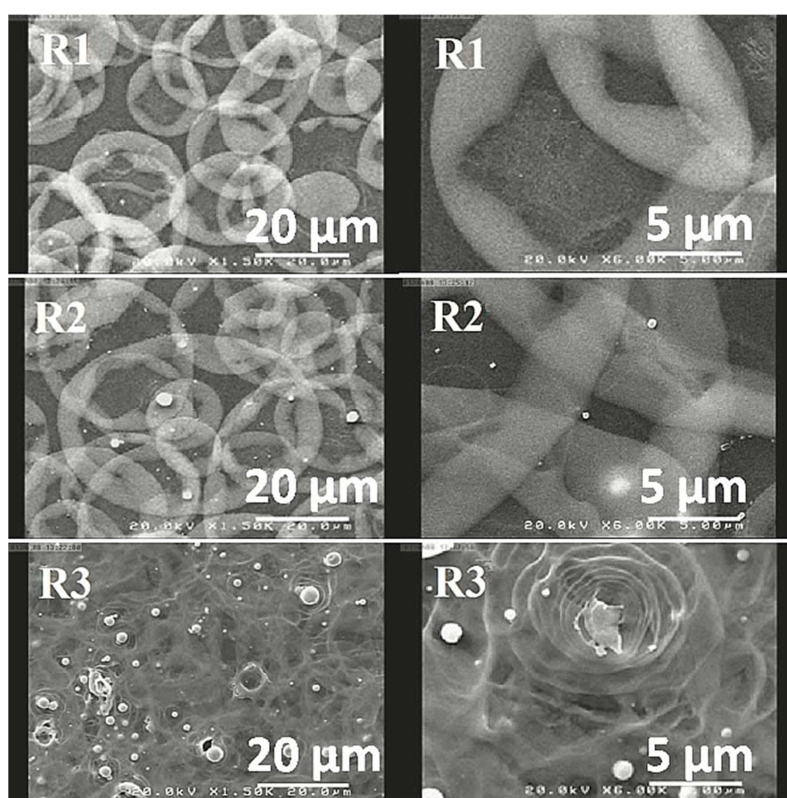
تا کنون بررسی های زیادی بر روی اثر آهنگ لایه نشانی اکسید تنگستن انجام شده است [۲۵، ۲۶] ولی در اکثر موارد در مقالات بررسی شده غلظت محلول پایین و در حدود $M = 1\%$ بوده است. ما در این بخش به بررسی خواص لایه های نازک اکسید تنگستن به ازای آهنگ های لایه نشانی پایین و غلظت های بالا پرداخته شده است لایه های تهیه شده از محلول اولیه تنگستات آمونیوم که جزئیات مربوط به شرایط آزمایشگاهی آنها در بخش (۳-۳) به طور کامل شرح داده شده است با غلظت M

۱۰ مولار برای نمونه های R₁, R₂ و R₃ به ترتیب با آهنگ های ۳, ۱ و ۷ ml/min به روش اسپری پایرولیزیز بر روی زیر لایه شیشه در دمای ۴۰۰ °C لایه نشانی شدند. سپس این نمونه ها در دمای C ۵۰۰ ° به مدت ۲ ساعت در هوا بازپخت شدند که به ترتیب با نام های A₁, A₂ و A₃ نامگذاری شده اند.

۱-۳-۴ بررسی نمونه های تازه رشد یافته

مطالعه ی مورفولوژی سطح

شکل ۴-۴ تصاویر FESEM این لایه ها در مقیاس های ۲۰ و ۵ میکرون نشان می دهد.



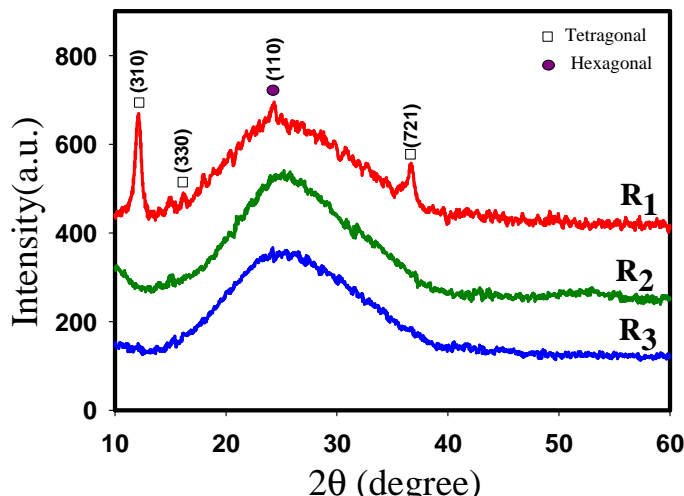
شکل ۴-۴: تصاویر FESEM نمونه های تهیه شده در آهنگ های لایه نشانی متفاوت ۱, ۳ و ۷ ml/min.

تصاویر هر سه نمونه نشانگر تشکیل رشته های مشبك تنگستن با خوشه های دور در اندازه های مختلف هستند به طوری که با افزایش آهنگ لایه نشانی به تدریج در هم تنیدگی رشته ها

افزایش و قطر آنها از حدود $5 \mu\text{m}$ تا 300 nm کاهش یافته است.

مطالعه‌ی خواص ساختاری

آنالیز ساختار بلوری لایه‌های نازک اکسید تنگستن به وسیله‌ی طیف پراش پرتو ایکس در شکل ۹-۴ نشان داده شده است. این داده‌ها نشان می‌دهد که دو نمونه‌ی R_2 و R_3 از طبیعت آمورف برخوردارند و نمونه‌ی R_1 به صورت بس بلوری و در دو فاز چهارگوشی (مربع‌های تو خالی) با ثابت‌های شبکه‌ای $c = 3/79 \text{ A}^\circ$ و $a = b = 23/33 \text{ A}^\circ$ و ششگوشی (دایره‌های تو پر) با ثابت‌های شبکه‌ای $c = 3/89 \text{ A}^\circ$ و $a = b = 7/29 \text{ A}^\circ$ رشد یافته‌اند. در نمونه R_1 در فاز ششگوشی جهتگیری ترجیحی در امتداد جهت (310) و در زاویه پراش $12/13^\circ$ می‌باشد.



شکل ۹-۴ : طیف‌های XRD نمونه‌های تهیه شده به ترتیب در آهنگ‌های لایه نشانی متفاوت 1 و 3 و 7 ml/min

به کمک رابطه شر (۲-۴) می‌توان ابعاد بلورک‌ها، میزان کرنش‌ها و چگالی دررفتگی‌ها وابسته به این جهت ترجیحی را در این نمونه تعیین کرد. نتیجه این محاسبات در جدول (۲-۴) ارایه گردیده است.

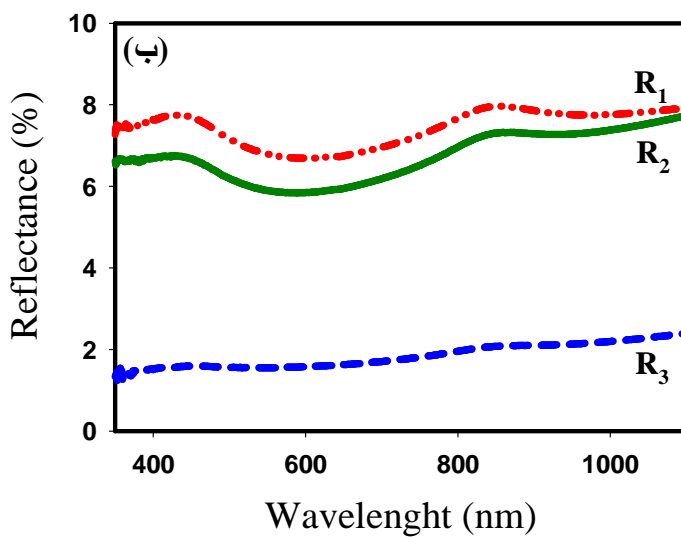
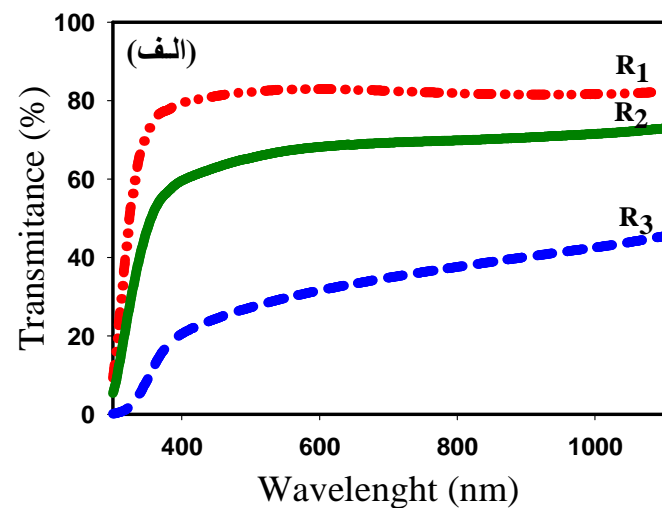
جدول ۲-۴ : نتایج تحلیل داده های XRD نمونه R₁ با در نظر گرفتن جهتگیری ترجیحی (۳۱۰).

| $\delta (\times 10^{-7}) \text{ (nm)}^{-1}$ | $\varepsilon (\times 10^{-7})$ | $d_{(hkl)}(\text{nm})$ | D (nm) | نمونه |
|---------------------------------------------|--------------------------------|------------------------|--------|----------------|
| ۳/۹ | ۲/۱۷ | ۰/۷۳۳ | ۱۵/۹۳ | R ₁ |

مطالعه‌ی خواص اپتیکی

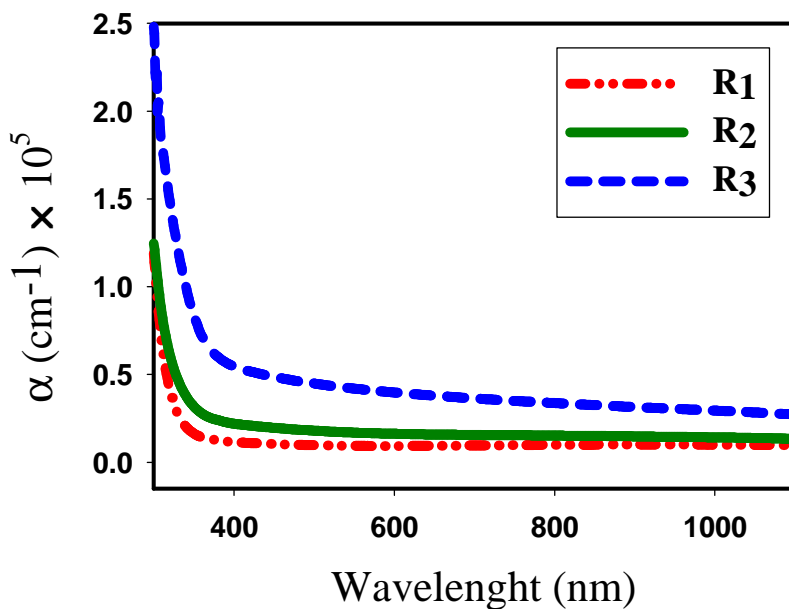
شکل ۴، (الف) و (ب) به ترتیب طیف عبوری و بازتاب را برای نمونه‌های مورد مطالعه در بازه طول موجی ۳۰۰ تا ۱۱۰۰ nm را نشان می‌دهد. میزان عبور نور در ناحیه مریبی ($\lambda \approx ۵۵۰ \text{ nm}$) در نمونه R₁ در حدود ۸۰٪، در نمونه R₂ در حدود ۷۰٪ و در نمونه R₃ تقریباً ۳۰٪ می‌باشد. این به معنای آن است که با افزایش آهنگ لایه نشانی به تدریج از شفافیت لایه‌ها کاسته شده و نمونه‌ها کدرتر شده‌اند. این تغییرات می‌تواند ناشی از افزایش ضخامت لایه‌ها (R₁, R₂, R₃) به ترتیب ۲۰۰، ۲۳۵ و ۲۹۰ nm با افزایش آهنگ لایه نشانی باشد. بنا به گزارش ریگرآگی و همکاران [۲۵] تغییر در میزان عبور لایه‌ها می‌تواند تحت تاثیر کاهش پراکندگی فوتونها به دلیل نظم بلوری بهتر لایه‌ها قرار گیرند و از این رو موجب افزایش میزان عبور نور در لایه می‌شود.

طیف بازتاب برای نمونه‌های R₁, R₂, R₃ به ترتیب در حدود ۷، ۶ و ۲ درصد تخمین زده می‌شود. این نتایج نشانگر آن است که نمونه‌ی با آهنگ لایه نشانی بالاتر از ضریب بازتاب کمتری برخوردار است.



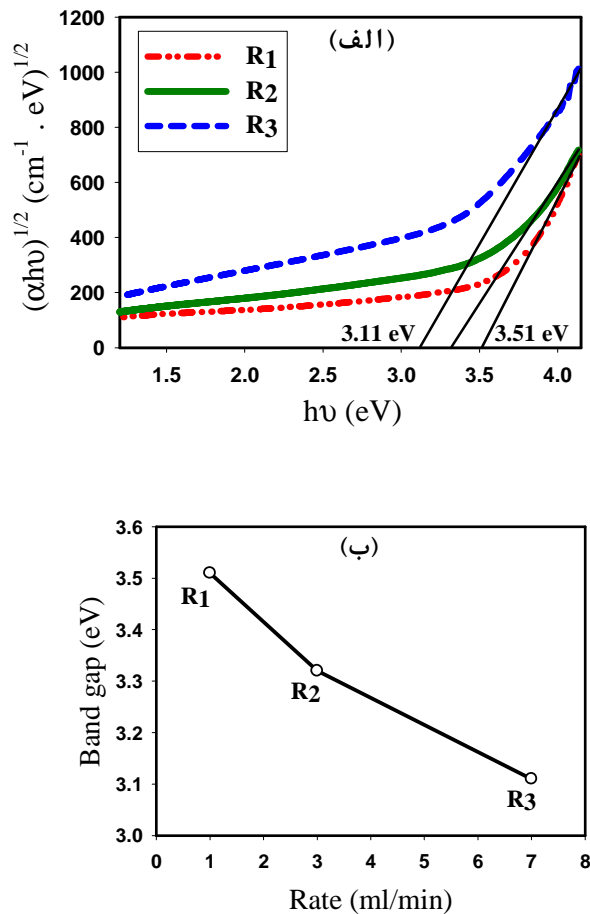
شکل ۱۰-۴ : طیف های عبوری (الف) و طیف های بازتاب (ب) نمونه های تهیه شده در آهنگ های لایه نشانی متفاوت ۱، ۳ و ۷ ml/min.

اکنون با اطلاع از طیف های عبوری و بازتاب نمونه ها شکل ۱۰-۴، (الف) و (ب) و مقادیر ضخامت لایه ها و با استفاده از قانون لامبرت، رابطه (۷-۲)، می توان ضریب جذب لایه ها را بدست آورد. شکل ۱۱-۴ نتایج بدست آمده را نشان می دهد. این نتایج نشان دهنده ای این است که نمونه ها از جذب بالایی ($\approx 10^5 \text{ cm}^{-1}$) در ناحیه فرابنفش ($\lambda \leq 400 \text{ nm}$) برخوردار هستند به طوری که با افزایش آهنگ لایه نشانی ضریب جذب لایه ها به طور نسبی افزایش یافته اند.



شکل ۱۱-۴ : منحنی ضریب جذب اپتیکی بر حسب طول موج برای نمونه های تهیه شده در آهنگ های لایه نشانی متفاوت ۱، ۳ و ۷ ml/min.

در این نمونه ها با معلوم شدن طیف جذب لایه ها می توان بزرگی گاف نواری غیر مستقیم (بخش ۲-۳-۴-۲) و با استفاده از رابطه $\alpha = A(hv)^m$ (به ازای m مساوی ۰/۵) بر حسب hv و تعیین محل برونيابی داده ها در ناحیه انرژی های بالا با محور افقی بدست آورد [۱۱]. این محاسبات در شکل ۱۲-۴-(الف) و نتایج بدست آمده مربوط به تغییرات بزرگی گاف نواری غیر مستقیم نمونه ها به ازای آهنگ های لایه نشانی متفاوت محلول اولیه اسپری در شکل ۱۲-۴-(ب) نشان داده شده است. با توجه به نتایج بدست آمده ملاحظه می شود که با افزایش آهنگ لایه نشانی گاف نواری غیر مستقیم اپتیکی لایه ها از $3/51$ eV^{3/11} کاهش می یابد که می تواند ناشی از تغییر عرض دنباله نواری مبتنی بر نقص شبکه ناشی از تهی جاهای اکسیژن در محدوده گاف نواری باشد.

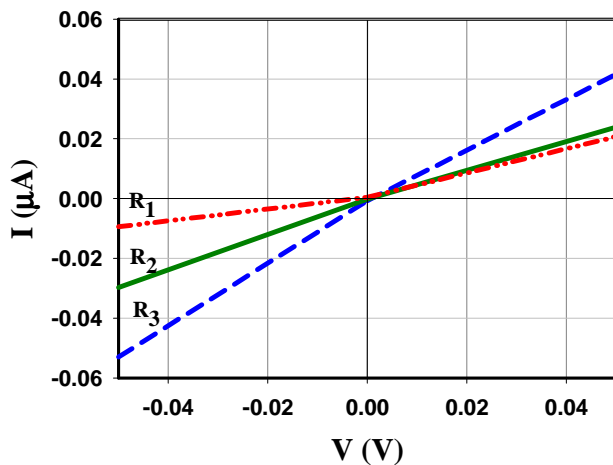


شکل ۱۲-۴ : (الف) تغییرات $(\alpha h\nu)^{1/2}$ بر حسب $h\nu$ در نمونه های WO_3 تهیه شده در آهنگ های لایه نشانی
متفاوت ۱، ۳ و ۷ ml/min . (ب) تغییرات گاف نواری غیر مستقیم WO_3 بر حسب آهنگ لایه نشانی محلول.

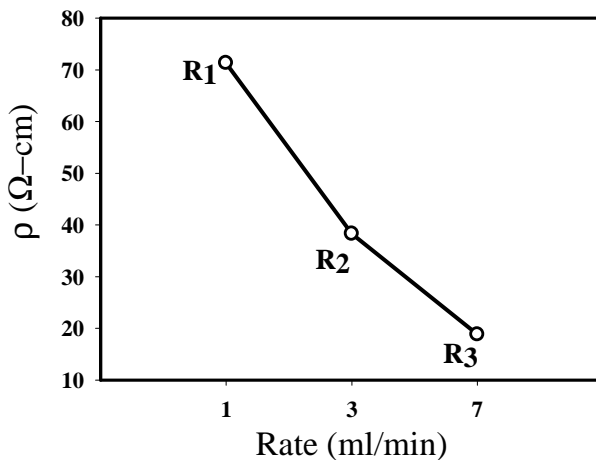
مطالعه‌ی خواص الکتریکی و ترموالکتریکی

شکل ۱۳-۴ منحنی جریان- ولتاژ نمونه های مورد بررسی را نشان می دهد. چنانچه پیداست تمامی نمونه ها رفتاری اهمی داشته و با افزایش آهنگ لایه نشانی رسانندگی نمونه ها رو به افزایش گذارده است. با توجه به این داده ها می توان مقاومت سطحی و مقاومت ویژه ای نمونه ها را با استفاده از روابط (۹-۲) و (۱۰-۲) محاسبه کرد. این محاسبات نشان می دهد که مقاومت سطحی نمونه ها با افزایش آهنگ لایه نشانی محلول از حدود ۲۴۶۰ به 2460Ω و مقاومت ویژه ای نمونه ها از حدود $71/3$ به $18/8 \Omega \cdot \text{cm}$ کاهش یافته اند (شکل ۱۴-۴). این تغییرات افزایشی در رسانندگی لایه ها

می تواند ناشی از افزایش تراکم تهی جاهای اکسیژن در شبکه ی بلوری WO_3 با افزایش آهنگ لایه نشانی باشد [۹].



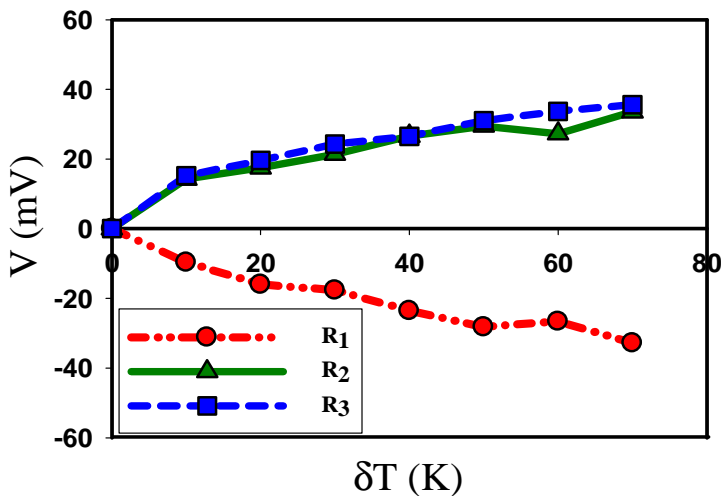
شکل ۱۳-۴: منحنی I-V نمونه های تهیه شده در آهنگ های اسپری متفاوت ۱، ۳ و ۷ ml/min.



شکل ۱۴-۴: مقاومت ویژه ی نمونه های لایه نشانی شده در آهنگ های اسپری متفاوت ۱، ۳ و ۷ ml/min.

شکل ۱۵-۴ نتایج اثر سیبک را نشان می دهد. این نتایج حاکی از آن است که حامل های اکثربیت در نمونه R_1 الکترون ها بوده و این نمونه دارای رسانندگی نوع n بوده و در دو نمونه R_2 و R_3 حامل های اکثربیت حفره ها بوده و در نتیجه این نمونه ها دارای رسانندگی نوع p می باشند. این نتایج که با گزارش برتوس و همکاران [۹] در توافق می باشد می تواند ناشی از کاهش تراکم ترازهای

شبه بخشندۀ (تهی جاهای اکسیژن) در مقایسه با ترازهای شبه پذیرنده (تهی جاهای تنگستن) باشد.



شکل ۱۵-۴ : تغییرات ولتاژ بر حسب تغییر دما.

۲-۳-۴ تاثیر بازپخت بر خواص فیزیکی نمونه ها

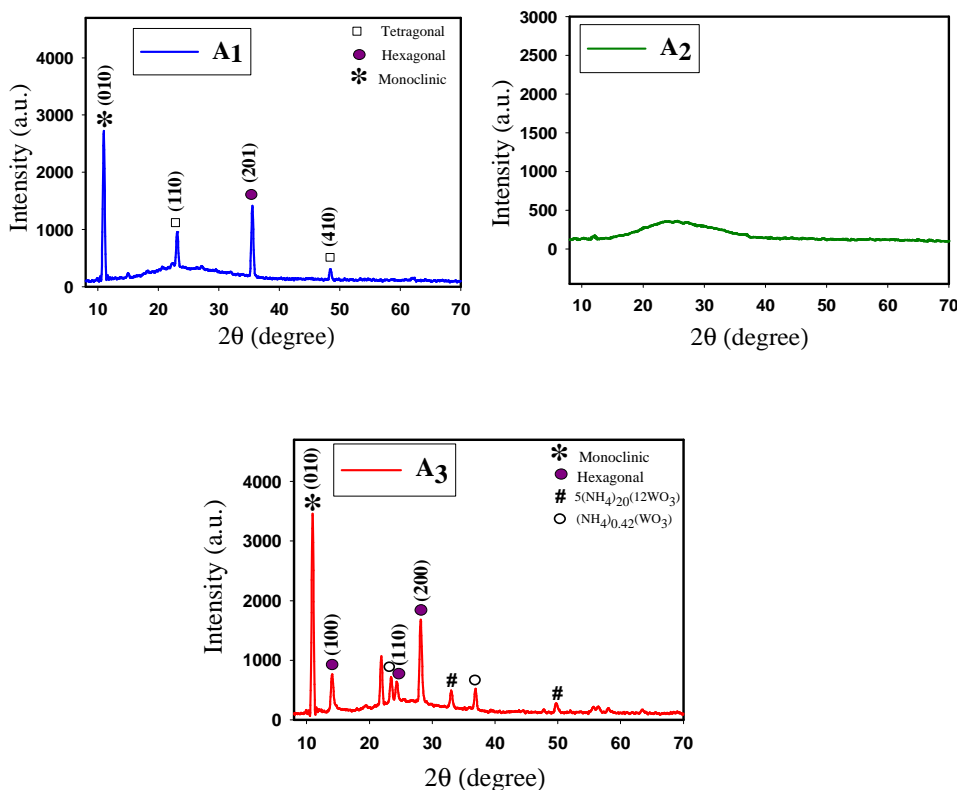
از آنجا که گزارشات منتشر شده حاکی از تاثیر بازپخت بر خواص فیزیکی لایه های نازک اکسید تنگستن بوده است [۹، ۱۱، ۲۵، ۳۴، ۲۶، ۳۵] به همین منظور ما نیز برای نمونه های لایه نشانی شده با آهنگ اسپری متفاوت (نمونه های R_1 , R_2 و R_3) اقدام به بازپخت نمونه ها در دمای 500°C در شرایط هوا به مدت دو ساعت نموده ایم، که به ترتیب آن ها را با به نامهای A_1 , A_2 , A_3 می شناسیم. در ادامه به بررسی نتایج مربوط به خواص ساختاری و اپتیکی و الکتریکی نمونه ها می مورد بررسی می پردازیم.

مطالعه‌ی خواص ساختاری

شکل ۱۶-۴ ساختار بلوری لایه های نازک را بعد از بازپخت نشان می دهد. همان طور که در بخش (۱-۳-۴) گفته شد قبل از بازپخت دو نمونه R_2 و R_3 از طبیعت آمورف برخوردار بوده و نمونه R_1 به صورت بس بلوری و به صورت دو فازی (چهارگوشی و ششگوشی) رشد یافته به طوری که جهتگیری ترجیحی در نمونه R_1 در امتداد صفحه (۳۱۰) بوده است.

اما چنانچه از نتایج XRD نمونه ها پیداست پس از بازپخت نمونه ها A_1 و A_3 به صورت بسیاری و نمونه A_2 همچنان از طبیعت آمورف برخوردار است. نمونه A_1 در سه فاز چهارگوشی با ثابت های شبکه ای A° , $a=b=7/28$, $c=3/73$, $a=b=7/56$ و ششگوشی با ثابت های شبکه ای A° , $a=14/49$, $b=14/50$, $c=10/92$ رشد یافته است. جهتگیری ترجیحی در نمونه A_1 در امتداد جهت $(0\ 10)$ می باشد.

در نمونه A_3 اکسید تنگستن در دو فاز بلوری تک میلی با ثابت های شبکه ای A° , $a=14/49$, $b=14/50$, $c=10/92$ و دو فاز جدید ششگوشی با ثابت های شبکه ای A° , $a=b=7/29$, $c=3/89$ با ثابت های شبکه ای A° , $a=14/49$, $b=14/50$, $c=11/02$ در فاز بلوری راست گوش با ثابت های شبکه ای A° , $a=19/29$, $b=24/46$, $c=11/02$ رشد یافته اند که قله ای ترجیحی متعلق به فاز تک میلی در جهت $(0\ 10)$ می باشد. این نتایج در توافق با نظر دیگر محققان می باشد [۱۱، ۹].



شکل ۱۶-۴: طیف های XRD نمونه های بازپخت شده در دمای ۵۰۰ درجه به مدت ۲ ساعت.

با استفاده از نظریه های وابسته به ساختار بلوری لایه ها به اطلاعات دقیقتری شامل فاصله بین صفحات بلوری (رابطه $i=1-2$)، ابعاد بلورک ها (رابطه $i=2-4$)، میزان کرنش (رابطه $i=2-5$) و نیز چگالی در رفتگی ها، (رابطه $i=2-6$) در لایه ها پی برد. نتایج این محاسبات در جدول ۳-۴ آمده است. چنانچه در ستون دوم جدول ۳-۴ آمده است نتایج حاکی از آن است که با انجام بازپخت در نمونه های متبلور، اندازه بلورک ها با افزایش آهنگ لایه نشانی افزایش می یابد [۲۶، ۱۱، ۹].

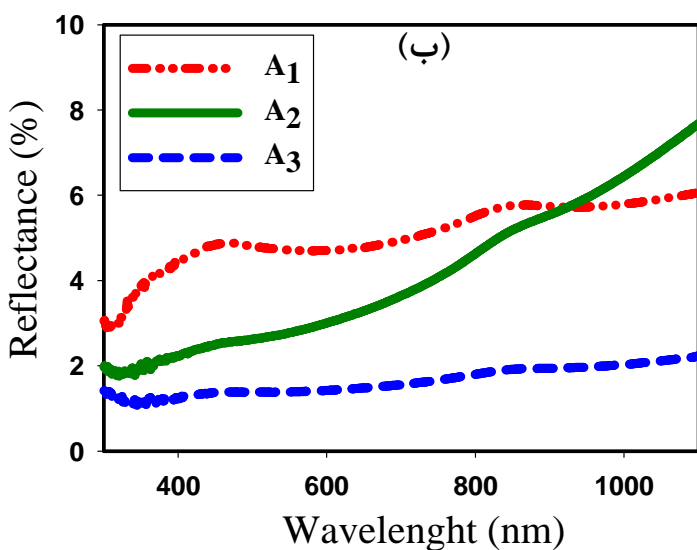
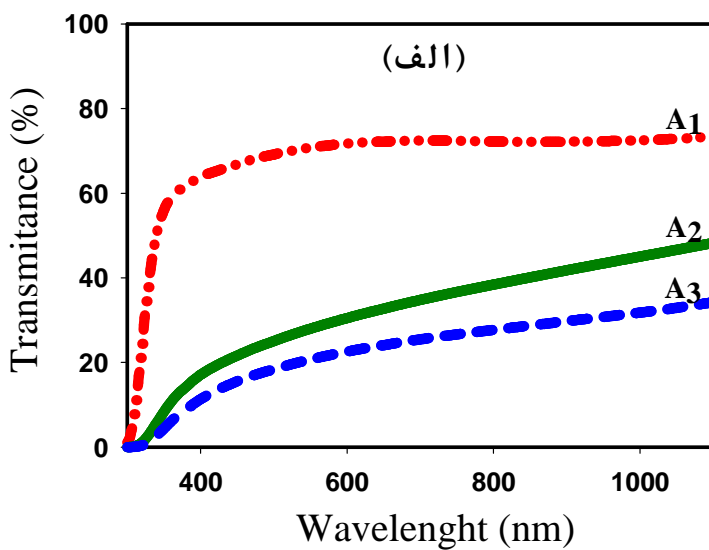
جدول ۳-۴: جزئیات تحلیل طیف XRD نمونه ها وابسته به جهتگیری (0°) پس از بازپخت.

| $\delta (\times 10^{-7}) \text{ (nm)}^{-2}$ | $\varepsilon (\times 10^{-3})$ | D (nm) | $d_{(hkl)}(\text{nm})$ | نمونه |
|---------------------------------------------|--------------------------------|--------|------------------------|----------------|
| ۱/۰۶ | ۱/۱۴ | ۳۰/۶۶ | ۰/۸۰۴ | A ₁ |
| ۰/۶۴ | ۰/۸۷ | ۳۹/۴۲ | ۰/۸۱۴ | A ₃ |

فاصله بین صفحات بلوری با تقریب خوبی با یکدیگر قابل مقایسه بوده، اما با افزایش آهنگ لایه نشانی هم میزان کرنش و هم تراکم در رفتگی ها کاهش یافته است که می تواند به معنی بهبود کیفیت بلوری لایه پس از بازپخت باشد [۱۱، ۹]، که با افزایش شدت نسبی قله (0°) در این نمونه ها همانگی دارد.

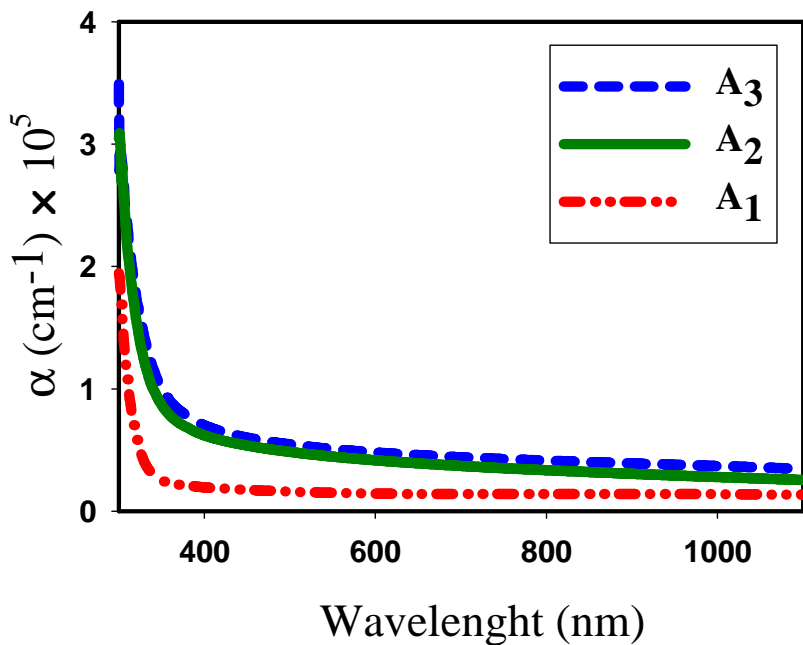
مطالعه خواص اپتیکی

شکل های ۴-۱۷، (الف) و (ب) به ترتیب طیف عبوری و بازتاب نمونه ها را در شرایط بعد از بازپخت نشان می دهند. از مقایسه این داده ها و نتایج شکل های ۴-۱۲، (الف) و (ب) در شرایط قبل از بازپخت می توان دریافت که با انجام بازپخت نمونه ها همگی کدرتر شده و عبور نور از آن کاهش یافته است. این روند کاهشی می تواند با وجود بهبود خاصیت بلورینگی در برخی نمونه ها، متأثر از خواص الکتریکی لایه ها پس از بازپخت باشد.



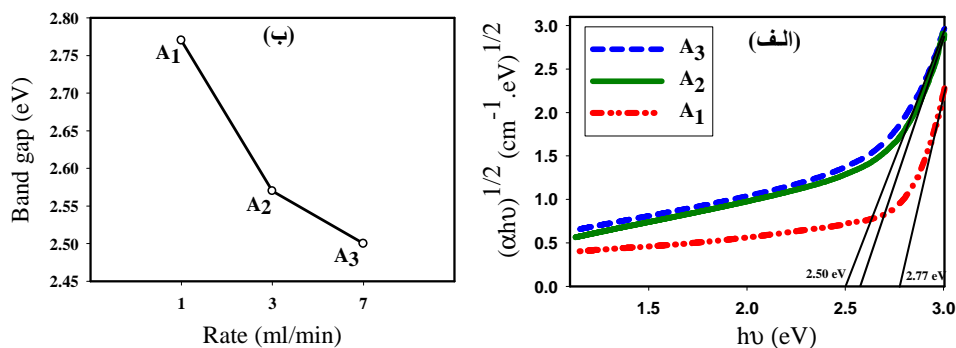
شکل ۱۷-۴: (الف) طیف های عبور و (ب) طیف های بازتاب نمونه های بازپخت شده در دمای 500°C به مدت ۲ ساعت

با توجه به داده های طیف عبور و بازتاب و ضخامت لایه ها می توان از قانون لامبرت (۷-۲) ضریب جذب نمونه ها را محاسبه کرد. این نتایج در شکل ۱۸-۴ نشان داده شده است. پس از بازپخت ضریب جذب نمونه ها نسبت به قبل از بازپخت افزایش یافته است. این نتایج حاکی از جذب بالای نمونه ها در ناحیه طول موجی فرابنفش ($\lambda \leq 400\text{ nm}$) می باشد.



شکل ۱۸-۴: طیف های جذبی نمونه های بازپخت شده در دمای ۵۰۰ °C به مدت ۲ ساعت.

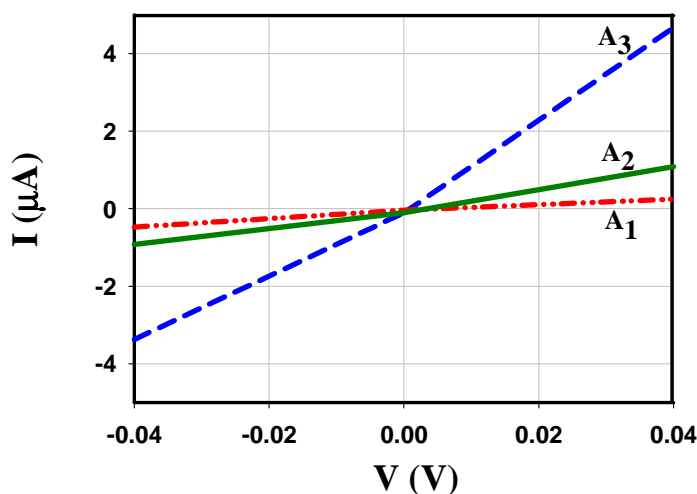
با معلوم شدن طیف جذب لایه ها می توان بزرگی گاف نواری غیر مستقیم (بخش ۳-۴-۲) و با استفاده از رابطه $\alpha = \frac{1}{m} \ln \left(\frac{I_0}{I} \right)$ و با رسم شبیه نمودار $m = \frac{1}{\lambda} \ln \left(\frac{I_0}{I} \right)$ (به ازای $I_0/I = 1/e$) بر حسب λ و $h\nu$ تعیین محل برونيابی داده ها در ناحیه انرژی های بالا با محور افقی بدست آورد. این نتایج را در شکل ۱۹-۴-(الف) و نتایج بدست آمده مربوط به تغییرات بزرگی گاف نواری غیر مستقیم نمونه ها به ازای آهنگ های لایه نشانی متفاوت پس از بازپخت در شکل ۱۹-۴-(ب) نشان داده شده است. با توجه به نتایج بدست آمده ملاحظه می شود که با افزایش آهنگ لایه نشانی گاف نواری غیر مستقیم اپتیکی لایه ها پس از بازپخت از $2/50$ eV به $2/77$ eV کاهش یافته است که می تواند ناشی از افزایش ابعاد بلورک ها و مبتنی بر تضعیف پدیده کوانتومی باشد [۹].



شکل ۱۹-۴: (الف) تغییرات $(\alpha h\nu)^{1/2}$ بر حسب $h\nu$. (ب) تغییرات گاف نواری با افزایش آهنگ لایه نشانی بازپخت شده در دمای 500°C به مدت ۲ ساعت.

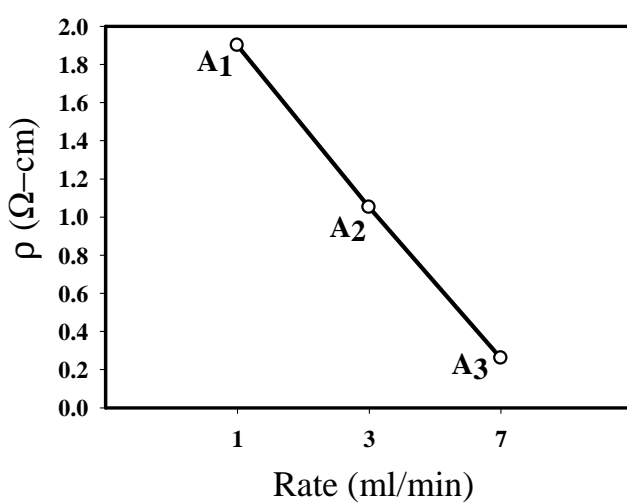
مطالعه‌ی خواص الکتریکی و ترموالکتریکی

شکل ۲۰-۴ ۲۰-۴ منحنی جریان-ولتاژ (I-V) نمونه‌های تهیه شده در آهنگ‌های لایه نشانی متفاوت و بازپخت شده را نشان می‌دهد. چنانچه پیداست تمامی نمونه‌ها رفتاری اهمی داشته و با افزایش آهنگ لایه نشانی رسانندگی نمونه‌ها رو به افزایش گذارده است. با توجه به این داده‌ها می‌توان مقاومت سطحی و مقاومت ویژه‌ی نمونه‌ها را با استفاده از روابط (۹-۲) و (۱۰-۲) محاسبه کرد. این محاسبات نشان می‌دهد که مقاومت سطحی نمونه‌ها با افزایش آهنگ لایه نشانی محلول از حدود ۸۴ به $\Omega^{8/3}$ و مقاومت ویژه‌ی نمونه‌ها از حدود $1/9$ به $\Omega^{1/26}\text{cm}^0$ کاهش یافته‌اند (شکل ۲۱-۴). این تغییرات افزایشی در رسانندگی لایه‌ها می‌تواند ناشی از افزایش تراکم تهی جاهاست. اکسیژن در شبکه‌ی بلوری WO_3 پس از بازپخت باشد [۹]. نکته‌ی جالب توجه آنکه در مقایسه‌ی این نمونه‌ها با نتایج قبل از بازپخت ملاحظه می‌شود که مقاومت نمونه‌ها پس از بازپخت به مقدار قابل توجهی کاهش یافته است.

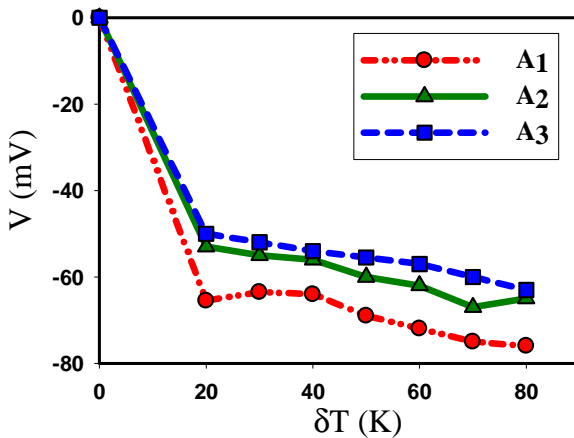


شکل ۲۰-۴: منحنی جریان - ولتاژ نمونه های بازپخت شده در دمای 500°C به مدت ۲ ساعت.

شکل ۲۲-۴ نتایج اثر سیبک را نشان می دهد. این نتایج حاکی از آن است که حامل های اکثربیت در این نمونه ها الکترون ها بوده و در نتیجه این نمونه ها دارای رسانندگی نوع n می باشند. این نتایج با گزارشات محققین دیگر در توافق می باشند [۵۲، ۲۶، ۴۹، ۵۰، ۵۱].



شکل ۲۱-۴: مقاومت ویژه بر حسب نمونه های لایه نشانی شده در آهنگ های لایه نشانی متفاوت ۱، ۳ و ۷ ml/min و بازپخت شده در دمای 500°C به مدت ۲ ساعت.



شکل ۲۲-۴: تغییرات ولتاژ ترموالکتریکی بر حسب تفاوت دما.

۴-۴ مطالعه‌ی اثرآلایش Li بر خواص فیزیکی لایه‌های نازک و نانوساختارهای

WO₃

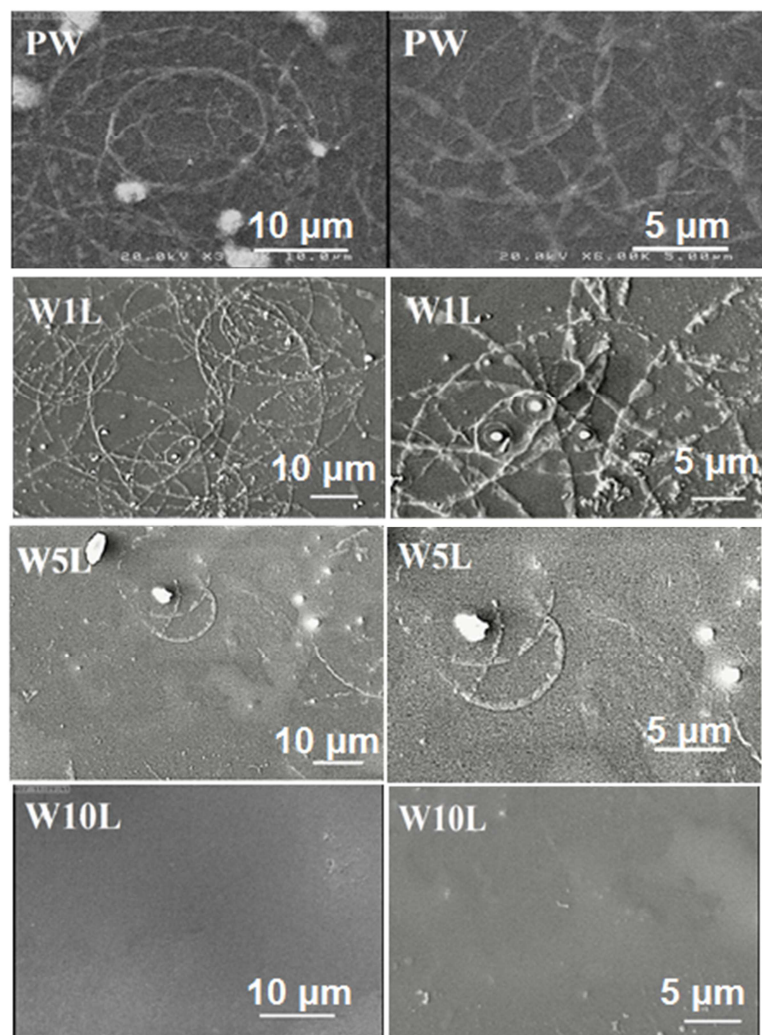
در این بخش از تحقیقات خود به مطالعه‌ی تاثیر آلایش Li بر خواص فیزیکی لایه‌های نازک اکسید تنگستن از جمله بررسی مورفولوژی سطحی، خواص ساختاری، اپتیکی و الکتریکی لایه‌ها می‌پردازیم. در این مرحله از ۵۰ ml محلول آمونیوم تنگستات [NH₄)₂WO₄]^{۰/۰} استفاده شده آزمایشگاهی لازم جهت تهیه این محلول در بخش ۳-۳ گفته شد با غلظت ۱M بازگشته است. به منظور آلایش به ازای مقادیر جرمی مختلف از پودر کلرید لیتیم (LiCl) به نسبتها و وزنی صفر، ۱، ۵ و ۱۰ درصد که در آب دو بار یونیزه حل شده است برای لایه نشانی با آهنگ ۵ ml/min بر روی شیشه در دمای ۴۰۰ °C استفاده کرده ایم.

این نمونه‌ها به ترتیب با اسمی W10L, W5L, W1L, PW نامگذاری شده‌اند.

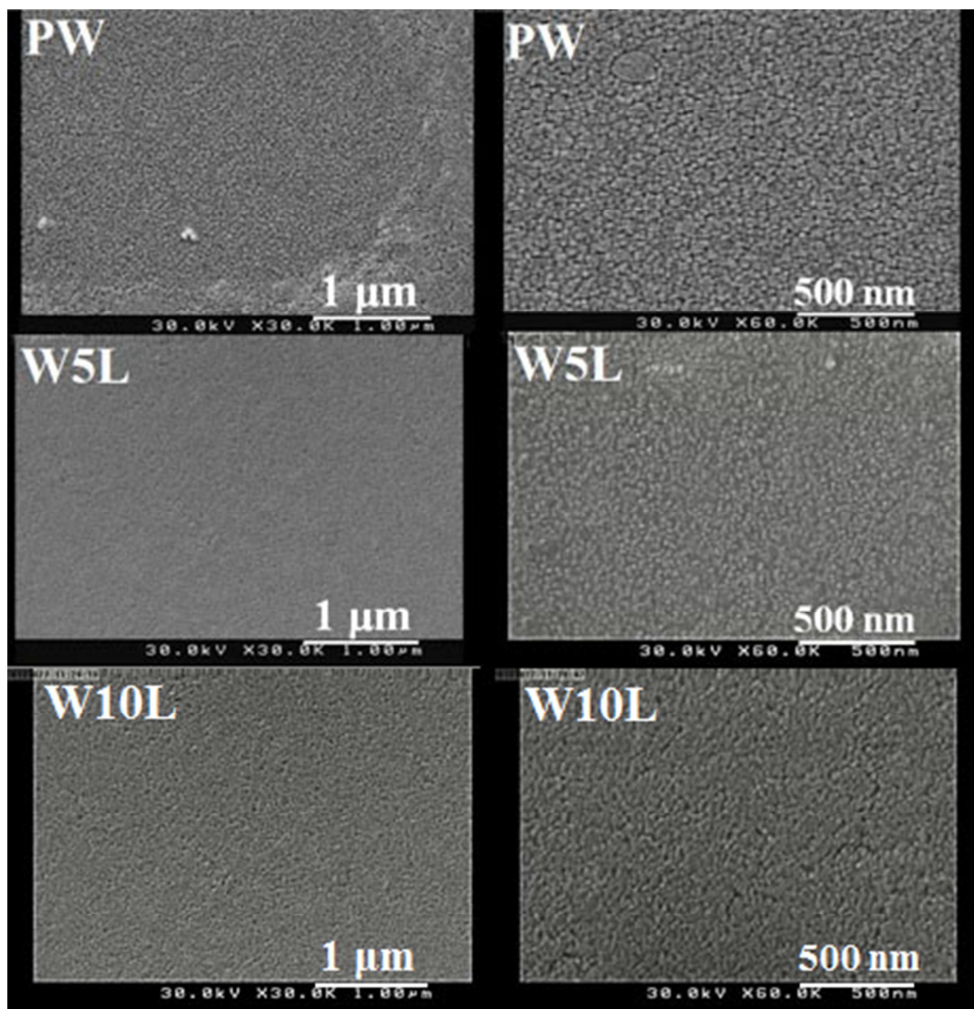
مطالعه‌ی مورفولوژی سطح

شکل ۲۳-۴ نشان دهنده‌ی تصاویر FESEM نمونه‌های رشد داده شده می‌باشد. به وضوح در تصویر مربوط به WO₃ خالص (PW) دیده می‌شود که سطح نمونه با تعدادی لایه‌های نازک باریک

به شکل رشته های مشبک تنگستن و خوشه های دوار با قطرهای تقریبا 300 nm یا کمتر پوشیده شده است و با افزایش غلظت از میزان این رشته ها و در هم تنیدگی آنها کاسته شده و سطح لایه به تدریج به سطحی کاملاً صاف و یکنواخت میل کرده است. این نتایج بیانگر آن است که آلایش باعث از بین بردن تدریجی تخلل ها ناشی از رشته های در هم تنیده شده است. به علاوه با توجه به تصاویر FESEM در مقیاس های کوچکتر (شکل ۲۴-۴) مشاهده می شود که سطح صاف ایجاد شده شامل نانوساختار هایی با اندازه های تقریبا 25 تا 35 nm است که نشان دهنده ای کاهش اندازه ای دانه ها با افزایش میزان آلایش است. این روند تغییرات ابعاد نانوساختارها می تواند بر خواص اپتیکی از جمله پهنهای گاف نواری نمونه ها تاثیر بگذارد.



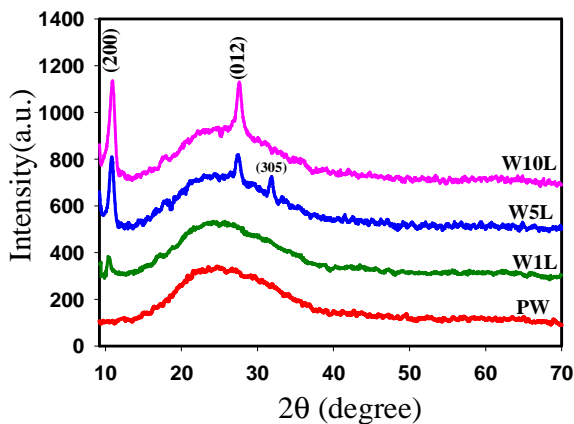
شکل ۲۴-۴ : تصاویر FESEM نمونه های WO_3 خالص و آلایش یافته با Li به نسبتهای وزنی صفر، ۱، ۵ و 10%



شکل ۲۴-۴: تصاویر FESEM نمونه های WO_3 خالص و آلایش یافته با Li به نسبت های وزنی صفر، ۵ و ۱۰ درصد در مقیاس های کوچکتر.

مطالعه‌ی خواص ساختاری

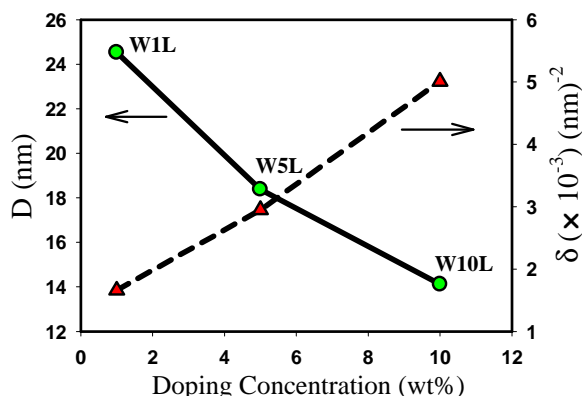
آنالیز ساختار بلوری لایه های نازک اکسید تنگستن خالص و آلایش یافته توسط طیف XRD در شکل ۲۵-۴ نشان داده شده است. داده های XRD نشان می دهد که نمونه خالص (PW) از طبیعت آمورف برخوردار بوده و نمونه های آلایش یافته همگی ساختار بس بلوری در فاز تک میلی با ثابت های شبکه ای $a = 18/28 \text{ \AA}$, $b = 3/77 \text{ \AA}$, $c = 13/98 \text{ \AA}$ رشد یافته اند به طوری که جهتگیری ترجیحی در هر سه نمونه ی آلایش یافته در امتداد صفحه (20°) می باشد [۱۰].



شکل ۴-۲۵: طیف های XRD نمونه های خالص و آلایش یافته با Li در صدهای وزنی مختلف ۱۰، ۱۵، ۵۰ و ۱۰۰.

نکته قابل ذکر آنکه با افزایش میزان آلایش، شدت نسبی قله ها به ویژه قله δ ترجیحی (۲۰۰) به مرور افزایش یافته و در نمونه های آلایش یافته بیشترین شدت قله مشاهده شده مربوط به لایه با آلایش ۱۰٪ وزنی است. نکته‌ی بسیار جالب آنکه در شبکه بلوری با افزایش میزان آلایش فاز جدیدی ظاهر نشده است و ساختار بلوری اکسید تنگستن کاملاً حفظ شده است.

با استفاده از نظریه های وابسته به ساختار بلوری لایه ها می توان به اطلاعات مهمی از جمله فاصله‌ی بین صفحات بلوری (رابطه‌ی ۱-۲)، ابعاد بلورک‌ها (رابطه‌ی ۴-۲)، میزان کرنش (رابطه‌ی ۲-۵) و نیز چگالی در رفتگی‌ها (رابطه‌ی ۶-۲)، در لایه ها پی برد که در ادامه بدان پرداخته ایم.



شکل ۴-۲۶: تغییرات ابعاد بلورک‌ها با افزایش میزان آلایش لیتیوم.

چنانچه در جدول ۴-۴ آمده است اگر چه با افزایش غلظت آلایش فاصله بین صفحات بلوری با تقریب خوبی با یکدیگر قابل مقایسه است لکن ابعاد بلورک‌ها کاهش یافته است. همچنین چنانچه پیداست با افزایش غلظت آلایش میزان کرنش و درفتگی‌های بلوری افزایش یافته است، این موضوع با توجه به متفاوت بودن شعاع اتمی $\text{Li} (0/9\text{A}^\circ)$ در مقایسه با اتمهای $\text{W} (0/62\text{A}^\circ)$ امری قابل انتظار است (شکل ۲۶-۴) [۱۰].

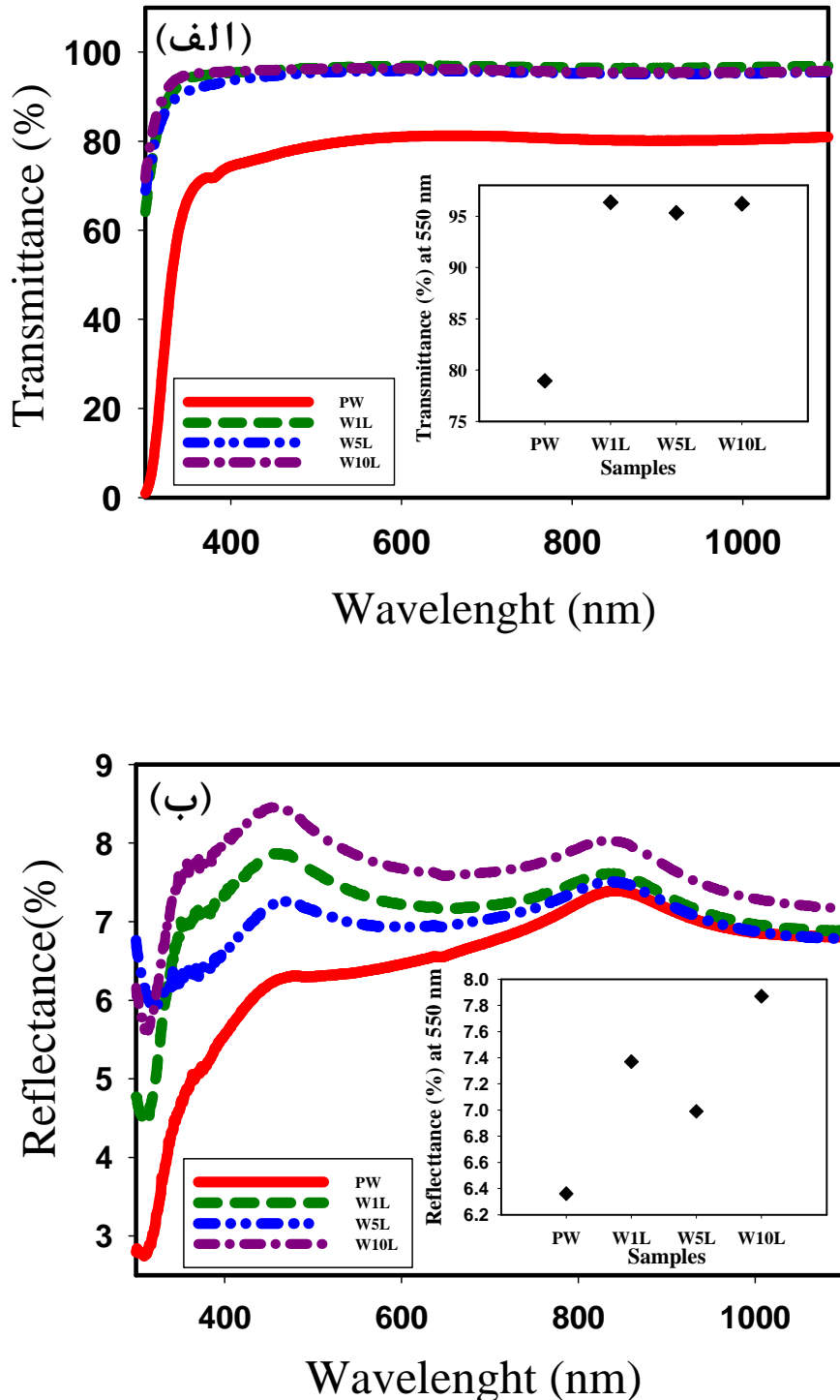
جدول ۴-۴ : نتایج تحلیل داده‌های XRD نمونه‌های آلایش یافته برای جهتگیری ترجیحی (۲۰۰).

| $\delta (\times 10^{-3}) \text{ (nm)}^{-1}$ | $\varepsilon (\times 10^{-3})$ | D (nm) | $d_{(hkl)}(\text{nm})$ | نمونه |
|---------------------------------------------|--------------------------------|--------|------------------------|-------|
| ۱/۶۶ | ۱/۴۱ | ۲۴/۵۳ | ۰/۸۴۶۴ | W1L |
| ۲/۹۵ | ۱/۸۸ | ۱۸/۳۸ | ۰/۸۱۹۴ | W5L |
| ۵/۰۱ | ۲/۴۵ | ۱۴/۱۲ | ۰/۸۱۰۸ | W10L |

مطالعه‌ی خواص اپتیکی

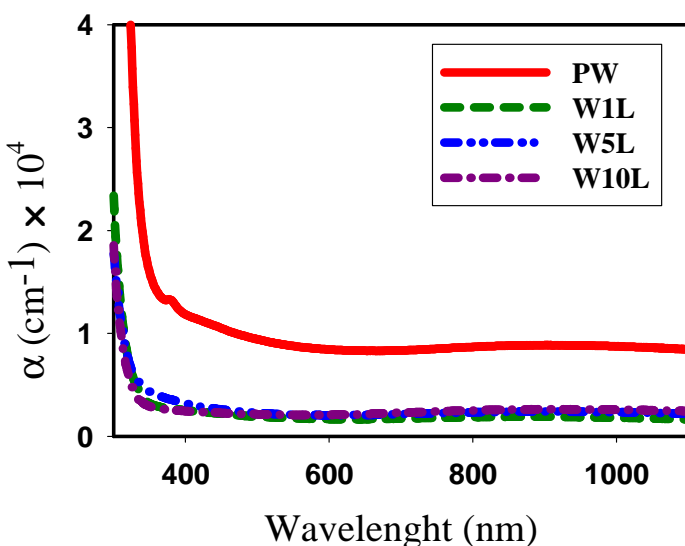
شکل ۲۷-۴ طیف عبور و بازتاب نمونه‌ها را در بازه طول موجی ۳۰۰ تا ۱۱۰۰ nm نشان می‌دهد. همان گونه که ملاحظه می‌شود در نمونه PW میانگین عبور نور در گستره‌ی نور مرئی و فروسرخ تقریباً ثابت و در حدود ۸۰٪ می‌باشد. در مورد نمونه‌های آلایش یافته میزان عبور به حدود ۹۵٪ افزایش یافته است (شکل ضمیمه تغییرات رخ داده را در طول موج ۵۵۰ nm نشان می‌دهد). نکته قابل ذکر آنکه اساساً افزودن ناخالصی لیتیوم با روش‌های مختلف طیف عبور نمونه‌ها را بهبود می‌بخشد [۱۰]. این خاصیت این ماده را، برای کاربرد در قطعات اپتوالکترونیکی هر چه بیشتر مناسب می‌سازد. این تغییرات می‌تواند ناشی از کاهش ضخامت لایه‌ها به ترتیب از ۲۵۰ nm در نمونه PW به ۱۹۰، ۲۱۰ و ۲۱۰ nm دیگر نمونه‌ها با افزایش میزان آلایش باشد. مشابه چنین روندی در خواص

اپتیکی لایه های WO_3 توسط دیگر محققین(جوزف و همکاران) [۱۰] نیز گزارش شده است.



شکل ۲۷-۴ : (الف) طیف های عبور و (ب) طیف های بازتاب نمونه های WO_3 خالص و آلایش یافته با Li . تصاویر ضمیمه تغییرات میزان عبور و بازتاب را در طول موج ۵۵۰ nm ت Shan می دهد.

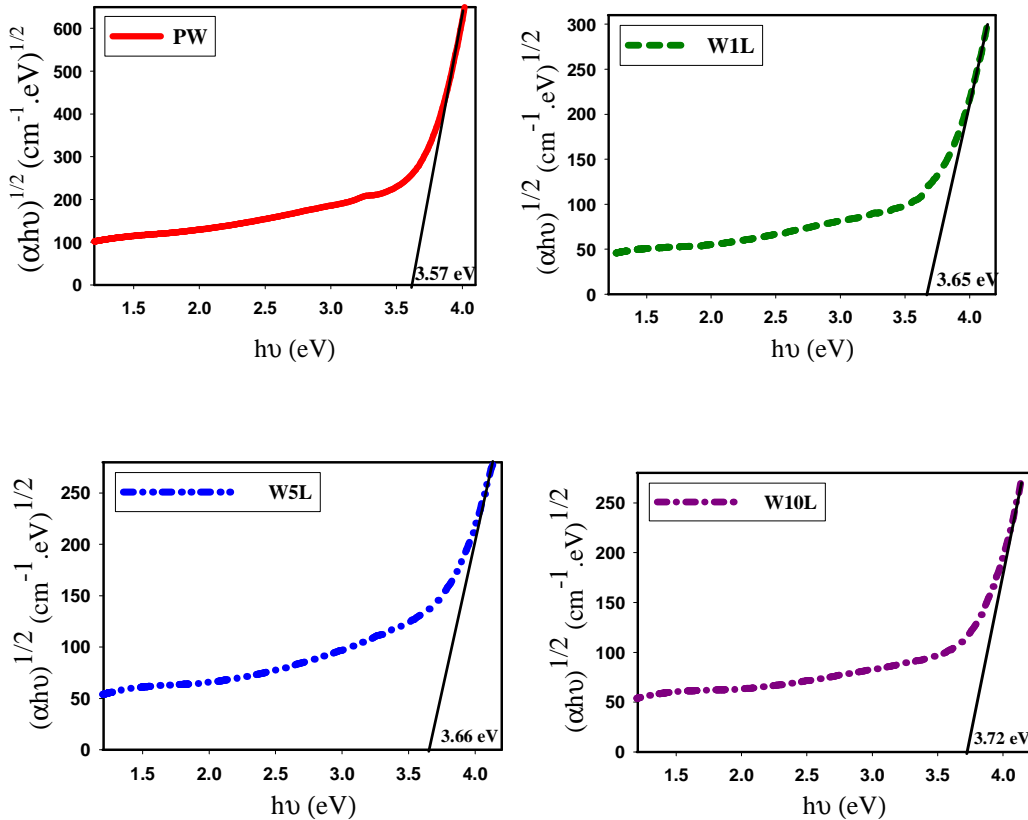
شکل ۲۷-۴(b) طیف بازتاب نمونه خالص و آلایش یافته با Li را نشان می دهد. این نتایج نیز همانند طیف عبور اپتیکی حاکی از افزایش بازتاب لایه ها با افزایش تراکم ناخالصی در نمونه هاست. اکنون به کمک داده های وابسته به طیف عبور و بازتاب لایه ها و ضخامت آنها می توان ضریب جذب نمونه ها را به کمک قانون لامبرت (رابطه ۷-۲) تعیین نمود. شکل ۲۸-۴ ضریب جذب نمونه ها را بر حسب تابعی از طول موج نشان می دهد. این نتایج حاکی از جذب بالا ($\approx 10^4 \text{ cm}^{-1}$) نمونه ها در ناحیه طول موجی فرابنفش ($\lambda \leq 400 \text{ nm}$) می باشد. با توجه به این نتایج ملاحظه می شود که نمونه ای خالص (PW) در طول موج $320 \text{ nm} \approx \lambda$ دارای لبه جذب بسیار تیز بوده و از جذب بالایی در ناحیه فرابنفش برخوردار است و با افزایش میزان ناخالصی ضمن انتقال منحنی جذب به سوی پایین، لبه جذب به طرف طول موجهای کوتاهتر جابجا شده است.



شکل ۲۸-۴ : منحنی ضریب جذب اپتیکی بر حسب طول موج برای نمونه های خالص و آلایش یافته با لیتیوم در صدھای وزنی مختلف ۱۰، ۵، ۱ و ۰.۵.

با معلوم شدن طیف جذب لایه ها می توان بزرگی گاف نواری غیر مستقیم (بخش ۳-۴-۲) و با استفاده از رابطه $(\alpha h\nu)^m$ (به ازای $m = 5/4$ برای گاف نواری غیر

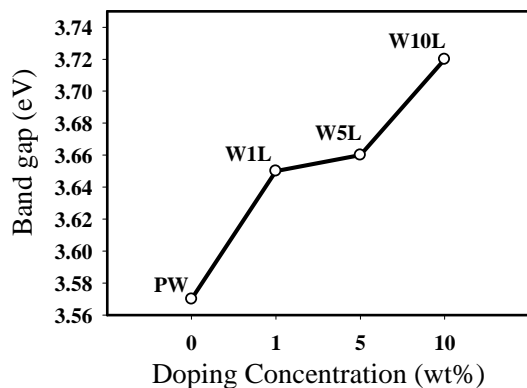
مستقیم) بر حسب $h\nu$ و تعیین محل برونیابی داده ها در ناحیه انرژی های بالا با محور افقی بدست آورد. این محاسبات در شکل ۲۹-۴ و نتایج بدست آمده مربوط به تغییرات بزرگی گاف نواری غیر مستقیم نمونه ها به ازای درصد های وزنی متفاوت آلایش لیتیوم در شکل ۳۰-۴ نشان داده شده است.



شکل ۲۹-۴ : تغییرات $(\alpha h\nu)^{1/2}$ بر حسب $h\nu$ برای نمونه های WO₃ خالص و آلایش یافته با Li به نسبتهاي وزنی صفر، ۱، ۵ و ۱۰ درصد

با توجه به نتایج فوق ملاحظه می شود که با افزایش میزان آلایش، گاف نواری غیر مستقیم اپتیکی لایه ها از $3/57$ eV به $3/72$ eV افزایش یافته است. این روند افزایشی در بزرگی گاف نواری لایه ها می تواند با وجود شکل گیری حالت های جایگزیده ناخالصی ها و ناراستیهای بلوری متأثر از روند کاهشی در ابعاد دانه ها در تصاویر FESEM (شکل ۲۶-۴) و نیز کاهش ابعاد بلورک ها (شکل ۲۶-۴)

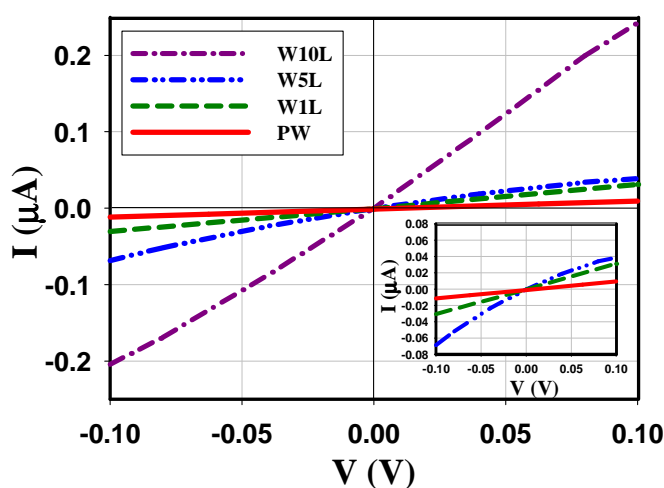
مبتنی بر وقوع پدیده‌ی محدودیت کوانتوسی در این نمونه‌ها باشد] ۱۰.



شکل ۳۰-۴: تغییرات گاف نواری غیر مستقیم نمونه‌های WO_3 خالص و آلایش یافته با Li به نسبتهاي وزني صفر، ۱، ۵ و ۱۰ درصد.

مطالعه‌ی خواص الکتریکی و ترموالکتریکی

شکل ۳۱-۴ منحنی جریان-ولتاژ نمونه‌های خالص و آلایش یافته را نشان می‌دهد. به منظور وضوح بیشتر در شکل ضمیمه سه نمونه‌ی PW, W1L, W5L و W10L در مقیاس کوچکتری رسم شده است



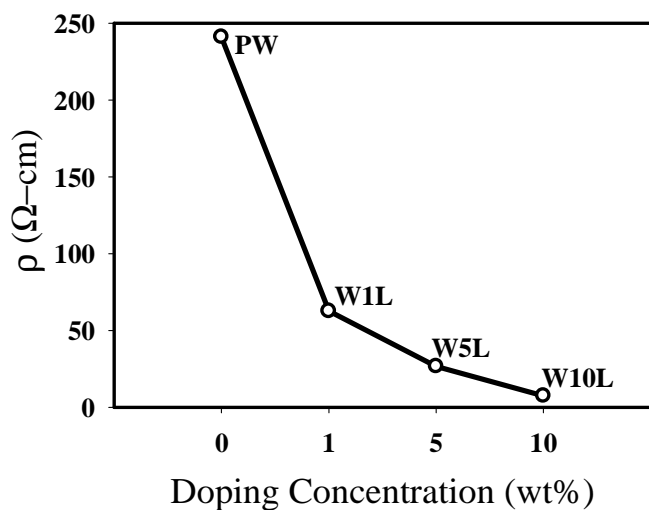
شکل ۳۱-۴: منحنی I-V نمونه‌های WO_3 خالص و آلایش یافته با Li به نسبتهاي وزني صفر، ۱، ۵ و ۱۰ درصد.

همان طور که پیداست تمامی نمونه ها رفتار اهمی داشته و با افزایش میزان ناخالصی رسانندگی نمونه ها رو به افزایش گذارده اند. این تغییرات به گونه ای است که کمترین رسانندگی مربوط به نمونه W و بیشترین رسانندگی متعلق به نمونه $\text{W}10\text{L}$ می باشد.

با توجه به این داده ها می توان مقاومت سطحی و مقاومت ویژه ای نمونه ها را با استفاده از روابط (۹-۲) و (۱۰-۲) محاسبه کرد نتیجه این محاسبات در جدول ۴-۵ و نیز شکل ۳۲-۴ ذکر شده است. این محاسبات نشان می دهد که مقاومت سطحی نمونه ها با افزایش میزان ناخالصی از $9/6 \text{M}\Omega$ به $0/42 \text{M}\Omega$ و مقاومت ویژه ای نمونه ها تقریبا از ۲۴۱ به $7/5 \Omega \cdot \text{cm}$ کاهش یافته است. این افزایش رسانندگی می تواند ناشی از جایگزینی اتمهای Li در جایگاههای شبکه ای و ایفای نقش اتمهای بخشنده در ماده باشد [۲۶، ۹].

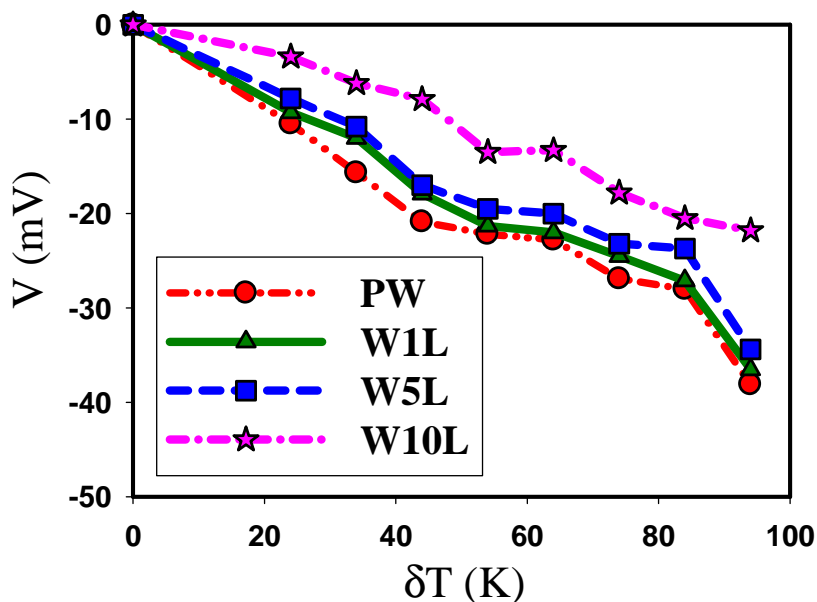
جدول ۴-۵: مقاومت سطحی (R_{sh}) و مقاومت ویژه (ρ) نمونه های WO_3 خالص و آلایش یافته با Li .

| $\rho (\Omega \cdot \text{cm})$ | $R_{sh} (\text{M}\Omega)$ | نمونه |
|---------------------------------|---------------------------|-------|
| ۲۴۱ | ۹/۶ | PW |
| ۶۲/۷ | ۳/۳ | W1L |
| ۲۶/۸ | ۱/۲ | W5L |
| ۷/۵ | ۰/۴۲ | W10L |



شکل ۳۲-۴ : مقاومت ویژه بر حسب میزان آلاییش نمونه ها.

به منظور تحقیق در صحت نقش اتمهای آلاییشی Li به عنوان اتمهای بخشنده به انجام آزمایش اثر سیبک پرداخته ایم (شکل ۳۳-۴). این نتایج حاکی از آن است که حامل های اکثربیت در این نمونه ها الکترون ها بوده و در نتیجه این نمونه ها دارای رسانندگی نوع n می باشند. این نتایج با گزارشات محققین دیگر در توافق می باشند [۲۶].



شکل ۳۳-۴ :وابستگی ولتاژ ترموالکتریک به تغییر دما.

۴-۵ مطالعه‌ی اثرآلایش Cu بر خواص فیزیکی لایه‌های نازک و نانوساختارهای

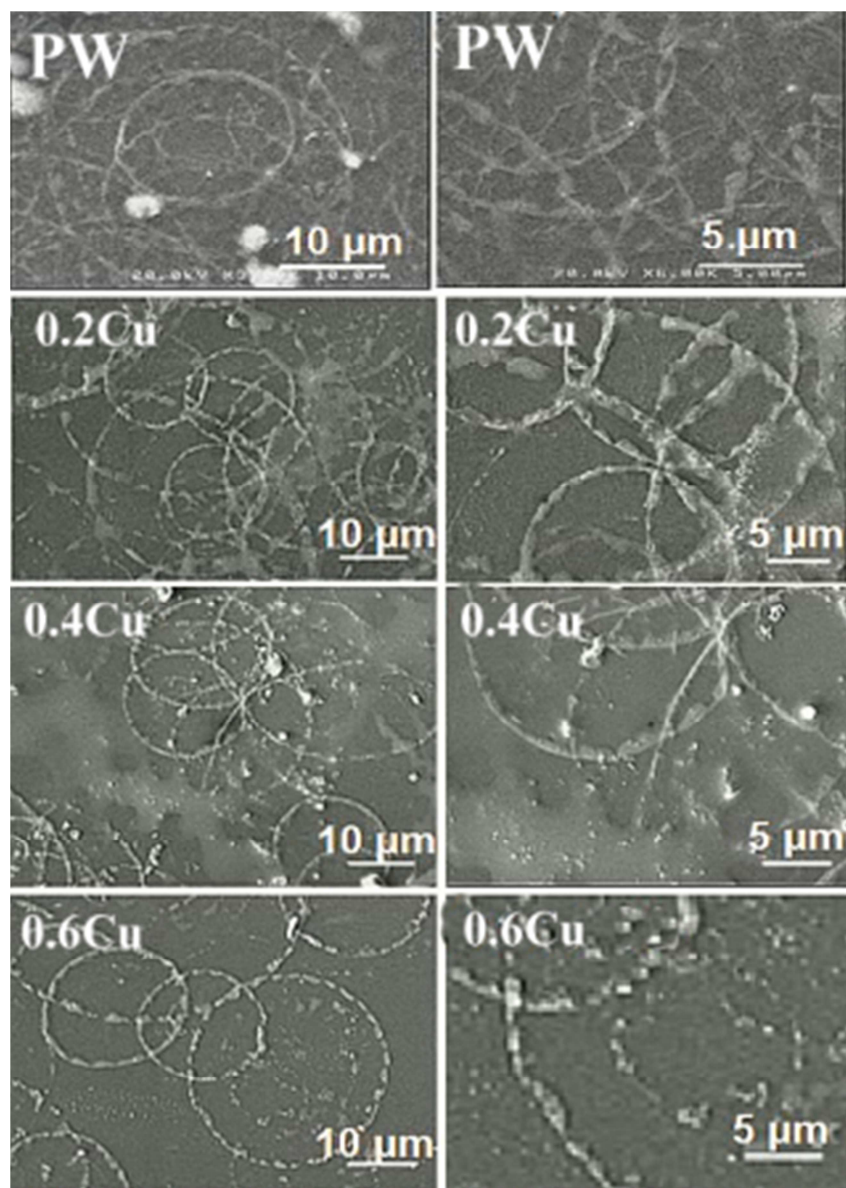
WO₃

در ادامه این تحقیق به مطالعه‌ی تاثیر آلایش اتم‌های مس (Cu) بر خواص فیزیکی لایه‌های نازک اکسید تنگستن از جمله بررسی مورفولوژی سطحی، خواص ساختاری، اپتیکی و الکتریکی لایه‌ها می‌پردازیم. در انجام این لایه نشانی از ۵۰ ml محلول آمونیوم تنگستات (NH₄)₂WO₄)) که جزئیات کارهای آزمایشگاهی لازم جهت تهیه این محلول در بخش ۳-۲ اشاره شد با غلظت ۰/۰۱ M حل شده در آب استفاده شده است. به منظور آلایش از پودر استات مس (Cu(CH₃COO)₂.H₂O) حل شده در آب ۴۰۰ °C یون زدایی به منظور اسپری بر روی زیر لایه شیشه با آهنگ لایه نشانی ۵ ml/min و دمای استفاده شده است.

مقدار آلایش با درصد های وزنی : ۰/۰/۶۰، ۰/۲۰، ۰/۴۰ و ۰/۰/۰۴Cu و ۰/۰/۰۲Cu, PW (به ترتیب نمونه های و ۰/۰/۰/۰۶Cu) افزوده شده است.

مطالعه‌ی مورفولوژی سطح

شکل ۴-۴ تصاویر FESEM مربوط به مورفولوژی سطح نمونه های خالص و آلایش یافته با درصد های وزنی مختلف مس Cu را نشان می دهد. در نمونه خالص (PW) سطح لایه پوشیده از رشته های مشبك با قطری در حدود ۳۰۰ nm و یا کمتر است. در نمونه های آلایش شده به مرور از در هم تنیدگی رشته ها و میزان تراکم خوشه های دوار کاسته شده و به تدریج ناپدید می شوند و سطح لایه صاف و از زبری سطح کاسته می شود.



شکل ۳۴-۴: تصاویر FESEM مربوط به نمونه های آلایش یافته با مس با درصد های وزنی: صفر، ۰/۲،

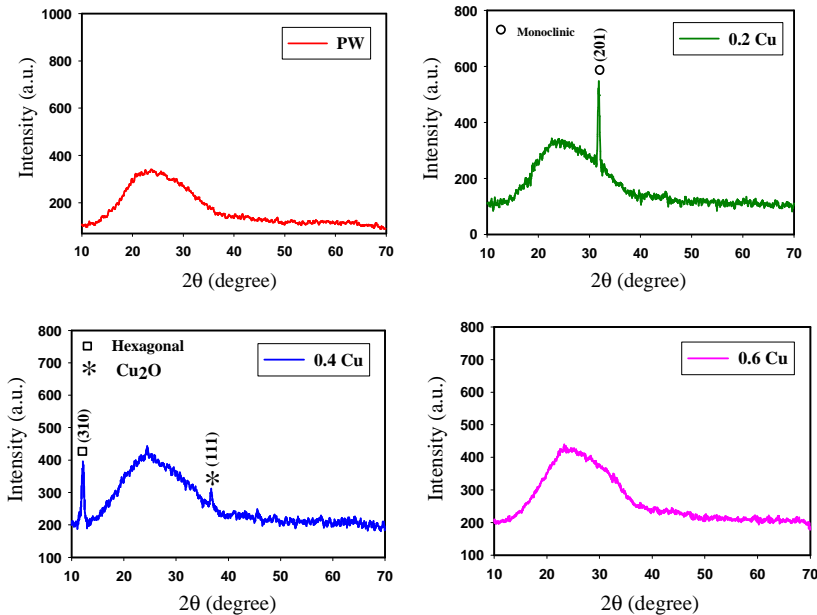
.۰/۶ و ۰/۴،

مطالعه ی خواص ساختاری

شکل ۳۵-۴ داده های XRD نمونه ها را نشان می دهد چنانچه پیداست نمونه ی PW از طبیعت آمورف، نمونه ها ی 0.2Cu و 0.4Cu ساختار بس بلوری و نمونه ی 0.6Cu دارای طبیعت آمورف است. نتایج مشابهی از این تحقیقات توسط دیگر پژوهشگران گزارش شده است [۲۱، ۵۳]. نمونه ی 0.2Cu به صورت بس بلوری و تک فاز تک میلی (که با دایره های تو خالی نمایش داده شده

است) با ثابت های شبکه ای $a = 5/65$, $b = 4/89$, $c = 5/55$ A° رشد یافته است. به طوری که جهت ترجیحی در این نمونه در امتداد صفحه (۲۰۱) و موقعیت زاویه ای $31/82^\circ$ و اندازه ای دانه ها در این راستای ترجیحی برابر با ۳۲/۴۷ nm می باشد [۲۱].

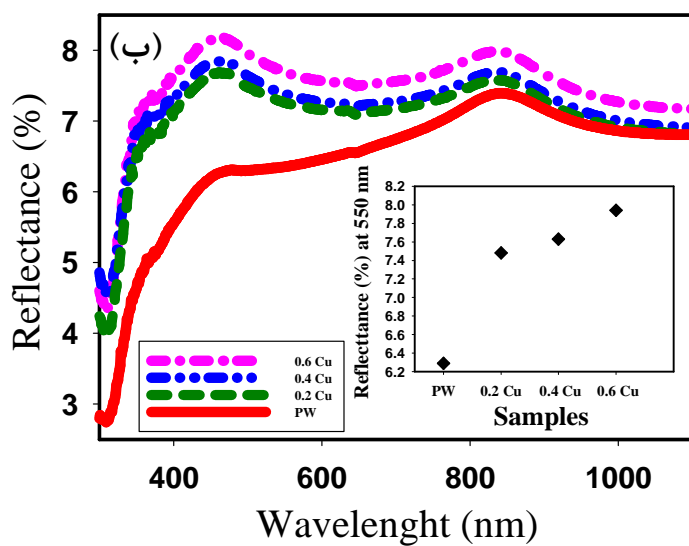
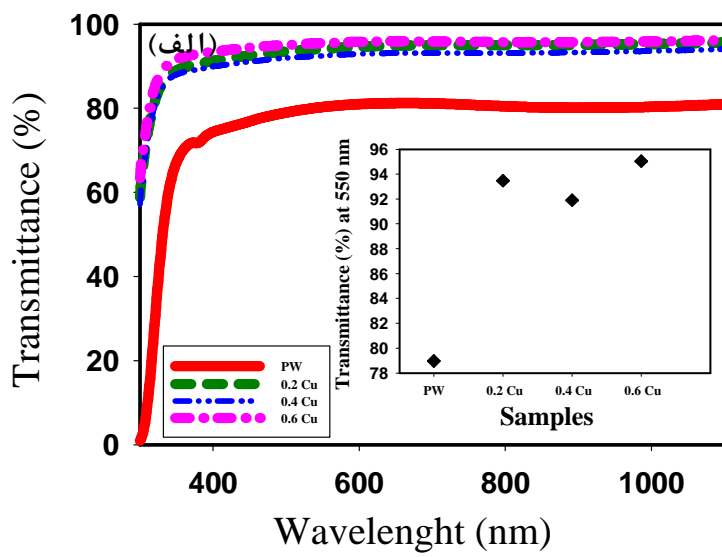
نمونه ای ۰.۴Cu به صورت دو فازی : (الف) فاز چهارگوشی WO_3 با ثابت های شبکه ای $c = 3/79$ A° و $a = b = ۲۳/۳۳$ رشد یافته که جهت ترجیحی در این نمونه در امتداد (۳۱۰) و موقعیت زاویه ای $12/18^\circ$ و اندازه ای بلورک ها در این راستا ۲۴/۳۲ nm می باشد. (ب) فاز مکعبی Cu_2O با جهت گیری (۱۱۱) در موقعیت زاویه ای $33/78^\circ$ ظاهر می شود.



شکل ۴-۳۵: طیف های XRD نمونه های آلایش یافته با مس با درصد های وزنی: صفر، ۰/۲، ۰/۴ و ۰/۶ ..

مطالعه خواص اپتیکی

شکل ۴-۳۶، طیف عبور و بازتاب اپتیکی لایه های اکسید تنگستن خالص و آلایش یافته با Cu را بر حسب تابعی از طول موج در بازه طول موجی ۳۰۰ تا ۱۱۰۰ nm و همچنین میزان تغییرات ضریب عبور و بازتاب نمونه ها را به ازای طول موج میانگین نور مرئی ($\lambda \approx ۵۵۰$ nm) نشان می دهد.

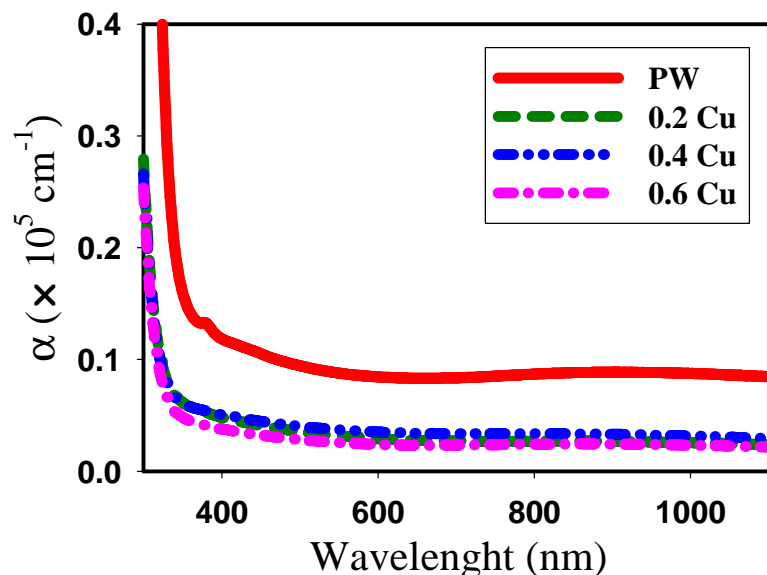


شکل ۴-۴ : (الف) طیف عبور و (ب) طیف بازتاب نمونه های WO_3 خالص و آلایش یافته با مس با درصد های وزنی: صفر، $0/۰۶$ ، $۰/۰۴$ ، $۰/۰۲$ ، $۰/۰۰$.. تصاویر ضمیمه تغییرات میزان عبور و بازتاب را در طول موج ۵۵۰ nm نشان می دهد.

چنانچه پیداست عبور بر اثر آلایش تا حد زیادی تحت تاثیر آلایش قرار گرفته است به طوری که در ناحیه مرئی (طول موج میانگین 550 nm) از ۸۰% (در نمونه خالص PW) به ۹۶% (در نمونه 0.6Cu) افزایش یافته است. نتیجه آن که اساسا افزودن ناخالصی مس با روش های مختلف

طیف عبور نمونه ها را بهبود داده اند [۲۱، ۵۳]. این نتیجه می تواند ناشی از کاهش ضخامت لایه ها با افزودن میزان ناخالصی به نمونه، به ترتیب 250 ، 210 ، 200 و 190 nm باشد.

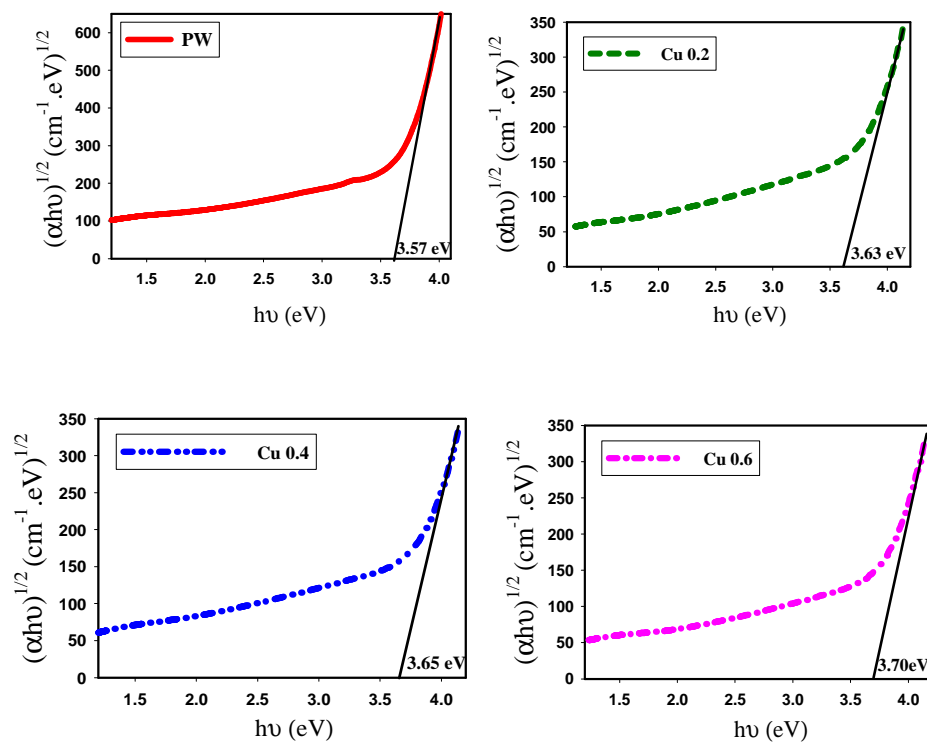
اکنون به کمک داده های وابسته به طیف عبور و بازتاب لایه ها و ضخامت آنها می توان ضریب جذب (α) نمونه ها را به کمک قانون لامبرت (رابطه ۷-۲) تعیین نمود. شکل ۴ تغییرات ضریب جذب نمونه ها را بر حسب تابعی از طول موج نشان می دهد. این نتایج حاکی از جذب بالا (cm^{-1}) $\approx 10^5$ نمونه ها در ناحیه طول موجی فرابنفش ($\lambda \leq 400\text{ nm}$) می باشد. همچنین همان گونه که مشاهده می شود نمونه PW در طول موج $326\text{ nm} \approx \lambda$ دارای لبه جذب بسیار تیز بوده و از جذب بالایی در ناحیه فرابنفش برخوردار است و با افزایش میزان ناخالصی ضمن انتقال منحنی جذب به سوی پایین، لبه جذب به طرف طول موجهای کوتاهتر جابجا شده است.



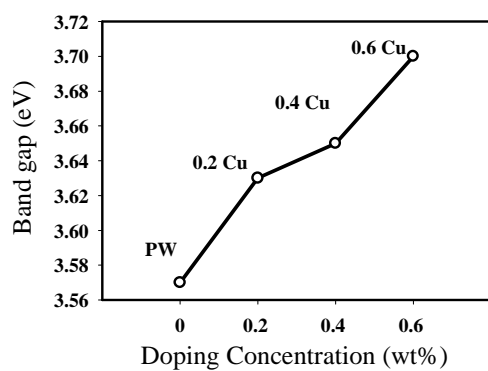
شکل ۴ : طیف جذبی نمونه های آلایش یافته با مس با درصد های وزنی: صفر، $0/2$ ، $0/4$ و $0/6$.

با معلوم شدن طیف جذب لایه ها می توان بزرگی گاف نواری غیر مستقیم (بخش ۳-۴-۲) و با استفاده از رابطه $\alpha = \frac{A}{h\nu}$ و با رسم شیب نمودار $\alpha h\nu^m$ (به ازای $m = 5/0$ مساوی) بر حسب $h\nu$ تعیین محل برونیابی داده ها در ناحیه انرژی های بالا با محور افقی بدست آورد. این محاسبات در

شکل ۳۸-۴ و نتایج بدست آمده مربوط به تغییرات بزرگی گاف نواری غیر مستقیم نمونه ها به ازای غلظت های متفاوت ناخالصی مس در شکل ۳۹-۴ نشان داده است.



شکل ۳۸-۴ : تغییرات گاف نواری غیر مستقیم نمونه های آلایش یافته با مس با درصد های وزنی: صفر، ۰/۲، ۰/۶ و ۰/۴.



شکل ۳۹-۴ : تغییرات بزرگی گاف نواری غیر مستقیم نمونه ها به ازای غلظت های متفاوت ناخالصی.

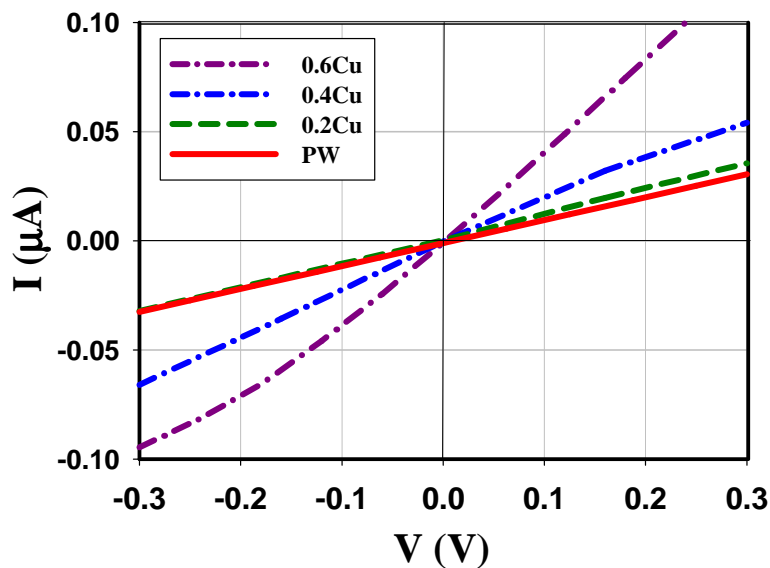
با توجه به شکل فوق ملاحظه می شود که با افزایش میزان آلایش گاف نواری اپتیکی لایه ها از ۳/۵۷ eV در ۳/۷۰ eV به ۳/۷۲ eV افزایش یافته است. این روند افزایشی در بزرگی گاف

نواری لایه ها می تواند متاثر از روند کاهشی درابعاد دانه ها در تصاویر FESEM (شکل ۴-۳۴) مبتنی بر وقوع پدیده های محدودیت کوانتومی در این نمونه ها باشد [۲۱]

مطالعه های خواص الکتریکی و ترمومالکتریکی

شکل ۴-۴ منحنی جریان- ولتاژ نمونه های خالص و آلایش یافته با اتم های مس را نشان می

دهد.

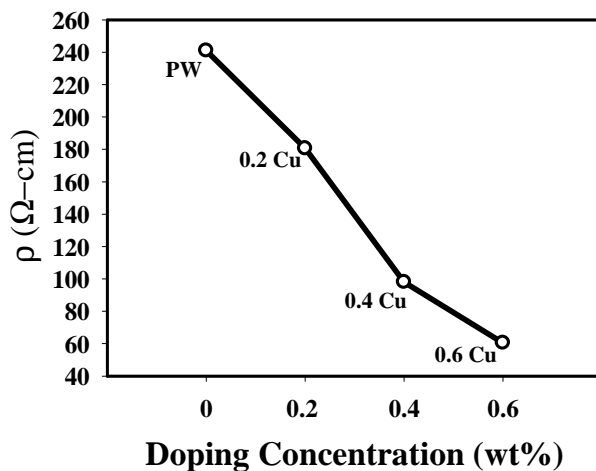


شکل ۴-۴ : منحنی I-V نمونه های آلایش یافته با مس با درصد های وزنی: صفر، ۰/۲، ۰/۴ و ۰/۶.

همان طور که پیداست تمامی نمونه ها تا حد زیادی رفتاری اهمی از خود نشان داده و با افزایش میزان ناخالصی رسانندگی نمونه ها رو به افزایش گذارده اند این تغییرات به گونه ای است که نمونه PW دارای کمترین رسانندگی و نمونه ۰.۶Cu دارای بیشترین رسانندگی است. با توجه به این داده ها می توان مقاومت سطحی و مقاومت ویژه های نمونه ها را با استفاده از روابط (۹-۲) و (۱۰-۲) محاسبه کرد نتیجه این محاسبات در جدول ۴-۶ و شکل ۴-۴ آمده است.

جدول ۶-۴ : مقاومت سطحی (R_{sh}) و مقاومت ویژه (ρ) نمونه های WO₃ خالص و آلایش یافته با Cu.

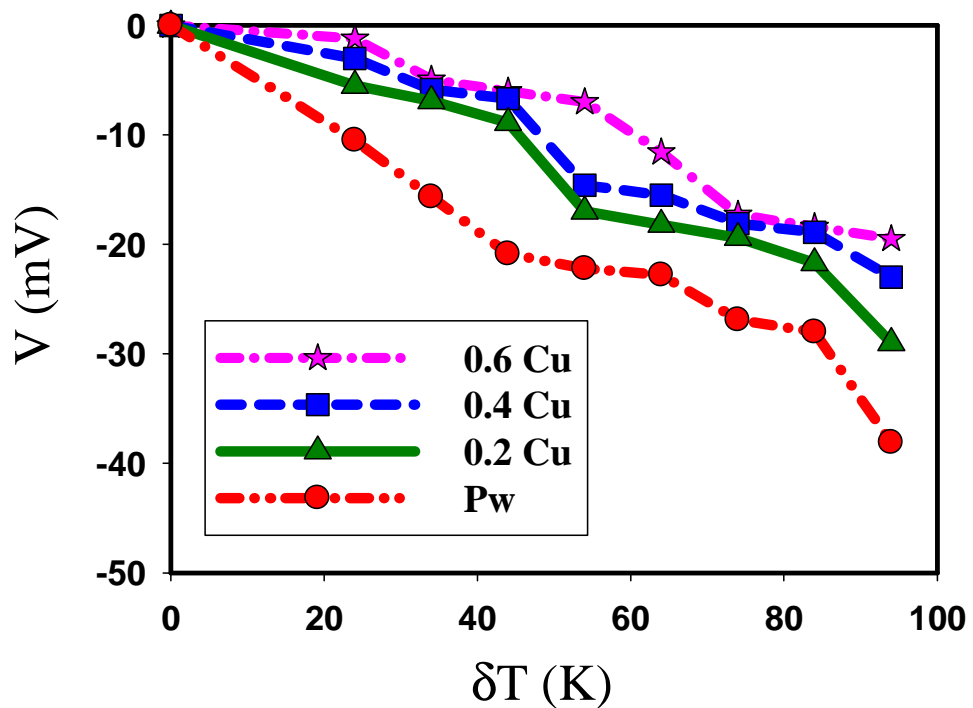
| ρ ($\Omega \cdot \text{cm}$) | R_{sh} ($M\Omega$) | نمونه |
|-------------------------------------|------------------------|--------|
| ۲۴۱ | ۹/۶ | PW |
| ۱۸۰/۶ | ۸/۶ | 0.2 Cu |
| ۹۸/۱۲ | ۴/۴ | 0.4 Cu |
| ۶۰/۶۱ | ۳/۱ | 0.6 Cu |



شکل ۴۱-۴ : مقاومت ویژه بر حسب میزان آلایش نمونه ها.

این محاسبات نشان می دهد که مقاومت سطحی نمونه ها با افزایش میزان ناخالصی از ۹/۶۴ به ۳/۱۹ $M\Omega$ و مقاومت ویژه ای نمونه ها تقریبا از ۲۴۱ به $60/61 \Omega \cdot \text{cm}$ کاهش یافته اند. این افزایش رسانندگی می تواند ناشی از جایگزینی یون های Cu به جای یون های W در شبکه اکسید تنگستن شده که منجر به رسانندگی هر چه بیشتر لایه ها گردیده و باعث کاهش مقاومت ویژه ای این نمونه ها شده است [۵۳، ۲۱].

شکل ۴-۴ نتایج اثر سیبک را نشان می دهد، این نتایج حاکی از آن است که حامل های اکثربیت در این نمونه ها الکترون ها بوده و در نتیجه این نمونه ها دارای رسانندگی نوع n می باشند. این نتایج با گزارشات محققین دیگر در توافق می باشند [۲۶].



شکل ۴-۴ : تغییرات ولتاژ بر حسب اختلاف دما .

شیعی

در این پایان نامه به مطالعه مورفولوژی، خواص ساختاری، اپتیکی و الکتریکی نمونه های اکسید تنگستن خالص و آلایش یافته به روش اسپری پایرولیزیز پرداخته شده است. در این تحقیق تأثیر کمیت های گوناگون شامل اثر تغییر غلظت محلول (مولاریته)، آهنگ لایه نشانی و آلایش لایه ها (لیتیوم و مس) مورد بررسی قرار گرفته اند. نتایج حاصل از هر یک از این موارد به شرح زیر می باشد.

بخش ۴-۲: بررسی اثر غلظت محلول (مولاریته)

در بررسی اثر مولاریته، نمونه ها با غلظت های 0.01 ، 0.05 ، 0.07 و 0.1 مولار در دمای 0°C با آهنگ 5 ml/min لایه نشانی شدند. تصاویر مورفولوژی سطحی روند افزایشی در ضخامت رشته های در هم تنیده را از 100 nm تا $1 \mu\text{m}$ با افزایش مولاریته نشان می دهد. طیف پراش پرتو ایکس این نمونه ها بیانگر طبیعت آمورف دو نمونه ای با غلظت های پایینتر (M_1 و M_2) و بس بلوری برای دو نمونه ای با غلظت های بالاتر (M_3 و M_4) در سه فاز مکعبی و شش گوشی و مونوکلینیک می باشد. نتایج طیف عبور اپتیکی حاکی از آن است که با افزایش غلظت محلول اولیه نمونه رشد یافته کدرتر شده است. گاف نواری این نمونه ها نیز با افزایش مولاریته محلول از $3/59 \text{ eV}$ به $3/12 \text{ eV}$ کاهش می یابد. طیف عبوری و محاسبات مربوط به گاف نواری لایه ها حاکی از روند کاهشی آنها با افزایش مولاریته محلول است. این کاهش می تواند به ترتیب ناشی از افزایش در ضخامت لایه ها و متاثر از افزایش ابعاد بلورک ها و سایز نانو ذرات که به تضعیف پدیده محدودیت کوانتمومی منجر شده است، باشد.

بخش ۴-۳: بررسی اثر آهنگ لایه نشانی

لایه های اکسید تنگستن بر روی زیرلایه شیشه با آهنگ های 1 ، 3 و 7 ml/min لایه نشانی

شده است. تصاویر FE-SEM هر سه نمونه نشانگر تشکیل رشته های مشبك تنگستن با خوشه های دوار در اندازه های مختلف هستند. به طوری که با افزایش آهنگ لایه نشانی به تدریج در هم تنیدگی رشته ها افزایش یافته و قطر آنها کاهش می یابد و ضخامت رشته ها از حدود $5 \mu\text{m}$ تا 300 nm کاهش می یابد. طیف XRD حاکی از آن است که دو نمونه i (R_2 و R_3) از طبیعت آمورف برخوردارند و نمونه i (R_1) به صورت بس بلوری در ساختار های تتراتوکنال و شش گوشی با جهت ترجیحی در امتداد صفحه بلوری (310°) رشد یافته اند. ابعاد بلورک ها در نمونه i بلوری 16 nm می باشد گاف نواری غیر مستقیم این نمونه ها با افزایش آهنگ لایه نشانی از $3/11 \text{ eV}$ به $3/51 \text{ eV}$ کاهش یافته است. طیف عبوری و محاسبات مربوط به گاف نواری لایه ها حاکی از روند کاهشی آنها با افزایش آهنگ لایه نشانی است. این کاهش می تواند به ترتیب ناشی از افزایش در ضخامت لایه ها و متأثر از بلورینه شدن نمونه ها و ایجاد دنباله های نواری ناشی از نقص شبکه بلوری در گاف نواری می باشد.

بخش ۴-۴: اثر آلایش لیتیوم

مورفولوژی سطحی نمونه ها نشان دهنده i آن است که لایه با تعدادی لایه های نازک باریک به شکل رشته های مشبك تنگستن و خوشه های دوار با قطرهای تقریبا 300 nm یا کمتر پوشیده شده است و با افزایش غلظت آلایش از میزان این رشته ها و در هم تنیدگی آنها کاسته شده و سطح لایه به سوی یک سطح کاملا صاف و یکنواخت میل کرده است که این سطح صاف خود از نانو ذراتی با ابعاد 27 nm تا 35 nm تشکیل شده است. طیف پراش پرتو X نمونه ها نشان می دهد اکسید تنگستن خالص دارای طبیعت آمورف بوده و نمونه های آلایش یافته با لیتیم در امتداد صفحه بلوری (200°) بوده و در فاز مونوکلینیک WO_3 بلوری شده اند. تحلیل کلی ابعاد بلورک ها، نشانگر کاهش آنها پس از آلایش نمونه هاست. عبور لایه ها بر اثر آلایش در ناحیه مرئی (طول موج میانگین 550 nm) از 80% (در نمونه خالص) به 95% (در نمونه $\text{W}10\text{L}$) افزایش یافته، که می تواند ناشی از کاهش ضخامت

لایه ها و نیز کاهش نسبی ابعاد بلورک ها باشد. نتایج ضریب جذب لایه های نازک اکسید تنگستن حاکی از آن است که جذب نمونه ها با افزایش میزان ناخالصی به مرور کاهش یافته است. با افزایش میزان درصد لیتیم در لایه ها، گاف نواری افزایش یافته است. علت این تغییرات می تواند متأثر از تغییر ابعاد بلورک ها و موقع پدیده محدودیت کوانتموی و نیز شکل گیری ترازهای ناخالصی در گاف نواری ماده مورد نظر باشد.

بخش ۴-۵: اثر آلایش مس

مورفولوژی سطحی نمونه ها نشان دهنده‌ی آن است که لایه با تعدادی لایه های نازک باریک به شکل رشته های مشبک تنگستن و خوشه های دوار با قطرهای تقریبا 300 nm یا کمتر پوشیده شده است و در نمونه های آلایش یافته به مرور از در هم تنیدگی رشته ها و میزان تراکم خوشه های دوار کاسته شده و به تدریج ناپدید می شوند و سطح لایه صاف تر شده و از زبری سطح کاسته می شود. طیف های پراش پرتو X نمونه ها نشان می دهد که اکسید تنگستن خالص دارای طبیعت آمورف بوده و نمونه های آلایش یافته با درصد های پایینتر (0.2Cu و 0.4Cu) به صورت بس بلوری و نمونه می 0.6Cu نیز از طبیعت آمورف برخوردار است. جهت ترجیحی برای اکسید تنگستن آلایش یافته با مس در نمونه های بلوری به ترتیب در امتداد صفحه های بلوری (۲۰۱) در فاز مونوکلینیک و (۳۱۰) در فاز شش گوشی بلوری شده اند. عبور لایه ها بر اثر آلایش در ناحیه مرئی (طول موج میانگین 550 nm) از 80% (در نمونه خالص) به 96% (در نمونه 0.6Cu) افزایش یافته، که می تواند ناشی از کاهش ضخامت لایه ها باشد. نتایج ضریب جذب لایه های نازک اکسید تنگستن حاکی از آن است که جذب نمونه ها با افزایش میزان ناخالصی به مرور کاهش یافته است. با افزایش میزان درصد مس در لایه ها گاف نواری افزایش یافته است. علت این تغییرات می تواند متأثر از تغییر ابعاد بلورک ها و موقع پدیده محدودیت کوانتموی و نیز شکل گیری ترازهای ناخالصی در گاف نواری ماده مورد نظر باشد. با افزایش میزان مس، مقاومت ویژه لایه ها کاهش یافته به این معنا که رسانندگی لایه و میزان فلزگونی نمونه

ها بیشتر شده است و ضریب سی بک لایه ها به مرور افزایش می یابد.

مراجع

References :

- [1] [http://en.wikipedia.org/wiki/Tungsten\(VI\)_oxide](http://en.wikipedia.org/wiki/Tungsten(VI)_oxide)
- [2] P .Patnaik. (2003) “Handbook of Inorganic Chemical Compounds” *McGraw Hill*.
- [3] E .Lassner and D. S .Wolf . (1999) “Tungsten: Properties, Chemistry, Technology of the Element, Alloys, and Chemical Compounds” *Springer*, **256**.
- [4] Y. T .Hsieh, M. W.Huang, Ch. Chang, U. S. Chen, H. C. Shih, (2010) “Growth and optical properties of uniform tungsten oxide nanowire bundles via a two-step heating process by thermal evaporation” *Thin Solid Films*, **519**, **1668–1672**.
- [5] H. M. A. Soliman, A. B. Kashyout, S. El. Nouby, A. M. Abosehly. (2010) “Preparation and characterizations of tungsten oxide electrochromic nanomaterials” *J Mater Sci: Mater Electron*, **21**, **1313–1321**.
- [6] Charlene N. and Changhui Y. and Yun Hau N. and Rose A. (2010) “Flower-Shaped Tungsten Oxide with Inorganic Fullerene-like Structure: Synthesis and Characterization” *Crystal Growth & Design*, **10**, **3794-3801**.
- [7] C. G. Granqvist ; (2002) “Hand book of Inorganic Electrochromic Materials”, *2ndedition, Elsevier* **633**.
- [8] A. Airdy. M. C. Domeneghettiz. F. Mazziz. V. Tazzoliz. E. K. H. Saljey. (1998) “Sheet superconductivity in WO_3-x : crystal structure of the tetragonal matrix”, *J. Phys. Condens. Matter*, **10**, **569–574**.
- [9] L.M. Bertus, A. Enesca, A. Duta . (2012) “Influence of spray pyrolysis deposition parameters on the optoelectronic properties of WO_3 thin films”, *Thin Solid Films* **520**, **4282-4290**.
- [10] M. Kovendhan, D. Paul Joseph, E. Senthil Kumar, A. Sendilkumar, P. Manimuthu, S. Sambasivam,C. Venkateswaran, R. Mohan. (2011) “Structural transition and blue emission in textured and highly transparent spraydeposited Li doped WO_3 thin films”. *Applied Surface Science* **257**,**8127-8133**.
- [11] S. Dabbous. T. Nasrallah. J. Ouerfelli. K. Boubaker. M. Amlouk. S. Belgacem . (2009) “Study of structural and optical properties of sprayed WO_3 thin films using enhanced characterization techniques along with the Boubaker Polynomials Expansion Scheme (BPES)” *Journal of Alloys and Compounds*, **487**, **286–292**.
- [12] R. Suvarna. P. S. Patil. (2007), “Influence of Nb doping on the electrochromic properties of WO_3 films”, *J. Phys. D: Appl. Phys*, **40**, **7423–743**.

- [13] K.J. Patel. C.J. Panchal. V.A. Kheraj. M.S. Desai. (2009) “Growth, structural, electrical and optical properties of the thermally evaporated tungsten trioxide (WO₃) thin films” *Materials Chemistry and Physics*, **114**, 475–478.
- [14] M. Miyauchi, M. Shibuya, Z. G. Zhao, L. Zhifu. (2009) “Surface Wetting Behavior of a WO₃ Electrode under Light-Irradiated or Potential-Controlled Conditions”, *J. Phys. Chem. C*, **113**, 10642–10646.
- [15] K. J. Lethy , D. Beena, V. P. Pillai, V. Ganesan.(2008) “Bandgap renormalization in titania modified nanostructured tungsten oxide thin films prepared by pulsed laser deposition technique for solar cell applications”, *Applide physics*, **104**, 033515.
- [16] R. Suvarna, P.S. Patil (2008) “Titanium doping effects in electrochromic pulsed spray pyrolysed WO₃ thin films” *Solid State Ionics*, **179**, 314–323.
- [17] S.R. Bathe. P.S. Patil. (2007) “Electrochromic characteristics of fibrous reticulated WO₃ thin films prepared by pulsed spray pyrolysis technique”; *Solar Energy Materials & Solar Cells*; **91**, 1097–1101.
- [18] Y. T. Heieh, M. W. Huang. (2010) “Growth and Optical Properties of Uniform Tungsten Oxide Nanowires Bundles via a Two-Step Heating Process by Thermal Evaporation”; *Thin solid films*, **519**, 1668-1672.
- [19] R. Sivakumar, A. Moses Ezhil Raj, B. Subramanian, M. Jayachandran, D.C. Trivedi, C. Sanjeeviraja, (2004). *Mater Res. Bull.* 39, 1479–1489.
- [20] M. C. Rao. (2011) “Effect of substrate temperture on the structural and electrical conduction behaviour of vacuum evaporated WO₃ thin films”, *Journal of Optoelectronics and Biomedical Materials* , **3**. 45 – 50.
- [21] Hendri Widiyandari, Agus Purwanto, Ratna Balgis, Takashi Ogi, Kikuo Okuyama. (2012) “CuO/WO₃ and Pt/WO₃ nanocatalysts for efficient pollutant degradation usingvisible light irradiation”, *Chemical Engineering Journal*.**180**, 323-329
- [22] F. George. Fine, M. Leon. Cavanagh, Ayo Afonja and Russell Binions (2010) “Metal Oxide SemiConductor Gas Sensors in Environmental Monitoring”, *Sensors*, **10**, 5469-5502.
- [23] P.S. Patil. P.R Patil. (1994) “Photoelectrochemical characterization of sprayed tungsten oxide thin films”, *Solar Energy Materials and Solar Cells*, **33**, 293-300.
- [24] B. Ruben. P.J. Bjorn. A. Gustavsen. (2010), “Properties,requirements and possibilities of smart windows for dynamic daylight and solar energy controlinbuildings:Astate-of-the-artreview”, *Solar Energy Materials & Solar Cells*,**94**,

87–105.141

- [25] M. Regragua. M. Addoua. A. Outzourhitb. J.C. Berneadec. E. Idrissia. E. Benseddikb, A. Kachouane . **(2000)** “Preparation and characterization of pyrolytic spray deposited electrochromic tungsten trioxide films”, *Thin Solid Films*, **358** **40-45**.
- [26] M. Regragui, M. Addou, A. Outzourhit, Elb. El Idrissi, A. Kachouane, A. Bougrine. **(2003)** “Electrochromic effect in WO₃ thin films prepared by spray pyrolysis”, *Solar Energy Materials & Solar Cells* **77**, **341–350**.
- [27] S. Green, **(2012)**, PhD thesis, “Electrochromic Nickel-Tungsten Oxieds”.
- [28]. W. J. Lee,. **(2000)**. "Effects of surface porosity on tungsten trioxide(WO₃) films' electrochromic performance". *Journal of Electronic Materials* **29**: **183**.
- [29] D. Peredins. L. J. Gauckler. **(2005)**, *Journal of Electroceramics*, **14**, **103-111**.
- [30] R. Sivakumar. A.E.R. Moses. B. Subramanian. M. Jayachandran. D. C. Trivedi . C. Sanjeeviraja . **(2004)** “Preparation and characterization of spray deposited n-type WO₃ thin films for electrochromic devices”, *Materials Research Bulletin*, **39**, **1479-1489**.
- [31] B. Gates, B. Mayers, B. Cattle, Y. Xia, *Adv. Funct. Mater.*, **(2002)**, **12**, **219**.
- [32] Z. A. Hu, T. Xu, R. J. Liu, H. L. Li.(**2004**) *Mater Sci. Eng. A*, **371**, **236**.
- [33] B. Fultz. and J. Howe. “Transmission Electron Microscopy and Diffractometry of Materials”, Springer, **(2007)**.
- [34] Haitao Yang^a, Fuliang Shang^{b,*}, Ling Gao^a, Haitao Han^b. **(2007)** . “Structure, electrochromic and optical properties of WO₃ film prepared by dip coating-pyrolysis” . *Applied Surface Science* **253** ,**5553–5557**
- [35] Yanping Sun, Carl J. Murphy, Karla R. Reyes-Gil, Enrique A. Reyes-Garcia¹, Jason M. Thornton, Nathan A. Morris, Daniel Raftery*. **(2009)** “Photoelectrochemical and structural characterization of carbon-doped WO₃films prepared via spray pyrolysis”. *international journal of hydrogen energy* **34**, **8476–8484**.
- [36] S.R. Bathe, P.S. Patil, **(2007)** *Sol. Energy Mater. Sol. Cells* **91**, **1097–1101**
- [37] L. Berggren, A.G. Niklasson, **(2005)** *Sol. Energy Mater. Sol. Cells* **85**, **573–586**.
- [38] S. Chacko, M.J. Bushiri, V.K. Vaidyan, **(2006)**. *J. Phys, D: Appl. Phys.* **39** **4540–4550**.
- [39] G. Beydaghyan, G. Bader, P.V. Ashrit, **(2008)** *Thin Solid Films* **516** **1646–1650**.
- [40] H. Kamal, E.K. Elmaghhraby, S.A. Ali, K. Abdel-Haddy, J. Cryst. **(2004)** *Growth*

262 424.

- [41] A. Sawaby, M.S.Selim, S.Y.Marzouk, A.Hosny, (2010), “Structure, optical and electrochromic properties of NiO thin films”, *Physica B*, **405**, 3412–3420.
- [42] [http://material science. Uoregon. edu/ ttsem/SEM basicshtm1](http://material-science.Uoregon.edu/ttsem/SEM basics.htm1).
- [43] K. N. Chopra & I. Kuar, (1983) “ Thin Film Device Applications ”, *Technology and Engineering.*,
- [44]. W. Berry, P. M. Hall & M.T. Harris (1968) “Thin film Technology”, *Van Nostrand Company.*,
- [45] http://Www.MMR-TECH.com_Variable Temperature Seebeck Measurement Systems
- [46] P. Jood, G. Peleckis, X. Wang, & S. Dou., Xue. (2012). “Effect of gallium doping and ball milling process on the thermoelectric performance of n-type ZnO”. *Journal of Materials Research*, **27** (17), 2278-2285.
- [47] A. Mathias Lunde & K. Flensberg. (2005). “On the Mott formula for the thermopower of non-interacting electrons in quantum point contacts”. *J. Phys.: Condens. Matter* **17**. 3879–3884.
- [48] S. M. SZE. Semiconductor Devices Physics and Technology, chapter **5**,194-203
- [49] D.G. Dickens, M.S. Wittingham, Quart. (1968) *Rev. Chem. Soc.* **22**, 30.
- [50] P.A. Lightsey, (1973). *Phys Rev. B* **8** 3586.
- [51] R.S. Crandall, B.W. Faughnan, (1977). *Phys Rev. Lett.* **39**, 232.
- [52] J.F. Owen, K.J. Teegarden, H.R. Shanks (1978). *Phys Rev. B* **18**, 3827.
- [53] C. Gopalana, M.N. Kozickia, S. Bhagatc, S.C. Puthen Thermadama,T.L. Alfordc, M. Mitkovab. (2007) “Structure of copper-doped tungsten oxide films for solid-state memory”. *Journal of Non-Crystalline Solids* **353** ,1844–1848
- [54] M.R. Islam. J. Podder. (2009) “Optical properties of ZnO nano fiber thin films grown by spray pyrolysis of zinc acetate precursorCryst”, *Res. Technol.* **44**, 286.
- [55] M. Jesu’s. Ortega, I. Arturo. nez Martí’, R. Dwight. A. costa, R. Carlos. Magan. (2006) “Structural and electrochemical studies of WO₃ films deposited by pulsed spray pyrolysis”. *Solar Energy Materials & Solar Cells* **90** ,2471–2479.
- [56] I. Puspitasari, T. P. Gujar, *Matt. Sci. Eng***B140**(2007) 199-202.
- [57] S. M. Sze, Physics of Semiconductor Devices, John Wiley and Sons, NewYork, (1981).

[۵۸] اچ. ام. روزنبرگ، ۱۳۷۶، فیزیک حالت جامد، حسین عشقی، حسن عزیزی، چاپ اول، مرکز نشر
دانشگاهی، تهران ۳۰۸-۳۱۰.

Abstract

In this research work we have studied the morphological, structural, optical, electrical and thermo-electrical properties of pure and doped tungsten oxide (WO_3) layers grown on glass substrate by spray pyrolysis method. We then characterized our samples using field effect scanning electron microscopy (FESEM), X-ray diffraction (XRD), UV-Vis-NIR spectroscopy, current-voltage (I-V) measurement and Seebeck effect experiment.

In the grown samples we have used ammonium tungstate ($(\text{NH}_4)_2\text{WO}_4$) solutions, using tungstate oxide powder (WO_3) (99.9 %), and ammonia solution (NH_3). In fabrication of WO_3 layers various parameters were investigated. These are including: molarity of the solution, spray rate plus annealing the samples in the air atmosphere, and finally the doping effect with Cu ($\text{WO}_3:\text{Cu}$) and Li ($\text{WO}_3:\text{Li}$) atoms, using lithium chloride (LiCl) and copper acetate ($\text{Cu}(\text{CH}_3\text{COO})_2 \cdot \text{H}_2\text{O}$) salts.

Keywords: WO_3 , spray pyrolysis, thin film, nano-structures, morphology, structural properties, optical properties, electrical properties, thermo-electrical properties.



Shahrood University of Technology

Faculty of Physics

**Synthesis and characterization of WO₃ thin films and
nanostructures and its doped compounds.**

Zahra Asghari

Supervision:

Dr. Hossein Eshghi

February 2014